

UNIVERSIDADE FEDERAL DE SÃO CARLOS  
CENTRO DE CIÊNCIAS EXATAS E DE TECNOLOGIA  
PROGRAMA DE PÓS-GRADUAÇÃO EM MATEMÁTICA

Espectro do Laplaciano de Dirichlet-Neumann em  
faixas estreitas

*Diana Carolina Suarez Bello*

São Carlos  
2020

UNIVERSIDADE FEDERAL DE SÃO CARLOS  
CENTRO DE CIÊNCIAS EXATAS E DE TECNOLOGIA  
PROGRAMA DE PÓS-GRADUAÇÃO EM MATEMÁTICA

Espectro do Laplaciano de Dirichlet-Neumann em  
faixas estreitas

*Diana Carolina Suarez Bello*

Orientadora: Profa. Dra. Alessandra Aparecida Verri

Dissertação apresentada ao Programa de Pós-Graduação em Matemática da Universidade Federal de São Carlos como parte dos requisitos para a obtenção do Título de Mestre em Matemática.

São Carlos  
2020



**UNIVERSIDADE FEDERAL DE SÃO CARLOS**

Centro de Ciências Exatas e de Tecnologia  
Programa de Pós-Graduação em Matemática

---

**Folha de Aprovação**

---

Defesa de Dissertação de Mestrado da candidata Diana Carolina Suarez Bello, realizada em 11/08/2020.

**Comissão Julgadora:**

Profa. Dra. Alessandra Aparecida Verri (UFSCar)

Prof. Dr. Cesar Rogerio de Oliveira (UFSCar)

Profa. Dra. Nataliia Goloshchapova (USP)

O presente trabalho foi realizado com apoio da Coordenação de Aperfeiçoamento de Pessoal de Nível Superior - Brasil (CAPES) - Código de Financiamento 001.

O Relatório de Defesa assinado pelos membros da Comissão Julgadora encontra-se arquivado junto ao Programa de Pós-Graduação em Matemática.

*À minha mãe, Graciela  
e à minha avó Irene (in  
memorian).*

# Agradecimentos

Agradeço primeiramente a Deus, que me deu o dom da vida e me abençoa todos os dias.

Aos meus pais Graciela e Miller, às minhas irmãs Paola e Mileidy e a meu tio Julio pelo apoio, incentivo e confiança em mim.

Ao meu querido Jonathan Ordoñez Pimentel que sempre esteve ao meu lado durante o meu percurso acadêmico e a sua família pelo carinho e incentivo aos meus estudos.

Aos professores do Departamento de Matemática da UFSCar, pela ajuda com a minha formação durante o mestrado.

Aos amigos do DM, especialmente a Muriel pelo constante apoio e incentivo.

À minha orientadora Professora Alessandra Aparecida Verri pela orientação, dedicação e paciência a este trabalho.

Finalmente, à CAPES pelo apoio financeiro.

# Resumo

Seja  $\Omega_\varepsilon$  uma faixa estreita em  $\mathbb{R}^2$  e  $-\Delta_{DN}^{\Omega_\varepsilon}$  o operador Laplaciano de Dirichlet-Neumann em  $\Omega_\varepsilon$ . Neste trabalho, vamos estudar o problema espectral de  $-\Delta_{DN}^{\Omega_\varepsilon}$ . Será encontrado um comportamento assintótico para os valores da sequência crescente  $\{\lambda_j(-\Delta_{DN}^{\Omega_\varepsilon})\}_{j=1}^\infty$  dada pelo Princípio Max-Min, sob a condição de que  $\Omega_\varepsilon$  é suficientemente fino. Além disso, vamos estudar propriedades espectrais do operador Laplaciano de Dirichlet-Neumann em uma faixa estreita de largura fixa.

**Palavras-chave:** Operador Laplaciano, Condições de Dirichlet-Neumann, Formas Quadráticas, Espectro Essencial, Espectro Discreto, Faixas Estreitas.

# Abstract

Let  $\Omega_\varepsilon$  be a thin strip in  $\mathbb{R}^2$  and  $-\Delta_{DN}^{\Omega_\varepsilon}$  the Dirichlet-Neumann Laplacian in  $\Omega_\varepsilon$ . In this work, we study the spectral problem of  $-\Delta_{DN}^{\Omega_\varepsilon}$ . The asymptotic behaviour for the non-decreasing sequence of numbers  $\{\lambda_j(-\Delta_{DN}^{\Omega_\varepsilon})\}_{j=1}^\infty$  given by Max-Min Principle will be obtained, under the condition that  $\Omega_\varepsilon$  is thin enough. Furthermore, we study the spectral properties of the Dirichlet-Neumann Laplacian in a thin strip of a fixed width.

**Keywords:** Laplacian Operator, Dirichlet-Neumann Boundary Conditions, Quadratic Forms, Essential Spectrum, Discrete Spectrum, Thin Strips.

# Sumário

<b>Introdução</b>	<b>11</b>
<b>1 Preliminares</b>	<b>13</b>
1.1 O resolvente e o espectro de um operador . . . . .	13
1.2 Operadores autoadjuntos . . . . .	14
1.3 Operadores compactos . . . . .	17
1.4 Operadores multiplicação . . . . .	18
1.5 Formas sesquilineares . . . . .	18
1.6 Operadores associados às formas quadráticas . . . . .	20
1.7 O princípio Max-Min . . . . .	21
<b>2 Laplaciano de Dirichlet-Neumann em faixas estreitas</b>	<b>23</b>
2.1 Geometria da faixa . . . . .	23
2.2 Operador Laplaciano de Dirichlet-Neumann e mudança de variáveis . . . . .	24
<b>3 Convergência espectral</b>	<b>27</b>
3.1 Limite superior . . . . .	27
3.2 Limite inferior . . . . .	30
<b>4 Convergência uniforme dos resolventes</b>	<b>34</b>
4.1 Apresentação do resultado principal . . . . .	34
4.2 Formas quadráticas . . . . .	35
4.3 Operadores renormalizados . . . . .	36
4.4 Um resultado intermediário de convergência . . . . .	37



4.5	Uma decomposição ortogonal do espaço de Hilbert . . . . .	39
4.6	Convergência dos autovalores . . . . .	43
<b>5</b>	<b>O espectro essencial e discreto do Laplaciano de Dirichlet-Neumann</b>	<b>45</b>
5.1	Configuração do espaço . . . . .	45
5.2	O espectro essencial . . . . .	47
5.3	Existência de espectro discreto . . . . .	50
	<b>Appendices</b>	<b>53</b>
A	Mudança de variáveis em formas quadráticas . . . . .	53
B	Forma quadrática associada a um operador . . . . .	54
C	Comportamento assintótico de autovalores . . . . .	55

# Notação

$\mathcal{B}$	Espaço de Banach.
$\mathcal{H}$	Espaço de Hilbert.
$Y \subseteq X$	$Y$ é um subconjunto denso de $X$ .
$\mathbf{1}$	Operador identidade.
$\text{Im } T$	A imagem de uma transformação $T$ .
$\text{dom } T$	O domínio de uma transformação $T$ .
$N(T)$	O núcleo de uma transformação $T$ .
$B(\mathcal{B})$	Conjunto de operadores lineares limitados de $\mathcal{B}$ em $\mathcal{B}$ .
$C.S$	Desigualdade de Cauchy-Schwarz. $ \langle \xi, \eta \rangle  \leq \ \xi\  \ \eta\ , \forall \xi, \eta \in \mathcal{H}$ .
$L^\infty(X)$	$\{\psi : X \rightarrow \mathbb{R} \text{ mensurável} : \exists 0 < M < \infty, \text{ com }  \psi(x)  < M \text{ q.t.p } x\}$ .
$L^p(X)$	$\{\psi : X \rightarrow \mathbb{R} \text{ mensurável} : \ \psi\ _p^p := \int_X  \psi ^p d\mu < \infty, 1 \leq p < \infty\}$ .
$\nabla \Psi$	O gradiente de $\Psi$ nas coordenadas usuais em $\mathbb{R}^2$ .
$\mathcal{H}^m(\Omega)$	$\{\psi \in L^2(\Omega) : \partial^\alpha \psi \in L^2(\Omega),  \alpha  \leq m\}$ .

# Introdução

O espectro do operador Laplaciano em faixas estreitas tem sido estudado extensivamente nos últimos anos [1, 2, 5, 6, 7, 9, 12, 14, 18, 24, 25]. O assunto é interessante pois os resultados dependem da geometria dessas faixas e também das condições de contorno impostas em suas fronteiras. As condições mais usuais são as de Dirichlet, de Neumann ou de Dirichlet-Neumann [6, 9, 14, 19, 20, 5, 18, 21]. Neste trabalho, vamos estudar o operador Laplaciano sujeito às condições de Dirichlet-Neumann.

Seja  $I \subset \mathbb{R}$  um intervalo aberto (limitado ou ilimitado) e  $\gamma : \bar{I} \rightarrow \mathbb{R}^2$  uma curva de classe  $C^2$  parametrizada pelo seu comprimento de arco. Denote por  $\kappa(s)$  sua curvatura no ponto  $\gamma(s)$ . Considere  $\Omega_\varepsilon$  a faixa construída ao se mover o segmento  $(0, \varepsilon)$  ao longo de  $\gamma$  com respeito ao seu campo de vetores normais. Seja  $-\Delta_{DN}^{\Omega_\varepsilon}$  o operador Laplaciano de Dirichlet-Neumann em  $\Omega_\varepsilon$ , ou seja, o operador Laplaciano agindo no espaço de Hilbert  $L^2(\Omega_\varepsilon)$  e com condições de contorno de Dirichlet e de Neumann em  $\gamma$  e  $\gamma_\varepsilon$  (em que  $\gamma_\varepsilon$  corresponde a uma curva paralela à  $\gamma$  e a uma distância  $\varepsilon > 0$  dela), respectivamente. Observe a figura abaixo.

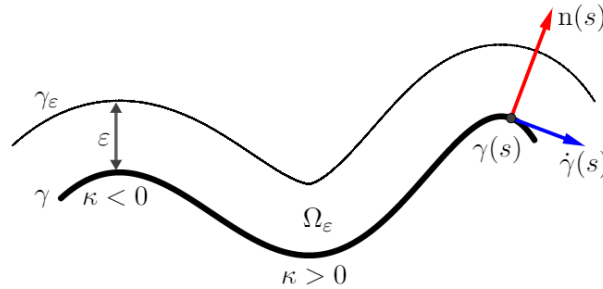


Figura 1: Geometria da faixa  $\Omega_\varepsilon$ .

Denotemos por  $\{\lambda_j(-\Delta_{DN}^{\Omega_\varepsilon})\}_{j=1}^\infty$  a seqüência crescente correspondente ao problema espectral de  $-\Delta_{DN}^{\Omega_\varepsilon}$  dada pelo Princípio Max-Min. Cada  $\lambda_j(-\Delta_{DN}^{\Omega_\varepsilon})$  representa ou um autovalor discreto ou o ínfimo do espectro essencial de  $-\Delta_{DN}^{\Omega_\varepsilon}$ .

Um dos principais objetivos deste trabalho é entender o comportamento assintótico dos valores  $\lambda_j(-\Delta_{DN}^{\Omega_\varepsilon})$  quando a largura da faixa tende a zero. Seguindo como referência o texto [17], mostraremos que, para todo  $j \geq 1$ ,

$$\lambda_j(-\Delta_{DN}^{\Omega_\varepsilon}) = \left(\frac{\pi}{2\varepsilon}\right)^2 + \frac{\inf \kappa}{\varepsilon} + o(\varepsilon^{-1}), \quad \text{quando } \varepsilon \rightarrow 0. \quad (1)$$

A aproximação acima pode ser obtida de duas formas diferentes. Numa primeira situação o resultado será obtido por meio de uma limitação superior e uma inferior para os valores  $\lambda_j(-\Delta_{DN}^{\Omega_\varepsilon})$ . Na segunda situação, mostraremos que o resultado também pode ser obtido por meio de uma aproximação no sentido uniforme dos resolventes dos operadores envolvidos.

Agora, consideremos o caso em que a região de estudo seja uma faixa estreita, como na Figura 1, mas de largura fixa. Denotemos tal região por  $\hat{\Omega}$  e sua largura por  $d > 0$ . Novamente, seja  $-\Delta_{DN}^{\hat{\Omega}}$  o operador Laplaciano de Dirichlet-Neumann em  $\hat{\Omega}$ . O espectro desse operador possui diferentes propriedades que dependem da geometria da faixa. Se  $\hat{\Omega}$  é limitada, o espectro de  $-\Delta_{DN}^{\hat{\Omega}}$  é puramente discreto. Por outro lado, se  $\hat{\Omega}$  é ilimitada, o espectro pode ser puramente essencial ou conter elementos do espectro essencial e do espectro discreto.

De acordo com as referências [18, 5], mostraremos as seguintes caracterizações. (a) Se  $\kappa \rightarrow 0$ , quando  $|s| \rightarrow \infty$ , então  $\sigma_{ess}(-\Delta_{DN}^{\hat{\Omega}}) = [(\pi/2d)^2, \infty)$ ; (b) Se existe um número real positivo  $s_0$  tal que  $\kappa(s) \leq 0$ , para  $s$  satisfazendo  $|s| \geq s_0$ , e  $\int_{-s_0}^{s_0} \kappa(s)ds < 0$ , então  $\inf \sigma(-\Delta_{DN}^{\hat{\Omega}}) < (\pi/2d)^2$ ; (c) Se existe um número real positivo  $s_0$  tal que  $\kappa(s) = 0$ , para  $|s| \geq s_0$ ,  $\int_{-s_0}^{s_0} \kappa(s)ds = 0$  e  $\|\kappa\|_{L^2(\mathbb{R})} > 0$ , então  $\inf \sigma(-\Delta_{DN}^{\hat{\Omega}}) < (\pi/2d)^2$ . Observemos que nas condições dos itens (a) e (b), por exemplo, podemos garantir a existência do espectro discreto para  $-\Delta_{DN}^{\hat{\Omega}}$ .

Assumindo o resultado em (a) do parágrafo acima, vamos fazer uma análise do comportamento assintótico dado por (1). No caso em que  $I = \mathbb{R}$  e a curvatura  $\kappa$  se anula no infinito, observemos que o termo  $\pi^2/(2\varepsilon)^2$  em (1) coincide com o ínfimo do espectro essencial do operador  $-\Delta_{DN}^{\Omega_\varepsilon}$ . Assim, se  $\kappa$  assume um valor negativo e  $\varepsilon > 0$  é suficientemente pequeno, então  $\sigma_d(-\Delta_{DN}^{\Omega_\varepsilon}) \neq \emptyset$ . Ou seja, o simples fato de  $\kappa$  assumir um valor negativo garante a existência de espectro discreto para  $-\Delta_{DN}^{\Omega_\varepsilon}$ , desde que  $\varepsilon > 0$  seja suficientemente pequeno.

Terminamos esta introdução com alguns comentários a respeito do problema espectral do operador Laplaciano em  $\Omega_\varepsilon$  no caso em que a condição de contorno na fronteira  $\partial\Omega_\varepsilon$  é somente ou Dirichlet ou Neumann. No caso do operador Laplaciano de Neumann,  $-\Delta_N^{\Omega_\varepsilon}$ , a sequência  $\{\lambda_j(-\Delta_N^{\Omega_\varepsilon})\}_{j=1}^\infty$  dada pelo Princípio Max-Min satisfaz  $\lambda_1(-\Delta_N^{\Omega_\varepsilon}) = \lambda_1(-\Delta_N^I) = 0$  e, para  $j \geq 2$ ,  $\lambda_j(-\Delta_N^{\Omega_\varepsilon}) = \lambda_j(-\Delta_N^I) + o(1)$ , quando  $\varepsilon \rightarrow 0$ , em que  $-\Delta_N^I$  denota o operador Laplaciano de Neumann em  $L^2(I)$ . Observemos que as características geométricas da faixa não influenciam o comportamento assintótico. Quanto ao operador Laplaciano de Dirichlet,  $-\Delta_D^{\Omega_\varepsilon}$ , a sequência  $\{\lambda_j(-\Delta_D^{\Omega_\varepsilon})\}_{j=1}^\infty$  dada pelo Princípio Max-Min satisfaz, para  $j \geq 1$ ,  $\lambda_j(-\Delta_D^{\Omega_\varepsilon}) = (\pi/\varepsilon)^2 + \lambda_j(-\Delta_D^I - \kappa^2/4) + o(1)$ , quando  $\varepsilon \rightarrow 0$ , em que  $-\Delta_D^I$  denota o operador Laplaciano de Dirichlet em  $L^2(I)$ . Observemos que neste caso o resultado final é influenciado pela geometria da região. Detalhes destes resultados podem ser encontrados em [6, 9, 15].

Este trabalho está dividido da seguinte forma. No Capítulo 1 apresentamos definições e resultados da teoria de operadores que serão úteis ao longo do texto. No Capítulo 2 definimos detalhadamente a região do plano na qual vamos considerar o operador Laplaciano com condições de contorno de Dirichlet-Neumann. Neste mesmo capítulo é definido formalmente tal operador. No Capítulo 3 mostraremos o comportamento assintótico dado por (1) por meio de limitações superior e inferior. Já no Capítulo 4, mostraremos que o mesmo resultado é obtido por uma aproximação no sentido uniforme do resolvente dos operadores envolvidos. O Capítulo 5 é dedicado ao estudo do espectro do operador Laplaciano de Dirichlet-Neumann em uma faixa de largura fixa. Neste mesmo capítulo, é feita uma comparação com os resultados dos Capítulos 2 e 3.

# Capítulo 1

## Preliminares

Neste capítulo vamos apresentar alguns resultados básicos, além de notações, que utilizaremos ao longo do trabalho. Iniciamos com algumas definições e resultados da teoria de operadores autoadjuntos e operadores compactos. Em seguida, vamos apresentar alguns tópicos relacionados aos operadores que são definidos por formas quadráticas. Por último, apresentaremos o Princípio Max-Min que será uma ferramenta bastante útil ao longo do trabalho.

Neste capítulo,  $\mathcal{B}$  sempre denota um espaço de Banach,  $\mathcal{H}$  um espaço de Hilbert,  $B(\mathcal{B})$  o conjunto de operadores lineares  $T : \mathcal{B} \rightarrow \mathcal{B}$  limitados. Além disso, a notação  $Y \sqsubseteq X$  indica que  $Y$  é um subconjunto denso em  $X$ . Devido ao caráter introdutório, a maioria das demonstrações serão omitidas.

### 1.1 O resolvente e o espectro de um operador

**Definição 1.1.** Seja  $T : \text{dom } T \subset \mathcal{B} \rightarrow \mathcal{B}$  um operador linear no espaço de Banach complexo  $\mathcal{B} \neq \{0\}$ . O *conjunto resolvente* de  $T$ , denotado por  $\rho(T)$ , é o conjunto dos  $\lambda \in \mathbb{C}$  para os quais o *operador resolvente* de  $T$  em  $\lambda$ ,

$$R_\lambda(T) : \mathcal{B} \rightarrow \text{dom } T, \quad R_\lambda(T) := (T - \lambda \mathbf{1})^{-1},$$

existe e é limitado, isto é,  $R_\lambda(T) \in B(\mathcal{B})$ . O *espectro* de  $T$  é o conjunto  $\sigma(T) := \mathbb{C} \setminus \rho(T)$ .

Observemos que  $\sigma(T)$  contém todos os *autovalores* do operador  $T$ , isto é, todos os números  $\lambda$  para os quais a equação  $(T - \lambda \mathbf{1})\psi = 0$  tem pelo menos uma solução não nula  $\psi \in \text{dom } T$ ; nesse caso,  $\psi$  é chamado de *autovetor* de  $T$ .

**Teorema 1.2.** *Seja  $T : \text{dom } T \subset \mathcal{B} \rightarrow \mathcal{B}$  e  $\lambda_0 \in \rho(T)$ . Então, para todo  $\lambda$  no disco  $|\lambda - \lambda_0| < 1/\|R_{\lambda_0}(T)\|$  do plano complexo,  $R_\lambda(T) \in B(\mathcal{B})$  e*

$$R_\lambda(T) = \sum_{j=0}^{\infty} (\lambda - \lambda_0)^j R_{\lambda_0}(T)^{j+1},$$

em que a série é absolutamente convergente.

**Corolário 1.3.**  $\rho(T)$  é um conjunto aberto e  $\sigma(T)$  é um conjunto fechado de  $\mathbb{C}$ .

**Corolário 1.4.** Se  $\sigma(T)$  e  $\rho(T)$  são não vazios, então

$$\|R_\lambda(T)\| \geq 1/d(\lambda, \sigma(T)), \quad \forall \lambda \in \rho(T),$$

com  $d(\lambda, \sigma(T)) := \inf_{\mu \in \sigma(T)} |\mu - \lambda|$ .

Para operadores limitados, tem-se os seguintes resultados específicos sobre o espectro.

**Corolário 1.5.** Seja  $T \in B(\mathcal{B})$ . Se  $|\lambda| > \|T\|$ , então  $\lambda \in \rho(T)$  e  $\|R_\lambda(T)\| \rightarrow 0$ , quando  $|\lambda| \rightarrow \infty$ .

**Corolário 1.6.** Se  $T \in B(\mathcal{B})$ , então  $\sigma(T) \neq \emptyset$ .

**Definição 1.7.** Sejam  $(T_n)$  uma sequência de operadores no espaço  $B(\mathcal{N}_1, \mathcal{N}_2)$  e  $T : \mathcal{N}_1 \rightarrow \mathcal{N}_2$  linear. Diz-se que

a)  $T_n$  converge fortemente para  $T$  se

$$\|T_n \xi - T \xi\|_{\mathcal{N}_2} \rightarrow 0, \quad n \rightarrow \infty, \quad \forall \xi \in \mathcal{N}_1.$$

Denota-se por  $T_n \xrightarrow{s} T$  ou  $s\text{-}\lim_{n \rightarrow \infty} T_n = T$ .

b)  $T_n$  converge uniformemente, ou em norma, para  $T$  se

$$\|T_n - T\| \rightarrow 0, \quad n \rightarrow \infty.$$

Denota-se tal convergência por  $T_n \rightarrow T$  ou  $\lim_{n \rightarrow \infty} T_n = T$ .

As provas dos resultados enunciados nesta seção podem ser encontrados em [4].

## 1.2 Operadores autoadjuntos

**Definição 1.8.** Um operador linear  $T : \text{dom } T \subset \mathcal{H} \rightarrow \mathcal{H}$  é simétrico se

$$\langle T\xi, \eta \rangle = \langle \xi, T\eta \rangle, \quad \forall \xi, \eta \in \text{dom } T.$$

$T$  é hermitiano se é simétrico e  $\text{dom } T \sqsubseteq \mathcal{H}$ .

Sejam  $\mathcal{H}_1$  e  $\mathcal{H}_2$  espaços de Hilbert. Seja  $T : \text{dom } T \sqsubseteq \mathcal{H}_1 \rightarrow \mathcal{H}_2$ , definimos  $\text{dom } T^*$  como o espaço vetorial dos elementos  $\eta \in \mathcal{H}_2$  tais que o funcional linear

$$\xi \rightarrow \langle \eta, T\xi \rangle, \quad \xi \in \text{dom } T,$$

pode ser representado por  $\zeta \in \mathcal{H}_1$ , ou seja,

$$\langle \eta, T\xi \rangle = \langle \zeta, \xi \rangle, \quad \forall \xi \in \text{dom } T.$$

**Definição 1.9.** O adjunto de  $T$  é o operador  $T^*$  com domínio  $\text{dom } T^*$  definido acima e, para  $\eta \in \text{dom } T^*$ ,  $T^*\eta := \zeta$ . Assim,

$$\langle \eta, T\xi \rangle = \langle T^*\eta, \xi \rangle, \quad \forall \xi \in \text{dom } T, \forall \eta \in \text{dom } T^*.$$

Note que é essencial que  $\text{dom } T \sqsubseteq \mathcal{H}_1$  para que  $T^* : \text{dom } T^* \subset \mathcal{H}_2 \rightarrow \mathcal{H}_1$  esteja bem definido.

A seguinte proposição mostra algumas propriedades do adjunto para o caso específico de operadores limitados.

**Proposição 1.10.** *Se  $T \in B(\mathcal{H}_1, \mathcal{H}_2)$ , então  $T^* \in B(\mathcal{H}_2, \mathcal{H}_1)$ ,  $T^{**} = T$  e  $\|T^*\| = \|T\|$ . Portanto,*

$$\langle \eta, T\xi \rangle = \langle T^*\eta, \xi \rangle, \quad \forall \xi \in \mathcal{H}_1, \forall \eta \in \mathcal{H}_2.$$

**Definição 1.11.** a) Um operador linear  $T : \text{dom } T \subseteq \mathcal{H} \rightarrow \mathcal{H}$  é *autoadjunto* se  $T = T^*$

b) Um operador limitado  $T : \mathcal{H}_1 \rightarrow \mathcal{H}_2$  é *unitário* se  $\text{Im } T = \mathcal{H}_2$ , é injetor e  $T^* = T^{-1}$ .

**Observação 1.** a) Note que  $T : \mathcal{H}_1 \rightarrow \mathcal{H}_2$  é unitário se, e somente se,

$$\langle T\xi, T\eta \rangle = \langle \xi, T^*T\eta \rangle = \langle \xi, \eta \rangle, \quad \forall \xi, \eta \in \mathcal{H}_1,$$

e  $\text{Im } T = \mathcal{H}_2$ ; em particular os operadores unitários são isometrias e  $T^{-1}$  também é unitário.

b) Se  $T$  é autoadjunto, então  $\langle T\xi, \xi \rangle \in \mathbb{R}$ , para todo  $\xi \in \text{dom } T$ . De fato, dado  $\xi \in \text{dom } T$

$$\langle T\xi, \xi \rangle = \langle \xi, T^*\xi \rangle = \langle \xi, T\xi \rangle = \overline{\langle T\xi, \xi \rangle}.$$

Além disso, um operador autoadjunto é simétrico. Portanto, todo operador autoadjunto é hermitiano.

c) Se  $T \in B(\mathcal{B})$ , a noção de hermitiano e autoadjunto coincidem.

**Proposição 1.12.** *Se  $T \in B(\mathcal{H})$  é autoadjunto. Então,*

$$\|T\| = \sup_{\|\xi\|=1} \langle T\xi, \xi \rangle.$$

**Definição 1.13.** Sejam  $T$  e  $S$  operadores lineares em  $\mathcal{H}$ , defina  $\text{dom}(S + T) := \text{dom } S \cap \text{dom } T$  e  $\text{dom}(ST) := \{\xi \in \text{dom } T : T\xi \in \text{dom } S\}$ ,

$$(S + T)\xi := T\xi + S\xi \quad e \quad (ST)\xi := S(T\xi),$$

que são chamados de *operador soma* e *operador produto*, respectivamente.

**Teorema 1.14.** *Seja  $T : \text{dom } T \subseteq \mathcal{H} \rightarrow \mathcal{H}$  um operador linear e  $S \in B(\mathcal{H})$ . Então,  $T^*S^* = (ST)^*$ .*

**Definição 1.15.** a) Dizemos que os espaços de Hilbert  $\mathcal{H}_1$  e  $\mathcal{H}_2$  são *unitariamente equivalentes* se existe um operador unitário  $U : \mathcal{H}_1 \rightarrow \mathcal{H}_2$ .

b) Dois operadores lineares  $T_j : \text{dom } T_j \subset \mathcal{H}_j \rightarrow \mathcal{H}_j$ ,  $j = 1, 2$ , são *unitariamente equivalentes* se existe um operador unitário  $U : \mathcal{H}_1 \rightarrow \mathcal{H}_2$  tal que  $\text{dom } T_2 := U \text{dom } T_1$  e

$$T_2 = UT_1U^{-1} = UT_1U^*.$$

**Proposição 1.16.** *Sejam  $T_1$  e  $T_2$  operadores lineares unitariamente equivalentes. Então,*

a) *se  $T_1$  é hermitiano (resp. autoadjunto), então  $T_2$  também é hermitiano (resp. autoadjunto);*

b)  $\sigma(T_1) = \sigma(T_2)$ .

*Prova:* a) Por hipótese, existe um operador unitário  $U : \mathcal{H}_1 \rightarrow \mathcal{H}_2$  tal que  $\text{dom } T_2 = U \text{dom } T_1$  e  $T_2 = UT_1U^*$ ; note que  $\text{dom } T_2 \subseteq \mathcal{H}_2$ . Suponha  $T_1$  hermitiano. Dados  $\xi, \eta \in \text{dom } T_2$ ,

$$\begin{aligned} \langle T_2\xi, \eta \rangle &= \langle (UT_1U^*)\xi, \eta \rangle = \langle T_1(U^*\xi), U^*\eta \rangle \\ &= \langle U^*\xi, T_1(U^*\eta) \rangle = \langle \xi, (UT_1U^*)\eta \rangle \\ &= \langle \xi, T_2\eta \rangle. \end{aligned}$$

Portanto,  $T_2$  é hermitiano. Agora, suponha que  $T_1$  seja autoadjunto. Nesse caso,

$$T_2^* = (UT_1U^*)^* = (U^*)^*(UT_1)^* = UT_1^*U^* = UT_1U^* = T_2.$$

Portanto,  $T_2$  é autoadjunto.

b) Dado  $z \in \mathbb{C}$ , vale

$$U(T_1 - z\mathbf{1})U^* = T_2 - z\mathbf{1}.$$

Assim,  $z \in \rho(T_1)$  se, e somente se,  $z \in \rho(T_2)$ . Logo  $\sigma(T_1) = \sigma(T_2)$ .  $\square$

Uma das propriedades fundamentais do espectro dos operadores autoadjuntos é o seguinte teorema.

**Teorema 1.17.** *Se  $T$  é autoadjunto, então  $\sigma(T)$  é um subconjunto não vazio de  $\mathbb{R}$ .*

**Corolário 1.18.** *Se  $T$  é autoadjunto e  $z \in \rho(T)$ , então*

$$\|R_z(T)\| = \frac{1}{d(z, \sigma(T))}.$$

**Teorema 1.19.** *Seja  $T$  autoadjunto, as seguintes afirmações são equivalentes:*

- a)  $z \in \rho(T)$ .
- b)  $\text{Im}(T - z\mathbf{1}) = \mathcal{H}$ .
- c)  $\exists c > 0$  tal que  $\|(T - z\mathbf{1})\xi\| \geq c\|\xi\|$ ,  $\forall \xi \in \text{dom } T$ .

**Definição 1.20.** Um operador hermitiano  $T$  é *limitado inferiormente* se existe  $\beta \in \mathbb{R}$  tal que  $\langle \xi, T\xi \rangle \geq \beta\|\xi\|^2$ ,  $\forall \xi \in \text{dom } T$ . Neste caso, usamos a notação  $T \geq \beta\mathbf{1}$  e dizemos que  $\beta$  é *um limite inferior* para  $T$ . No caso em que  $\beta = 0$ ,  $T$  também é chamado de *operador positivo*.

**Teorema 1.21.** *Seja  $T$  um operador autoadjunto com  $T \geq \beta\mathbf{1}$ , então  $\sigma(T) \subset [\beta, \infty)$ .*

Outra propriedade interessante é mostrada no seguinte teorema.

**Teorema 1.22.** *Seja  $T$  autoadjunto. Se  $\lambda$  é um ponto isolado de  $\sigma(T)$ , então  $\lambda$  é um autovalor de  $T$ .*

**Definição 1.23.** Seja  $T$  um operador autoadjunto.

- a) O *espectro essencial* de  $T$  é o conjunto  $\sigma_{ess}(T)$  de pontos de acumulação de  $\sigma(T)$  junto com os autovalores  $T$  de multiplicidade infinita.
- b) O *espectro discreto* de  $T$  é o conjunto  $\sigma_d(T) := \sigma(T) \setminus \sigma_{ess}(T)$ , isto é, o conjunto de autovalores isolados de  $T$ , cada um com multiplicidade finita.
- c) Se  $\sigma_{ess}(T) = \emptyset$ , então  $T$  diz-se ter *espectro puramente discreto*; se  $\sigma_d(T) = \emptyset$ , então  $T$  diz-se ter *espectro puramente essencial*.

Note que  $\sigma_{ess}(T) \subset \sigma(T)$  desde que este último é um conjunto fechado.

**Definição 1.24.** Uma sequência  $(\xi_n) \subset \mathcal{H}$  converge fracamente a  $\xi \in \mathcal{H}$ ,  $\xi_n \xrightarrow{w} \xi$ , se para cada  $\eta \in \mathcal{H}$  tem-se

$$\langle \xi_n, \eta \rangle \rightarrow \langle \xi, \eta \rangle.$$

Dizemos que  $(\xi_n) \subset \mathcal{H}$  converge em norma ou converge fortemente a  $\xi \in \mathcal{H}$  se

$$\|\xi_n - \xi\| \rightarrow 0, \quad n \rightarrow \infty.$$



O próximo resultado apresenta uma caracterização importante do espectro essencial.

**Teorema 1.25.** *Se  $T$  é autoadjunto, as seguintes afirmações são equivalentes:*

- i)  $\lambda \in \sigma_{ess}(T)$ ;
- ii) *Existe uma sequência normalizada  $(\xi_n) \subset \text{dom } T$  (isto é,  $\|\xi_n\| = 1, \forall n$ ) de tal modo que  $\xi_n \xrightarrow{w} 0$  e*

$$(T - \lambda \mathbf{1})\xi_n \rightarrow 0, \quad n \rightarrow \infty.$$

*Tal sequência é chamada de sequência singular de Weyl para  $T$  em  $\lambda$ .*

**Corolário 1.26.** *Se  $T$  é autoadjunto, então  $\sigma_{ess}(T)$  é um subconjunto fechado de  $\mathbb{R}$ .*

**Definição 1.27.** Sejam  $(T_n)$  uma sequência de operadores autoadjuntos e  $T$  autoadjunto. Diz-se que

- a)  $T_n$  converge para  $T$  no *sentido forte dos resolventes* (SR) se  $R_i(T_n) \xrightarrow{s} R_i(T)$ , e denota-se por  $T_n \xrightarrow{SR} T$ .
- b)  $T_n$  converge para  $T$  no *sentido da norma dos resolventes* (NR) se  $R_i(T_n) \rightarrow R_i(T)$ , e denota-se por  $T_n \xrightarrow{NR} T$ .

**Observação 2.** Se  $\lambda_0 \in \mathbb{C} \setminus \mathbb{R}$  e  $R_{\lambda_0}(T_n) \xrightarrow{s} R_{\lambda_0}(T)$  (ou em norma), então  $R_\lambda(T_n) \xrightarrow{s} R_\lambda(T)$  (resp. em norma) para qualquer  $\lambda \in \mathbb{C} \setminus \mathbb{R}$ .

As provas dos resultados enunciados nesta seção podem ser encontrados em [4].

### 1.3 Operadores compactos

**Definição 1.28.** Um operador linear  $T : \text{dom } T \subseteq \mathcal{H} \rightarrow \mathcal{H}$  é *compacto*, também chamado de *completamente contínuo*, se  $\overline{T(A)}$  é compacto em  $\mathcal{H}$  para todo subconjunto limitado  $A \subset \text{dom } T$ .

**Observação 3.** Equivalentemente,  $T : \text{dom } T \subseteq \mathcal{H} \rightarrow \mathcal{H}$  é compacto se para toda sequência limitada  $(\xi_n) \subset \text{dom } T$ , a sequência  $(T\xi_n)$  tem uma subsequência convergente em  $\mathcal{H}$ .

O seguinte teorema mostra uma caracterização dos operadores autoadjuntos com espectro essencial vazio; devido a tal caracterização estes operadores também são chamados de *operadores com resolvente compacto*.

**Teorema 1.29.** *Seja  $T : \text{dom } T \subseteq \mathcal{H} \rightarrow \mathcal{H}$  um operador autoadjunto e suponha que  $\dim \mathcal{H} = \infty$ . Então, as seguintes afirmações são equivalentes:*

- i)  $\sigma_{ess}(T) = \emptyset$ .
- ii) *Existe uma base ortonormal  $(\xi_j)_{j=1}^\infty$  de  $\mathcal{H}$  formada por autovetores de  $T$ ,  $T\xi_j = \lambda_j \xi_j, \forall j$ , com  $\lambda_j$  autovalores reais, contando suas multiplicidades, satisfazendo  $\lim_{j \rightarrow \infty} |\lambda_j| = \infty$  (e assim, cada um deles possui multiplicidade finita).*
- iii)  $R_z(T)$  é um operador compacto para algum  $z \in \rho(T)$  (portanto,  $\forall z \in \rho(T)$ ).

A prova deste teorema pode ser encontrada em [4].

## 1.4 Operadores multiplicação

Seja  $\mu$  uma medida de Borel positiva sob um espaço métrico  $X$  obedecendo  $\mu(E) < \infty$ , para todo conjunto de Borel limitado  $E \subset X$ . Fixado um conjunto de Borel  $E$ , seja  $\varphi : E \rightarrow \mathbb{C}$  uma função mensurável. Definimos o *operador multiplicação* por  $\varphi$  como o operador linear

$$\begin{aligned} \text{dom } \mathcal{M}_\varphi &:= \{\psi \in L_\mu^2(E) : (\varphi\psi) \in L_\mu^2(E)\}, \\ (\mathcal{M}_\varphi\psi)(x) &= \varphi(x)\psi(x), \quad \forall \psi \in \text{dom } \mathcal{M}_\varphi. \end{aligned}$$

**Proposição 1.30.**  $\text{dom } \mathcal{M}_\varphi$  é denso em  $L_\mu^2(E)$  e  $\mathcal{M}_\varphi^* = \mathcal{M}_{\bar{\varphi}}$ .

**Corolário 1.31.**  $\mathcal{M}_\varphi$  é autoadjunto se, e somente se,  $\varphi$  é uma função real.

**Exemplo 1.** Seja  $\phi \in L_\mu^\infty(\Omega)$ , com  $\mu$  sendo uma medida  $\sigma$ -finita. Então, o operador multiplicação por  $\phi$ ,  $\mathcal{M}_\phi : L_\mu^p(\Omega) \rightarrow L_\mu^p(\Omega)$ ,

$$(\mathcal{M}_\phi\psi)(t) = \phi(t)\psi(t), \quad \forall \psi \in L_\mu^p(\Omega),$$

é um operador linear,  $\forall 1 \leq p \leq \infty$ . Note que  $\mathcal{M}_\phi\psi \in L_\mu^p(\Omega)$  para  $\psi \in L_\mu^p(\Omega)$ . Além disso,  $\mathcal{M}_\phi$  é limitado em  $L_\mu^p(\Omega)$ ,  $1 \leq p \leq \infty$ , e  $\|\mathcal{M}_\phi\| = \|\phi\|_\infty$ .

**Definição 1.32.** A  $(\mu-)$  imagem essencial de uma função mensurável  $\varphi : E \rightarrow \mathbb{C}$  é o conjunto de todos os  $y \in \mathbb{C}$  tais que  $\mu(\{x \in E : |\varphi(x) - y| < \varepsilon\}) > 0$ ,  $\forall \varepsilon > 0$ .

**Proposição 1.33.** a) O espectro  $\sigma(\mathcal{M}_\varphi)$  é a imagem essencial de  $\varphi$ .

b)  $\lambda$  é um autovalor de  $\mathcal{M}_\varphi$  se, e somente se,  $\mu(\{\varphi^{-1}(\lambda)\}) > 0$ .

As provas dos resultados enunciados nesta seção, assim como os detalhes do Exemplo 1, podem ser encontrados em [4].

## 1.5 Formas sesquilineares

Seja  $\text{dom } b$  um subespaço denso no espaço de Hilbert  $\mathcal{H}$ . Uma *forma sesquilinear* em  $\mathcal{H}$  é uma aplicação

$$b : \text{dom } b \times \text{dom } b \rightarrow \mathbb{C}$$

que é linear na segunda variável e antilinear na primeira.  $b$  é hermitiana se

$$b(\xi, \eta) = \overline{b(\eta, \xi)}, \quad \forall \xi, \eta \in \text{dom } b.$$

A aplicação  $\xi \mapsto b(\xi, \xi) := b(\xi)$ ,  $\xi \in \text{dom } b$ , é chamada de *forma quadrática* associada a  $b$ . Em algumas situações denota-se  $\text{dom } b \times \text{dom } b$  simplesmente por  $\text{dom } b$ .

**Observação 4.** i) Vale a seguinte *identidade de polarização* para formas quadráticas:

$$4b(\xi, \eta) = b(\xi + \eta) - b(\xi - \eta) - ib(\xi + i\eta) + ib(\xi - i\eta), \quad \forall \xi, \eta \in \text{dom } b.$$

ii)  $b$  é hermitiana se, e somente se, a forma quadrática associada é real. De fato, suponha que  $b$  seja hermitiana. Para cada  $\xi \in \text{dom } b$ ,

$$b(\xi) = b(\xi, \xi) = \overline{b(\xi, \xi)} = \overline{b(\xi)},$$

ou seja,  $b(\xi)$  é real. Agora, suponha que  $b$  é uma forma quadrática real. Do item  $i$ ), quaisquer que sejam  $\xi, \eta \in \text{dom } b$ ,

$$\begin{aligned} b(\xi, \eta) &= 1/4[b(\xi + \eta) - b(\xi - \eta) - ib(\xi + i\eta) + ib(\xi - i\eta)] \\ &= 1/4[b(\eta + \xi) - b(\eta - \xi) - ib(\eta - i\xi) + ib(\eta + i\xi)] \\ &= 1/4[b(\eta + \xi) - b(\eta - \xi) + ib(\eta + i\xi) - ib(\eta - i\xi)] \\ &= \overline{b(\eta, \xi)}, \end{aligned}$$

ou seja,  $b$  é hermitiana.

**Definição 1.34.** Uma forma sesquilinear é *limitada* se

$$\|b\| := \sup_{\substack{\xi_1, \xi_2 \in \text{dom } b \\ \xi_1, \xi_2 \neq 0}} \frac{|b(\xi_1, \xi_2)|}{\|\xi_1\| \|\xi_2\|}$$

é finito, isto é,  $\|b\| < \infty$ .

**Exemplo 2.** O produto interno  $\langle \cdot, \cdot \rangle$  num espaço de Hilbert  $\mathcal{H}$  é uma forma sesquilinear limitada, de norma 1.

**Proposição 1.35.** Se  $b : \mathcal{H} \times \mathcal{H} \rightarrow \mathbb{C}$  é uma forma sesquilinear limitada, então existe um único operador  $T_b \in B(\mathcal{H})$  satisfazendo

$$b(\xi_1, \xi_2) = \langle T_b \xi_1, \xi_2 \rangle, \quad \forall \xi_1, \xi_2 \in \mathcal{H}.$$

Além disso,  $\|T_b\| = \|b\|$  e se  $b$  é hermitiana, então  $T_b$  é autoadjunto.

**Observação 5.** Existe uma correspondência biunívoca entre as formas sesquilineares limitadas (resp. hermitianas) em  $\mathcal{H}$  e os operadores limitados em  $\mathcal{H}$  (resp. autoadjuntos). A forma sesquilinear do Exemplo 2 tem como operador autoadjunto associado o operador identidade.

**Definição 1.36.** a) Seja  $b$  uma forma sesquilinear hermitiana. Então,  $b$  é *positiva* se a forma quadrática associada satisfaz  $b(\xi, \xi) \geq 0, \forall \xi \in \text{dom } b$ .

b) Seja  $b$  uma forma sesquilinear hermitiana. Então,  $b$  é *limitada inferiormente* se existe  $\beta \in \mathbb{R}$  com  $b(\xi, \xi) \geq \beta \|\xi\|^2, \forall \xi \in \text{dom } b$ . Neste caso, denotamos  $b \geq \beta \mathbf{1}$  e dizemos que  $\beta$  é *um limite inferior* de  $b$ . Note que  $b - \beta \mathbf{1}$  define uma forma sesquilinear positiva a qual é dada por

$$(b - \beta \mathbf{1})(\xi, \eta) := b(\xi, \eta) - \beta \langle \xi, \eta \rangle.$$

c) Seja  $b$  uma forma sesquilinear hermitiana e  $(\xi_n) \subset \text{dom } b$ .  $(\xi_n)$  é chamada de *sequência de Cauchy* com relação a  $b$  (ou em  $(\text{dom } b, b)$ ) se  $b(\xi_n - \xi_m) \rightarrow 0$  quando  $n, m \rightarrow \infty$ . Diz-se que  $(\xi_n)$  *converge* a  $\xi$  com relação a  $b$  (ou em  $(\text{dom } b, b)$ ) se  $\xi \in \text{dom } b$  e  $b(\xi_n - \xi) \rightarrow 0$  quando  $n \rightarrow \infty$ .

d) Uma forma sesquilinear  $b$  é *fechada* se para cada sequência de Cauchy  $(\xi_n)$  em  $(\text{dom } b, b)$  com  $\xi_n \rightarrow \xi$  em  $\mathcal{H}$ , tem-se  $\xi \in \text{dom } b$  e  $\xi_n \rightarrow \xi$  em  $(\text{dom } b, b)$ .

**Observação 6.** Note que se  $b$  é uma forma sesquilinear limitada inferiormente, então sua forma quadrática associada é real. Logo, pela Observação 4, tem-se que  $b$  é hermitiana.

Se  $\beta$  é o limite inferior da forma sesquilinear  $b$ , definimos o seguinte produto interno em  $\text{dom } b \subset \mathcal{H}$ :

$$\langle \xi, \eta \rangle_+ := b(\xi, \eta) + (1 - \beta) \langle \xi, \eta \rangle, \quad \forall \xi, \eta \in \text{dom } b.$$

Note que

$$\langle \xi, \xi \rangle_+ = b(\xi, \xi) + (1 - \beta)\langle \xi, \xi \rangle = b(\xi) + (1 - \beta)\|\xi\|^2 = b(\xi) - \beta\|\xi\|^2 + \|\xi\|^2 \geq \|\xi\|^2.$$

Logo,  $\|\xi\|_+ := \sqrt{\langle \xi, \xi \rangle_+} \geq \|\xi\|$ ,  $\forall \xi \in \text{dom } b$ .

**Lema 1.37.** *Seja  $b$  uma forma sesquilinear hermitiana tal que  $b \geq \beta 1$ , para algum  $\beta \in \mathbb{R}$ . Então, as seguintes afirmações são equivalentes:*

i)  $(\text{dom } b, \langle \cdot, \cdot \rangle_+)$  é um espaço de Hilbert.

ii)  $b$  é fechada.

**Exemplo 3.** Dado um operador linear  $T : \text{dom } T \subseteq \mathcal{H} \rightarrow \mathcal{H}$ , podemos definir duas formas sesquilineares hermitianas e positivas. Mais precisamente, definimos  $\text{dom } b := \text{dom } T =: \text{dom } \tilde{b}$  e

$$\begin{aligned} b(\xi, \eta) &= \langle T\xi, T\eta \rangle, \\ \tilde{b}(\xi, \eta) &= \langle T\xi, T\eta \rangle + \langle \xi, \eta \rangle. \end{aligned}$$

Em particular, desde que  $\tilde{b}(\xi, \xi) = \|T\xi\|^2 + \|\xi\|^2 = \|\xi\|_T^2$  (isto é, o quadrado da norma do gráfico de  $T$ ),  $\tilde{b}$  é fechada se, e somente se,  $T$  é fechado.

Esta forma quadrática pode ser vista como uma motivação para a introdução do produto interno  $\langle \xi, \eta \rangle_+$  e o Lema 1.37.

**Exemplo 4.** Um operador hermitiano  $T : \text{dom } T \subseteq \mathcal{H} \rightarrow \mathcal{H}$  define uma forma sesquilinear hermitiana  $b^T$  da seguinte forma:

$$b^T(\xi, \eta) := \langle \xi, T\eta \rangle, \quad \text{dom } b^T = \text{dom } T.$$

Ainda mais,  $b^T$  é limitada inferiormente se, e somente se,  $T$  é limitada inferiormente.  $b^T$  é chamada de *forma sesquilinear gerada por  $T$* .

As provas dos resultados enunciados nesta seção podem ser encontrados em [4].

## 1.6 Operadores associados às formas quadráticas

**Definição 1.38.** Dada uma forma sesquilinear hermitiana  $b : \text{dom } b \rightarrow \mathbb{C}$ ,  $\text{dom } b \subseteq \mathcal{H}$ , o operador  $T_b$  associado à  $b$  é definido como

$$\begin{aligned} \text{dom } T_b &:= \{\xi \in \text{dom } b : \exists \zeta \in \mathcal{H} \text{ com } b(\eta, \xi) = \langle \eta, \zeta \rangle, \forall \eta \in \text{dom } b\}, \\ T_b \xi &:= \zeta, \quad \xi \in \text{dom } T_b, \end{aligned}$$

isto é,  $b(\eta, \xi) = \langle \eta, T_b \xi \rangle$ ,  $\forall \eta \in \text{dom } b$ ,  $\forall \xi \in \text{dom } T_b$ . Tal operador  $T_b$  está bem definido desde que  $\text{dom } b \subseteq \mathcal{H}$ .

Note que  $T_b$  é simétrico, pois, desde que  $b$  é hermitiano, para  $\xi, \eta \in \text{dom } T_b$ ,

$$\langle \eta, T_b \xi \rangle = b(\eta, \xi) = \overline{b(\xi, \eta)} = \overline{\langle \xi, T_b \eta \rangle} = \langle T_b \eta, \xi \rangle.$$

Além disso, se  $b$  é uma forma sesquilinear hermitiana limitada, o operador  $T_b$  da Definição 1.38 coincide com o operador da Proposição 1.35.

O próximo teorema é conhecido como representação de formas sesquilineares.

**Teorema 1.39.** *Seja  $\text{dom } b \subseteq \mathcal{H}$  e  $b : \text{dom } b \times \text{dom } b \rightarrow \mathbb{C}$  uma forma sesquilinear fechada com limite inferior  $\beta \in \mathbb{R}$  (portanto hermitiana).*

*Então, o operador  $T_b$  associado à  $b$  é o único operador autoadjunto com  $\text{dom } T_b \subseteq \text{dom } b$  tal que*

$$b(\eta, \xi) = \langle \eta, T_b \xi \rangle, \quad \forall \eta \in \text{dom } b, \forall \xi \in \text{dom } T_b.$$

*Ainda mais,  $T_b \geq \beta \mathbf{1}$  e  $\text{dom } T_b$  é um cerne de  $b$ , isto é,  $\overline{b|_{\text{dom } T_b}} = b$ . O subespaço  $\text{dom } b$  é chamado de domínio da forma de  $T_b$ .*

O próximo resultado é uma versão do Teorema 1.25, o qual apresenta uma caracterização do espectro essencial no qual a forma quadrática associada a  $T$  apareça.

**Teorema 1.40.** *Sejam  $T : \text{dom } T \subseteq \mathcal{H} \rightarrow \mathcal{H}$  um operador autoadjunto e positivo e  $b$  a sua forma quadrática associada. Então, as seguintes afirmações são equivalentes:*

i)  $\lambda \in \sigma_{ess}(T);$

ii) *Existe uma sequência normalizada  $(\xi_n) \subset \text{dom } b$ , de tal modo que  $\xi_n \xrightarrow{w} 0$  em  $\mathcal{H}$  e*

$$(T - \lambda \mathbf{1})\xi_n \rightarrow 0, \quad n \rightarrow \infty,$$

*em  $(\text{dom } b)^*$ , o qual denota o espaço dual do espaço  $\text{dom } b$ .*

As provas dos resultados enunciados nesta seção podem ser encontrados em [4] e [18].

## 1.7 O princípio Max-Min

Em alguns casos é possível caracterizar os autovalores de um operador que estão abaixo do seu espectro essencial através de uma aproximação variacional. Vejamos os resultados abaixo.

**Proposição 1.41.** *Seja  $T : \text{dom } T \subseteq \mathcal{H} \rightarrow \mathcal{H}$  um operador autoadjunto e limitado inferiormente. Suponha que, contando a multiplicidade, os autovalores de  $T$  sejam*

$$\lambda_1 < \lambda_2 < \lambda_3 < \dots < \inf \sigma_{ess}(T).$$

*Então,*

$$\begin{aligned} \lambda_1 &= \inf_{0 \neq \xi \in \text{dom } T} \frac{\langle \xi, T\xi \rangle}{\|\xi\|^2}, & E_1 &:= N(T - \lambda_1 I), \\ \lambda_2 &= \inf_{0 \neq \xi \in \text{dom } T \cap E_1^\perp} \frac{\langle \xi, T\xi \rangle}{\|\xi\|^2}, & E_2 &:= E_1 \oplus N(T - \lambda_2 I) \\ \lambda_k &= \inf_{0 \neq \xi \in \text{dom } T \cap E_{k-1}^\perp} \frac{\langle \xi, T\xi \rangle}{\|\xi\|^2}, & \text{em que } E_{k-1} &:= E_{k-2} \oplus N(T - \lambda_{k-1} I). \end{aligned}$$

A Proposição 1.41 é conhecida como *caracterização variacional do espectro discreto*.

**Teorema 1.42** (Princípio Max-Min). *Seja  $T : \text{dom } T \subseteq \mathcal{H} \rightarrow \mathcal{H}$  um operador autoadjunto e limitado inferiormente. Para cada  $n \in \mathbb{N}$ , defina*

$$\lambda_n(T) = \sup_{M_{n-1}} \left\{ \inf_{\substack{\psi \in \text{dom } T \cap M_{n-1}^\perp \\ \|\psi\|=1}} \langle \psi, T\psi \rangle \right\}, \quad (1.1)$$

em que o supremo é tomado sobre todos os subespaços lineares  $M_{n-1}$  de dimensão no máximo  $n-1$ . Então, para cada  $n \in \mathbb{N}$ , tem-se o seguinte:

- (i)  $\lambda_n(T) < \lambda_{ess}(T) := \inf\{\lambda \in \sigma_{ess}(T)\}$  se, e somente se,  $T$  tem no mínimo  $n$  autovalores menores que  $\lambda_{ess}(T)$ . Neste caso,  $\lambda_n(T)$  é o  $n$ -ésimo autovalor de  $T$  e o ínfimo em (1.1) é atingido quando  $M_{n-1} = [e_1, \dots, e_{n-1}]$ , em que  $e_j$  é o  $j$ -ésimo autovetor de  $T$  ( $j = 1, 2, \dots, n-1$ ) correspondente ao  $j$ -ésimo autovalor.
- (ii)  $\lambda_n(T) = \lambda_{ess}(T)$  se, e somente se,  $T$  tem no máximo  $n-1$  autovalores menores que  $\lambda_{ess}(T)$  e, neste caso,  $\lambda_m(T) = \lambda_n(T)$ , para todo  $m > n$ .

Será conveniente ter uma versão do Teorema 1.42 no qual a forma quadrática associada a  $T$  apareça.

**Teorema 1.43.** *Sejam  $T$ ,  $\lambda_n(T)$  e  $M_{n-1}$  como no Teorema 1.42. Então, para cada  $n \in \mathbb{N}$ ,*

$$\lambda_n(T) = \sup_{M_{n-1}} \left\{ \inf_{\substack{\psi \in \text{dom } b \cap M_{n-1}^\perp \\ \|\psi\|=1}} b(\psi) \right\},$$

em que  $b(\cdot)$  e  $\text{dom } b$  são a forma quadrática e o domínio da forma de  $T$ , respectivamente.

**Definição 1.44.** Seja  $\mathcal{H}_1$  um subespaço linear fechado de um espaço de Hilbert  $\mathcal{H}$ . Sejam  $S : \text{dom } S \subseteq \mathcal{H} \rightarrow \mathcal{H}$  e  $T : \text{dom } T \subseteq \mathcal{H}_1 \rightarrow \mathcal{H}_1$  operadores autoadjuntos positivos. Denote por  $a$  e  $b$  as formas quadráticas associadas a  $S$  e  $T$ , respectivamente. Dizemos que  $0 \leq S \leq T$  se, e somente se,  $\text{dom } b \subset \text{dom } a$  e

$$0 \leq a(\xi) \leq b(\xi), \quad \forall \xi \in \text{dom } b.$$

**Lema 1.45.** *Sejam  $S$  e  $T$  como na Definição 1.44 e suponha que  $0 \leq S \leq T$ . Então,  $\lambda_n(S) \leq \lambda_n(T)$ , para todo  $n \in \mathbb{N}$ .*

As provas dos resultados enunciados nesta seção podem ser encontrados em [4] e [8].

## Capítulo 2

# Laplaciano de Dirichlet-Neumann em faixas estreitas

Neste capítulo definimos detalhadamente a região do plano de interesse de nosso estudo. Em seguida, usando formas quadráticas, definimos o operador Laplaciano de Dirichlet-Neumann nessa região. Algumas mudanças de variáveis que serão úteis ao longo do texto também são apresentadas.

### 2.1 Geometria da faixa

Dado um intervalo aberto  $I \subseteq \mathbb{R}$  (limitado ou ilimitado), seja  $\gamma : \bar{I} \rightarrow \mathbb{R}^2$  uma curva plana, de classe  $C^2$  e com velocidade unitária (isto é, o seu traço está contido em um plano e  $\|\dot{\gamma}(s)\| = 1$ ,  $\forall s \in I$ ). Escrevendo  $\gamma = (\gamma^1, \gamma^2)$ , sejam

$$\dot{\gamma} := (\dot{\gamma}^1, \dot{\gamma}^2) \quad \text{e} \quad \mathbf{n} := (-\dot{\gamma}^2, \dot{\gamma}^1)$$

o campo de vetores tangentes unitários e o campo de vetores normais ao longo de  $\gamma$ , respectivamente.

A curvatura de  $\gamma$  é definida através da fórmula de Frenet–Serret como

$$\kappa := \det(\dot{\gamma}, \ddot{\gamma}) = \langle \ddot{\gamma}, \mathbf{n} \rangle = -\dot{\gamma} \cdot \dot{\mathbf{n}}.$$

Neste texto vamos supor que  $\kappa \in L^\infty(I)$ .

Dado  $\varepsilon > 0$ , definimos a aplicação  $\mathcal{L}_\varepsilon : \bar{I} \times [0, 1] \rightarrow \mathbb{R}^2$  como

$$\mathcal{L}_\varepsilon(s, t) := \gamma(s) + \varepsilon t \mathbf{n}(s), \quad \forall s \in \bar{I}, \forall t \in [0, 1].$$

Observe que, fixando  $t \in [0, 1]$ , a aplicação  $s \mapsto \mathcal{L}_\varepsilon(s, t)$  descreve uma curva “paralela” à  $\gamma$  e a uma distância  $|\varepsilon t|$  dela. Por outro lado, fixando  $s \in \bar{I}$ ,  $u \mapsto \mathcal{L}_\varepsilon(s, t)$  descreve uma linha reta ortogonal à  $\gamma$  em  $s$ .

A aplicação  $\mathcal{L}_\varepsilon$  é de classe  $C^1$  no aberto  $\Omega := I \times (0, 1)$ . Agora, vamos verificar que o determinante da sua matriz Jacobiana, denotada por  $J\mathcal{L}_\varepsilon$ , é não nulo para todo  $\varepsilon > 0$  suficientemente

pequeno. Observemos que

$$\begin{aligned}\mathcal{L}_\varepsilon(s, t) &= \gamma(s) + \varepsilon t \mathbf{n}(s) = (\gamma^1(s), \gamma^2(s)) + \varepsilon t (-\dot{\gamma}^2(s), \dot{\gamma}^1(s)) \\ &= (\gamma^1(s) - \varepsilon t \dot{\gamma}^2(s), \gamma^2(s) + \varepsilon t \dot{\gamma}^1(s)) = (\mathcal{L}_\varepsilon^1(s, t), \mathcal{L}_\varepsilon^2(s, t)),\end{aligned}$$

em que  $\mathcal{L}_\varepsilon^1(s, t) := \gamma^1(s) - \varepsilon t \dot{\gamma}^2(s)$  e  $\mathcal{L}_\varepsilon^2(s, t) := \gamma^2(s) + \varepsilon t \dot{\gamma}^1(s)$ . Logo,

$$J\mathcal{L}_\varepsilon(s, t) = \begin{pmatrix} \frac{\partial \mathcal{L}_\varepsilon^1}{\partial s}(s, t) & \frac{\partial \mathcal{L}_\varepsilon^1}{\partial t}(s, t) \\ \frac{\partial \mathcal{L}_\varepsilon^2}{\partial s}(s, t) & \frac{\partial \mathcal{L}_\varepsilon^2}{\partial t}(s, t) \end{pmatrix} = \begin{pmatrix} \dot{\gamma}^1(s) - \varepsilon t \ddot{\gamma}^2(s) & -\varepsilon \dot{\gamma}^2(s) \\ \dot{\gamma}^2(s) + \varepsilon t \ddot{\gamma}^1(s) & \varepsilon \dot{\gamma}^1(s) \end{pmatrix}$$

e

$$\begin{aligned}\det J\mathcal{L}_\varepsilon(s, t) &= \begin{vmatrix} \dot{\gamma}^1(s) - \varepsilon t \ddot{\gamma}^2(s) & -\varepsilon \dot{\gamma}^2(s) \\ \dot{\gamma}^2(s) + \varepsilon t \ddot{\gamma}^1(s) & \varepsilon \dot{\gamma}^1(s) \end{vmatrix} \\ &= (\dot{\gamma}^1(s) - \varepsilon t \ddot{\gamma}^2(s))(\varepsilon \dot{\gamma}^1(s)) - (-\varepsilon \dot{\gamma}^2(s))(\dot{\gamma}^2(s) + \varepsilon t \ddot{\gamma}^1(s)) \\ &= \varepsilon((\dot{\gamma}^1(s))^2 + (\dot{\gamma}^2(s))^2 - \varepsilon t(\dot{\gamma}^1(s)\ddot{\gamma}^2(s) - \dot{\gamma}^2(s)\ddot{\gamma}^1(s))) \\ &= \varepsilon(\|\dot{\gamma}(s)\|^2 - \varepsilon t \det(\dot{\gamma}(s), \ddot{\gamma}(s))) \\ &= \varepsilon(1 - \varepsilon t \kappa(s)).\end{aligned}\tag{2.1}$$

Desde que  $\kappa \in L^\infty(I)$ , temos

$$\varepsilon \|\kappa\|_\infty < 1,\tag{2.2}$$

para todo  $\varepsilon > 0$  suficientemente pequeno. Assim,  $\det J\mathcal{L}_\varepsilon(s, t) \neq 0$ , para todo  $(s, t) \in \Omega$ , desde que  $\varepsilon > 0$  seja suficientemente pequeno.

O Teorema da Aplicação Inversa garante que  $\mathcal{L}_\varepsilon$  é um difeomorfismo local de classe  $C^1$  em  $\Omega$ . Supondo que  $\mathcal{L}_\varepsilon$  é injetora (ou seja, que a faixa não se auto-intercepta), segue que  $\mathcal{L}_\varepsilon$  é um difeomorfismo global de classe  $C^1$  em  $\Omega$ .

Para cada  $\varepsilon > 0$  suficientemente pequeno, definimos a faixa estreita

$$\Omega_\varepsilon := \mathcal{L}_\varepsilon(\Omega).$$

A imagem  $\Omega_\varepsilon$  num sentido geométrico descreve uma faixa aberta, que não apresenta interseção consigo mesma, contida entre as curvas paralelas

$$\gamma(I) := \mathcal{L}_\varepsilon(I \times \{0\}) \quad \text{e} \quad \gamma_\varepsilon(I) := \mathcal{L}_\varepsilon(I \times \{1\}),$$

e, se  $\partial I \neq \emptyset$ , as linhas retas  $\mathcal{L}_\varepsilon(\{\inf I\} \times (0, 1))$  e  $\mathcal{L}_\varepsilon(\{\sup I\} \times (0, 1))$ . Observe a Figura 1.

## 2.2 Operador Laplaciano de Dirichlet-Neumann e mudança de variáveis

Consideremos a forma quadrática  $\mathcal{Q}_{DN}^{\Omega_\varepsilon}$  definida por

$$\mathcal{Q}_{DN}^{\Omega_\varepsilon}[\Psi] := \int_{\Omega_\varepsilon} |\nabla \Psi(x)|^2 dx,\tag{2.3}$$

$$\text{dom}(\mathcal{Q}_{DN}^{\Omega_\varepsilon}) := \{\Psi \in \mathcal{H}^1(\Omega_\varepsilon) : \Psi = 0 \quad \text{em} \quad \partial\Omega_\varepsilon \setminus \gamma_\varepsilon(I)\}.$$



Denotamos por  $-\Delta_{DN}^{\Omega_\varepsilon}$  seu operador autoadjunto associado que também é chamado de operador Laplaciano de Dirichlet-Neumann. Grosseiramente falando, este operador age no espaço de Hilbert  $L^2(\Omega_\varepsilon)$  com condições de contorno de Dirichlet e de Neumann sobre  $\gamma$  e  $\gamma_\varepsilon$ , respectivamente. Se  $\partial I \neq \emptyset$ , valem as condições de Dirichlet nas partes restantes de  $\partial\Omega_\varepsilon$ .

É natural expressar o operador  $-\Delta_{DN}^{\Omega_\varepsilon}$  nas coordenadas  $(s, t)$  determinadas pela inversa da aplicação  $\mathcal{L}_\varepsilon$ . Assim, vamos realizar uma mudança de variáveis de forma que a região de integração em (2.3) seja mais simples e não dependa de  $\varepsilon$ .

Definimos a função  $h_\varepsilon(s, t) := 1 - \varepsilon t \kappa(s)$ ,  $(s, t) \in \Omega$ . Assim, podemos escrever

$$\det J\mathcal{L}_\varepsilon(s, t) = \varepsilon h_\varepsilon(s, t), \quad (s, t) \in \Omega.$$

Observe que (2.2) fornece uma estimativa uniforme

$$0 < 1 - \varepsilon \sup_{s \in I} |\kappa(s)| \leq h_\varepsilon(s, t) \leq 1 - \varepsilon \inf_{s \in I} |\kappa(s)| < \infty, \quad (2.4)$$

para todo  $(s, t) \in \Omega$  e para todo  $\varepsilon > 0$  suficientemente pequeno.

Considere o espaço de Hilbert  $\mathcal{H}_\varepsilon := L^2(\Omega, h_\varepsilon(s, t) ds dt)$  em que o seu produto interno  $\langle \cdot, \cdot \rangle_\varepsilon$  é dado por

$$\langle \eta, \psi \rangle_\varepsilon = \int_\Omega \overline{\eta(s, t)} \psi(s, t) h_\varepsilon(s, t) ds dt, \quad \eta, \psi \in \mathcal{H}_\varepsilon.$$

Consequentemente, a sua norma associada  $\|\cdot\|_\varepsilon$  é

$$\|\psi\|_\varepsilon^2 = \int_\Omega |\psi(s, t)|^2 h_\varepsilon(s, t) ds dt, \quad \psi \in \mathcal{H}_\varepsilon. \quad (2.5)$$

Definimos o operador linear

$$U_\varepsilon : L^2(\Omega_\varepsilon) \longrightarrow \mathcal{H}_\varepsilon$$

por

$$U_\varepsilon \Psi = \sqrt{\varepsilon} \Psi \circ \mathcal{L}_\varepsilon, \quad \Psi \in L^2(\Omega_\varepsilon).$$

Afirmamos que  $U_\varepsilon$  é unitário. De fato, denote por  $\|\cdot\|_{L^2(\Omega_\varepsilon)}$  a normal usual de  $L^2(\Omega_\varepsilon)$ . Então, pelo Teorema de Mudança de Variáveis, sendo  $\mathcal{L}_\varepsilon$  um difeomorfismo de classe  $C^1$  temos

$$\begin{aligned} \|\Psi\|_{L^2(\Omega_\varepsilon)}^2 &= \int_{\Omega_\varepsilon} |\Psi(x)|^2 dx = \int_\Omega \varepsilon |(\Psi \circ \mathcal{L}_\varepsilon)(s, t)|^2 h_\varepsilon(s, t) ds dt \\ &= \int_\Omega |\sqrt{\varepsilon}(\Psi \circ \mathcal{L}_\varepsilon)(s, t)|^2 h_\varepsilon(s, t) ds dt \\ &= \int_\Omega |U_\varepsilon \Psi(s, t)|^2 h_\varepsilon(s, t) ds dt = \|U_\varepsilon \Psi\|_\varepsilon^2, \end{aligned}$$

ou seja,

$$\|\Psi\|_{L^2(\Omega_\varepsilon)} = \|U_\varepsilon \Psi\|_\varepsilon, \quad \forall \Psi \in L^2(\Omega_\varepsilon).$$

Portanto,  $U_\varepsilon$  é uma isometria. Além disso, é fácil ver que  $U_\varepsilon$  é sobrejetor e  $U_\varepsilon^{-1} = U_\varepsilon^*$ . Sendo assim,  $U_\varepsilon$  é um operador linear unitário.

O próximo passo é aplicar a mudança de variáveis definida por  $U_\varepsilon$  à forma quadrática  $\mathcal{Q}_{DN}^{\Omega_\varepsilon}$ .

Neste caso, alguns cálculos (veja apêndice A) mostram que

$$\begin{aligned}\mathcal{Q}_\varepsilon[\Psi] &:= \mathcal{Q}_{DN}^{\Omega_\varepsilon}(U_\varepsilon^{-1}\psi) \\ &= \int_\Omega \frac{|\partial_s \psi(s,t)|^2}{h_\varepsilon(s,t)} ds dt + \int_\Omega \frac{|\partial_t \psi(s,t)|^2}{\varepsilon^2} h_\varepsilon(s,t) ds dt,\end{aligned}$$

$$\text{dom}(\mathcal{Q}_\varepsilon) = \{\psi \in \mathcal{H}^1(\Omega) : \psi = 0 \text{ em } \partial\Omega \setminus (I \times \{1\})\}.$$

Denotamos por  $H_\varepsilon$  o operador autoadjunto associado à  $\mathcal{Q}_\varepsilon$ . Desde que  $U_\varepsilon$  é unitário, os operadores  $-\Delta_{DN}^{\Omega_\varepsilon}$  e  $H_\varepsilon$  são unitariamente equivalentes. Mas precisamente, vale a relação

$$H_\varepsilon = U_\varepsilon(-\Delta_{DN}^{\Omega_\varepsilon})U_\varepsilon^* = U_\varepsilon(-\Delta_{DN}^{\Omega_\varepsilon})U_\varepsilon^{-1}.$$

Desde que  $-\Delta_{DN}^{\Omega_\varepsilon}$  é autoadjunto, a Proposição 1.16 garante que  $H_\varepsilon$  também é autoadjunto. Ainda mais,  $\sigma(H_\varepsilon) = \sigma(-\Delta_{DN}^{\Omega_\varepsilon})$ . Portanto, a partir de agora vamos a estudar o operador  $H_\varepsilon$ . Vamos trabalhar no espaço de Hilbert  $L^2(\Omega, h_\varepsilon(s,t) ds dt)$  com a norma  $\|\cdot\|_\varepsilon$  dada por (2.5).

Uma relação que pode ser útil é a seguinte. Observemos que

$$(1 - \varepsilon \sup_{s \in I} |\kappa(s)|) \int_\Omega |\psi(s,t)|^2 ds dt \leq \int_\Omega |\psi(s,t)|^2 h_\varepsilon(s,t) ds dt \leq (1 - \varepsilon \inf_{s \in I} |\kappa(s)|) \int_\Omega |\psi(s,t)|^2 ds dt,$$

ou seja,

$$\left(1 - \varepsilon \sup_{s \in I} |\kappa(s)|\right) \|\psi\|^2 \leq \|\psi\|_\varepsilon^2 \leq \left(1 - \varepsilon \inf_{s \in I} |\kappa(s)|\right) \|\psi\|^2,$$

em que  $\|\cdot\|$  denota a norma usual de  $L^2(\Omega)$ . Portanto,

$$1 - \varepsilon \sup_{s \in I} |\kappa(s)| \leq \frac{\|\psi\|_\varepsilon^2}{\|\psi\|^2} \leq 1 - \varepsilon \inf_{s \in I} |\kappa(s)|, \quad \forall \psi \in \mathcal{H}_\varepsilon, \psi \neq 0. \quad (2.6)$$

A razão entre as normas age como  $1 + \mathcal{O}(\varepsilon)$ , quando  $\varepsilon \rightarrow 0$ .

## Capítulo 3

# Convergência espectral

Seja  $-\Delta_{DN}^{\Omega_\varepsilon}$  o operador Laplaciano de Dirichlet-Neumann definido na Seção 2.2 do Capítulo 2. Consideremos a sequência  $\{\lambda_j(-\Delta_{DN}^{\Omega_\varepsilon})\}_{j=1}^\infty$  crescente correspondente ao problema espectral de  $-\Delta_{DN}^{\Omega_\varepsilon}$  dada pelo Princípio Max-Min. Relembremos que cada  $\lambda_j(-\Delta_{DN}^{\Omega_\varepsilon})$  representa ou um autovalor (discreto, repetido de acordo com a sua multiplicidade) inferior ao espectro essencial ou o ínfimo do espectro essencial de  $-\Delta_{DN}^{\Omega_\varepsilon}$ . Neste capítulo, estabelecemos um limite superior e um limite inferior para os valores da sequência  $\{\lambda_j(-\Delta_{DN}^{\Omega_\varepsilon})\}_{j=1}^\infty$ .

Ao final do capítulo é apresentado um dos principais resultados do trabalho, assim como a demonstração de (1); veja a Introdução deste trabalho.

### 3.1 Limite superior

Seja  $\psi$  uma função teste no domínio  $\text{dom}(\mathcal{Q}_\varepsilon)$  da forma

$$\psi(s, t) := \varphi(s)\chi_1(t), \quad (3.1)$$

em que  $\chi_1(t) := \sqrt{2}\sin(\pi t/2)$  e  $\varphi \in \mathcal{H}_0^1(I)$ . Note que  $\chi_1$  é a autofunção normalizada correspondente ao menor autovalor do operador Laplaciano unidimensional  $-\Delta_{DN}^{(0,1)}$  sujeito às condições de contorno de Dirichlet e de Neumann em 0 e 1, respectivamente.

Agora, vamos analisar a diferença  $\mathcal{Q}_\varepsilon[\psi] - (\pi/2\varepsilon)^2\|\psi\|_\varepsilon^2$  para funções da forma (3.1). Observemos que

$$\begin{aligned} \mathcal{Q}_\varepsilon[\psi] - \left(\frac{\pi}{2\varepsilon}\right)^2\|\psi\|_\varepsilon^2 &= \int_\Omega \frac{|\partial_s \psi(s, t)|^2}{h_\varepsilon(s, t)} ds dt + \int_\Omega \frac{|\partial_t \psi(s, t)|^2}{\varepsilon^2} h_\varepsilon(s, t) ds dt - \left(\frac{\pi}{2\varepsilon}\right)^2\|\psi\|_\varepsilon^2 \\ &= \int_\Omega \frac{|\varphi'(s)\chi_1(t)|^2}{h_\varepsilon(s, t)} ds dt + \int_\Omega \frac{|\varphi(s)\chi_1'(t)|^2}{\varepsilon^2} h_\varepsilon(s, t) ds dt \\ &\quad - \left(\frac{\pi}{2\varepsilon}\right)^2 \int_\Omega |\varphi(s)\chi_1(t)|^2 h_\varepsilon(s, t) ds dt. \end{aligned} \quad (3.2)$$

Vamos analisar a segunda integral da última igualdade com mais detalhes:

$$\begin{aligned}
\int_{\Omega} \frac{|\varphi(s)\chi_1'(t)|^2}{\varepsilon^2} h_{\varepsilon}(s,t) ds dt &= \frac{1}{\varepsilon^2} \int_I \left( \int_0^1 |\chi_1'(t)|^2 h_{\varepsilon}(s,t) dt \right) |\varphi(s)|^2 ds \\
&= \frac{1}{\varepsilon^2} \int_I \left( \int_0^1 |\chi_1'(t)|^2 (1 - \varepsilon t \kappa(s)) dt \right) |\varphi(s)|^2 ds \\
&= \frac{1}{\varepsilon^2} \int_I \left( \int_0^1 |\chi_1'(t)|^2 dt \right) |\varphi(s)|^2 ds - \frac{1}{\varepsilon} \int_I \left( \int_0^1 |\chi_1'(t)|^2 t dt \right) \kappa(s) |\varphi(s)|^2 ds \\
&= \left( \frac{\pi}{2\varepsilon} \right)^2 \int_I \left( \int_0^1 |\chi_1(t)|^2 dt \right) |\varphi(s)|^2 ds - \frac{1}{\varepsilon} \int_I \left( \int_0^1 |\chi_1'(t)|^2 t dt \right) \kappa(s) |\varphi(s)|^2 ds.
\end{aligned}$$

Na última igualdade, foi realizada uma integração por partes e usado o fato de que

$$-\chi_1''(t) = \left( \frac{\pi}{2} \right)^2 \chi_1(t), \quad t \in (0,1). \quad (3.3)$$

Agora, vamos analisar a última integral de (3.2):

$$\begin{aligned}
-\left( \frac{\pi}{2\varepsilon} \right)^2 \int_{\Omega} |\varphi(s)\chi_1(t)|^2 h_{\varepsilon}(s,t) ds dt &= -\left( \frac{\pi}{2\varepsilon} \right)^2 \int_{\Omega} |\varphi(s)\chi_1(t)|^2 (1 - \varepsilon t \kappa(s)) ds dt \\
&= -\left( \frac{\pi}{2\varepsilon} \right)^2 \left[ \int_{\Omega} |\varphi(s)\chi_1(t)|^2 ds dt + \int_{\Omega} |\varphi(s)\chi_1(t)|^2 \varepsilon t \kappa(s) ds dt \right] \\
&= -\left( \frac{\pi}{2\varepsilon} \right)^2 \int_I \left( \int_0^1 |\chi_1(t)|^2 dt \right) |\varphi(s)|^2 ds \\
&\quad + \left( \frac{\pi}{2\varepsilon} \right)^2 \varepsilon \int_I \left( \int_0^1 |\chi_1(t)|^2 t dt \right) \kappa(s) |\varphi(s)|^2 ds.
\end{aligned}$$

Sendo assim,

$$\begin{aligned}
\mathcal{Q}_{\varepsilon}[\psi] - \left( \frac{\pi}{2\varepsilon} \right)^2 \|\psi\|_{\varepsilon}^2 &= \int_I \left( \int_0^1 \frac{|\chi_1(t)|^2}{h_{\varepsilon}(s,t)} dt \right) |\varphi'(s)|^2 ds + \left( \frac{\pi}{2\varepsilon} \right)^2 \int_I \left( \int_0^1 |\chi_1(t)|^2 dt \right) |\varphi(s)|^2 ds \\
&\quad - \frac{1}{\varepsilon} \int_I \left( \int_0^1 |\chi_1'(t)|^2 t dt \right) \kappa(s) |\varphi(s)|^2 ds - \left( \frac{\pi}{2\varepsilon} \right)^2 \int_I \left( \int_0^1 |\chi_1(t)|^2 dt \right) |\varphi(s)|^2 ds \\
&\quad + \left( \frac{\pi}{2\varepsilon} \right)^2 \varepsilon \int_I \left( \int_0^1 |\chi_1(t)|^2 t dt \right) \kappa(s) |\varphi(s)|^2 ds \\
&= \int_I \left( \int_0^1 \frac{|\chi_1(t)|^2}{h_{\varepsilon}(s,t)} dt \right) |\varphi'(s)|^2 ds - \frac{1}{\varepsilon} \int_I \left( \int_0^1 |\chi_1'(t)|^2 t dt \right) \kappa(s) |\varphi(s)|^2 ds \\
&\quad + \left( \frac{\pi}{2\varepsilon} \right)^2 \varepsilon \int_I \left( \int_0^1 |\chi_1(t)|^2 t dt \right) \kappa(s) |\varphi(s)|^2 ds \\
&= \int_I \left( \int_0^1 \frac{|\chi_1(t)|^2}{h_{\varepsilon}(s,t)} dt \right) |\varphi'(s)|^2 ds \\
&\quad + \int_I \left[ \int_0^1 \left( \left( \frac{\pi}{2} \right)^2 |\chi_1(t)|^2 t - |\chi_1'(t)|^2 t \right) dt \right] \frac{\kappa(s)}{\varepsilon} |\varphi(s)|^2 ds.
\end{aligned}$$

Desde que

$$\int_0^1 \left( \left( \frac{\pi}{2} \right)^2 |\chi_1(t)|^2 t - |\chi_1'(t)|^2 t \right) dt = 1,$$

segue que

$$\mathcal{Q}_\varepsilon[\psi] - \left(\frac{\pi}{2\varepsilon}\right)^2 \|\psi\|_\varepsilon^2 = \int_I \left( \int_0^1 \frac{|\chi_1(t)|^2}{h_\varepsilon(s,t)} dt \right) |\varphi'(s)|^2 ds + \int_I \frac{\kappa(s)}{\varepsilon} |\varphi(s)|^2 ds.$$

Por simplicidade de notação, definimos

$$a_\varepsilon(s) := \int_0^1 \frac{|\chi_1(t)|^2}{h_\varepsilon(s,t)} dt,$$

e escrevemos

$$\mathcal{Q}_\varepsilon[\psi] - \left(\frac{\pi}{2\varepsilon}\right)^2 \|\psi\|_\varepsilon^2 = \int_I \left( a_\varepsilon(s) |\varphi'(s)|^2 + \frac{\kappa(s)}{\varepsilon} |\varphi(s)|^2 \right) ds.$$

Agora, observemos que, para cada  $s \in I$ ,

$$\begin{aligned} a_\varepsilon(s) &\leq \sup_{(s,t) \in I \times (0,1)} \frac{1}{h_\varepsilon(s,t)} \int_0^1 |\chi_1(t)|^2 dt \\ &= \sup_{(s,t) \in I \times (0,1)} \frac{1}{h_\varepsilon(s,t)} \stackrel{(2.4)}{\leq} \frac{1}{1 - \varepsilon \sup_{s \in I} \kappa(s)}, \end{aligned}$$

ou seja,

$$\sup_{s \in I} a_\varepsilon(s) \leq \frac{1}{1 - \varepsilon \sup_{s \in I} \kappa(s)}. \quad (3.4)$$

Desde que  $\kappa \in L^\infty(I)$  e  $\|\varphi\|_{L^2(I)} = \|\psi\|$  (relembremos que  $\|\cdot\|$  denota a norma usual em  $L^2(\Omega)$ ), podemos escrever

$$\begin{aligned} \frac{\mathcal{Q}_\varepsilon[\psi]}{\|\psi\|_\varepsilon^2} - \left(\frac{\pi}{2\varepsilon}\right)^2 &= \frac{1}{\|\psi\|_\varepsilon^2} \left[ \int_I \left( a_\varepsilon(s) |\varphi'(s)|^2 + \frac{\kappa(s)}{\varepsilon} |\varphi(s)|^2 \right) ds \right] \\ &\stackrel{(2.6)}{\leq} \frac{1}{(1 - \varepsilon \sup \kappa(s)) \|\psi\|^2} \left[ \int_I \left( a_\varepsilon(s) |\varphi'(s)|^2 + \frac{\kappa(s)}{\varepsilon} |\varphi(s)|^2 \right) ds \right] \\ &= \frac{1}{(1 - \varepsilon \sup \kappa(s)) \|\varphi\|_{L^2(I)}^2} \left[ \int_I \left( a_\varepsilon(s) |\varphi'(s)|^2 + \frac{\kappa(s)}{\varepsilon} |\varphi(s)|^2 \right) ds \right] \\ &\stackrel{(3.4)}{\leq} \frac{1}{(1 - \varepsilon \sup \kappa(s))^2} \left[ \frac{\int_I |\varphi'(s)|^2 ds}{\int_I |\varphi(s)|^2 ds} + (1 - \varepsilon \sup \kappa(s)) \frac{\int_I \frac{\kappa(s)}{\varepsilon} |\varphi(s)|^2 ds}{\int_I |\varphi(s)|^2 ds} \right] \\ &= \frac{1}{(1 - \varepsilon \sup \kappa(s))^2} \frac{\int_I \left( |\varphi'(s)|^2 + \frac{\kappa(s)}{\varepsilon} |\varphi(s)|^2 \right) ds}{\int_I |\varphi(s)|^2 ds} - \frac{\sup \kappa(s)}{(1 - \varepsilon \sup \kappa(s))^2} \frac{\int_I \kappa(s) |\varphi(s)|^2 ds}{\int_I |\varphi(s)|^2 ds}. \end{aligned}$$

Agora, faremos mais algumas estimativas que serão úteis. Novamente, desde que  $\kappa \in L^\infty(I)$ , existe uma constante  $K > 0$  tal que

$$\left| -\frac{\sup \kappa(s)}{(1 - \varepsilon \sup \kappa(s))^2} \frac{\int_I \kappa(s) |\varphi(s)|^2 ds}{\int_I |\varphi(s)|^2 ds} \right| \leq \left| \frac{(\sup \kappa(s))^2}{(1 - \varepsilon \sup \kappa(s))^2} \right| \leq K$$

e

$$\left| \frac{2\varepsilon \sup \kappa(s) - (\varepsilon \sup \kappa(s))^2}{(1 - \varepsilon \sup \kappa(s))^2} \right| = \left| \frac{2 \sup \kappa(s) - \varepsilon (\sup \kappa(s))^2}{(1 - \varepsilon \sup \kappa(s))^2} \right| \varepsilon \leq K\varepsilon.$$

Assim, para  $\varepsilon > 0$  suficientemente pequeno,

$$\begin{aligned} & -\frac{\sup \kappa(s)}{(1 - \varepsilon \sup \kappa(s))^2} \frac{\int_I \kappa(s) |\varphi(s)|^2 ds}{\int_I |\varphi(s)|^2 ds} = \mathcal{O}(1), \\ & \frac{1}{(1 - \varepsilon \sup \kappa(s))^2} = 1 + \frac{2\varepsilon \sup \kappa(s) - (\varepsilon \sup \kappa(s))^2}{(1 - \varepsilon \sup \kappa(s))^2} = 1 + \mathcal{O}(\varepsilon). \end{aligned}$$

Portanto,

$$\frac{\mathcal{Q}_\varepsilon[\psi]}{\|\psi\|_\varepsilon^2} - \left(\frac{\pi}{2\varepsilon}\right)^2 \leq [1 + \mathcal{O}(\varepsilon)] \frac{\int_I \left(|\varphi'(s)|^2 + \frac{\kappa(s)}{\varepsilon} |\varphi(s)|^2\right) ds}{\int_I |\varphi(s)|^2 ds} + \mathcal{O}(1),$$

quando  $\varepsilon \rightarrow 0$ .

Consideremos agora a forma quadrática unidimensional

$$\mathcal{Q}_0[\varphi] = \int_I |\varphi'(s)|^2 ds + \int_I \frac{\kappa(s)}{\varepsilon} |\varphi(s)|^2 ds,$$

$\text{dom}(\mathcal{Q}_0) := \mathcal{H}_0^1(I)$ . Seu operador autoadjunto associado é denotado por  $H_0$ . Mais precisamente,  $H_0 = -\Delta_D^I + \kappa/\varepsilon$ , em que  $\Delta_D^I$  é o operador Laplaciano de Dirichlet unidimensional em  $I$ . Considere a sequência  $\{\lambda_j(H_0)\}_{j=1}^\infty$  dada pelo Princípio Max-Min. Então, pelo Lema 1.45, para cada  $j \geq 1$ ,

$$\begin{aligned} \lambda_j(H_\varepsilon) - \left(\frac{\pi}{2\varepsilon}\right)^2 & \leq [1 + \mathcal{O}(\varepsilon)] \lambda_j(H_0) + \mathcal{O}(1) \\ & = \lambda_j(H_0) + \mathcal{O}(1) \\ & = \lambda_j\left(-\Delta_D^I + \frac{\kappa}{\varepsilon}\right) + \mathcal{O}(1), \end{aligned} \tag{3.5}$$

quando  $\varepsilon \rightarrow 0$ .

### 3.2 Limite inferior

Para cada  $s \in I$  fixo, considere a forma quadrática

$$\tilde{\mathcal{Q}}_{2,\varepsilon}[\psi] = \int_0^1 |\partial_t \psi(s, t)|^2 h_\varepsilon(s, t) dt, \quad \psi \in \text{dom}(\mathcal{Q}_\varepsilon),$$

agindo no no espaço de Hilbert  $L^2((0, 1), h_\varepsilon(s, t) dt)$ . Denotemos por  $\tilde{H}_{2,\varepsilon}$  seu operador autoadjunto associado.

Seja  $\lambda_1(\tilde{H}_{2,\varepsilon})$  o primeiro autovalor de  $\tilde{H}_{2,\varepsilon}$ . O Princípio Max-Min garante que

$$\int_\Omega \frac{|\partial_t \psi(s, t)|^2}{\varepsilon^2} h_\varepsilon(s, t) ds dt \geq \int_\Omega \frac{\lambda_1(\tilde{H}_{2,\varepsilon})}{\varepsilon^2} |\psi(s, t)|^2 h_\varepsilon(s, t) ds dt, \tag{3.6}$$

para toda  $\psi \in \text{dom}(\mathcal{Q}_\varepsilon)$ .

Voltando à forma quadrática original  $\mathcal{Q}_\varepsilon$ , (3.6) implica

$$\mathcal{Q}_\varepsilon[\psi] \geq \int_\Omega \frac{|\partial_s \psi(s, t)|^2}{h_\varepsilon(s, t)} ds dt + \int_\Omega \frac{\lambda_1(\tilde{H}_{2, \varepsilon})}{\varepsilon^2} |\psi(s, t)|^2 h_\varepsilon(s, t) ds dt, \quad (3.7)$$

para toda  $\psi \in \text{dom}(\mathcal{Q}_\varepsilon)$ .

Para continuar com as estimativas vamos precisar de um problema auxiliar. Seja  $\nu(\varepsilon) \equiv \lambda_1(T_\varepsilon)$  o menor autovalor do operador  $T_\varepsilon$ , agindo no espaço de Hilbert  $L^2((0, 1), (1 - \varepsilon t) dt)$ , definido por

$$(T_\varepsilon \chi)(t) := -\chi''(t) + \frac{\varepsilon}{1 - \varepsilon t} \chi'(t),$$

$$\chi \in \text{dom } T_\varepsilon := \{\chi \in \mathcal{H}^2(0, 1) : \chi(0) = \chi'(1) = 0\}.$$

Note que  $\nu(0) = \lambda_1(T_0) = (\pi/2)^2$  e sua autofunção associada é  $\chi_1$  (relembre que  $\chi_1(t) = \sqrt{2} \sin(\pi t/2)$ ). Da Teoria de Perturbação Analítica, tem-se

$$\nu(\varepsilon) = \nu(0) + \nu^{(1)}\varepsilon + \mathcal{O}(\varepsilon^2),$$

quando  $\varepsilon \rightarrow 0$ , em que

$$\begin{aligned} \nu^{(1)} &= \left\langle \frac{\chi_1'(t)}{1 - \varepsilon t}, \chi_1(t) \right\rangle = \int_0^1 \frac{\overline{\chi_1'(t)}}{1 - \varepsilon t} \chi_1(t) (1 - \varepsilon t) dt \\ &= \int_0^1 \frac{\sqrt{2}}{2} \pi \cos\left(\frac{\pi}{2}t\right) \sqrt{2} \sin\left(\frac{\pi}{2}t\right) dt = 1. \end{aligned}$$

Portanto,

$$\nu(\varepsilon) = \left(\frac{\pi}{2}\right)^2 + \varepsilon + \mathcal{O}(\varepsilon^2), \quad (3.8)$$

quando  $\varepsilon \rightarrow 0$ , (veja [16] para mais detalhes).

Usando a expansão (3.8) para  $\lambda_1(\tilde{H}_\varepsilon^2) = \nu(\varepsilon \kappa(s))$ , tem-se

$$\begin{aligned} \mathcal{Q}_\varepsilon[\psi] - \left(\frac{\pi}{2\varepsilon}\right)^2 \|\psi\|_\varepsilon^2 &\geq \int_\Omega \frac{|\partial_s \psi(s, t)|^2}{h_\varepsilon(s, t)} ds dt + \left(\frac{\pi}{2\varepsilon}\right)^2 \int_\Omega |\psi(s, t)|^2 h_\varepsilon(s, t) ds dt \\ &\quad + \int_\Omega \frac{\varepsilon \kappa(s) + \mathcal{O}((\varepsilon \kappa(s))^2)}{\varepsilon^2} |\psi(s, t)|^2 h_\varepsilon(s, t) ds dt - \left(\frac{\pi}{2\varepsilon}\right)^2 \|\psi\|_\varepsilon^2 \\ &= \int_\Omega \frac{|\partial_s \psi(s, t)|^2}{h_\varepsilon(s, t)} ds dt + \int_\Omega \left(\frac{\kappa(s)}{\varepsilon} + \mathcal{O}((\kappa(s))^2)\right) |\psi(s, t)|^2 h_\varepsilon(s, t) ds dt. \end{aligned}$$

Desde que  $\kappa \in L^\infty(I)$ , existe uma constante  $C > 0$  tal que

$$\mathcal{Q}_\varepsilon[\psi] - \left(\frac{\pi}{2\varepsilon}\right)^2 \|\psi\|_\varepsilon^2 \geq \int_\Omega \left( \frac{|\partial_s \psi(s, t)|^2}{1 - \varepsilon \inf \kappa(s)} + \frac{\kappa(s)}{\varepsilon} |\psi(s, t)|^2 + C |\psi(s, t)|^2 \right) ds dt.$$

Além disso,

$$\begin{aligned}
\frac{\mathcal{Q}_\varepsilon[\psi]}{\|\psi\|_\varepsilon^2} - \left(\frac{\pi}{2\varepsilon}\right)^2 &\geq \frac{1}{\|\psi\|_\varepsilon^2} \int_\Omega \left( \frac{|\partial_s \psi(s,t)|^2}{1 - \varepsilon \inf \kappa(s)} + \frac{\kappa(s)}{\varepsilon} |\psi(s,t)|^2 + C |\psi(s,t)|^2 \right) ds dt \\
&\stackrel{(2.6)}{\geq} \frac{1}{(1 - \varepsilon \inf \kappa(s)) \|\psi\|_\varepsilon^2} \left[ \int_\Omega \left( \frac{|\partial_s \psi(s,t)|^2}{1 - \varepsilon \inf \kappa(s)} + \frac{\kappa(s)}{\varepsilon} |\psi(s,t)|^2 + C |\psi(s,t)|^2 \right) ds dt \right] \\
&= \frac{1}{(1 - \varepsilon \inf \kappa(s))^2} \frac{\int_\Omega |\partial_s \psi(s,t)|^2 ds dt}{\int_\Omega |\psi(s,t)|^2 ds dt} + \frac{1 - \varepsilon \inf \kappa(s)}{(1 - \varepsilon \inf \kappa(s))^2} \frac{\int_\Omega \frac{\kappa(s)}{\varepsilon} |\psi(s,t)|^2 ds dt}{\int_\Omega |\psi(s,t)|^2 ds dt} \\
&\quad + \frac{C}{1 - \varepsilon \inf \kappa(s)} \frac{\int_\Omega |\psi(s,t)|^2 ds dt}{\int_\Omega |\psi(s,t)|^2 ds dt} \\
&= \frac{1}{(1 - \varepsilon \inf \kappa(s))^2} \frac{\int_\Omega \left( |\partial_s \psi(s,t)|^2 + \frac{\kappa(s)}{\varepsilon} |\psi(s,t)|^2 \right) ds dt}{\int_\Omega |\psi(s,t)|^2 ds dt} \\
&\quad - \frac{\inf \kappa(s)}{(1 - \varepsilon \inf \kappa(s))^2} \frac{\int_\Omega \kappa(s) |\psi(s,t)|^2 ds dt}{\int_\Omega |\psi(s,t)|^2 ds dt} + \frac{C}{1 - \varepsilon \inf \kappa(s)}.
\end{aligned}$$

Novamente, desde que  $\kappa \in L^\infty(I)$ , a constante  $C > 0$  também pode ser tomada de forma que

$$\begin{aligned}
\left| -\frac{\inf \kappa(s)}{(1 - \varepsilon \inf \kappa(s))^2} \frac{\int_\Omega \kappa(s) |\psi(s,t)|^2 ds dt}{\int_\Omega |\psi(s,t)|^2 ds dt} \right| &\leq \left| \frac{\inf \kappa(s)}{(1 - \varepsilon \inf \kappa(s))^2} \sup \kappa(s) \frac{\int_\Omega |\psi(s,t)|^2 ds dt}{\int_\Omega |\psi(s,t)|^2 ds dt} \right| \\
&\leq \left| \frac{\inf \kappa(s) \sup \kappa(s)}{(1 - \varepsilon \inf \kappa(s))^2} \right| \leq C.
\end{aligned}$$

Logo,

$$-\frac{\inf \kappa(s)}{(1 - \varepsilon \inf \kappa(s))^2} \frac{\int_\Omega \kappa(s) |\psi(s,t)|^2 ds dt}{\int_\Omega |\psi(s,t)|^2 ds dt} = \mathcal{O}(1),$$

quando  $\varepsilon \rightarrow 0$ . Por outro lado, também temos

$$\frac{C}{1 - \varepsilon \inf \kappa(s)} = \mathcal{O}(1),$$

quando  $\varepsilon \rightarrow 0$ . Assim,

$$\begin{aligned}
\frac{\mathcal{Q}_\varepsilon[\psi]}{\|\psi\|_\varepsilon^2} - \left(\frac{\pi}{2\varepsilon}\right)^2 &\geq [1 + \mathcal{O}(\varepsilon)] \frac{\int_\Omega \left( |\partial_s \psi(s,t)|^2 + \frac{\kappa(s)}{\varepsilon} |\psi(s,t)|^2 \right) ds dt}{\int_\Omega |\psi(s,t)|^2 ds dt} + \mathcal{O}(1) + \mathcal{O}(1) \\
&= [1 + \mathcal{O}(\varepsilon)] \frac{\int_\Omega \left( |\partial_s \psi(s,t)|^2 + \frac{\kappa(s)}{\varepsilon} |\psi(s,t)|^2 \right) ds dt}{\int_\Omega |\psi(s,t)|^2 ds dt} + \mathcal{O}(1),
\end{aligned}$$

quando  $\varepsilon \rightarrow 0$ .

Note que a forma quadrática

$$\tilde{\mathcal{Q}}_0[\psi] := \int_\Omega \left( |\partial_s \psi(s,t)|^2 + \frac{\kappa(s)}{\varepsilon} |\psi(s,t)|^2 \right) ds dt, \quad \psi \in \text{dom}(\mathcal{Q}_\varepsilon),$$

pode ser identificada com a forma quadrática unidimensional associada ao operador  $H_0$ . Logo, pelo Lema 1.45, tem-se, para cada  $j \geq 1$ ,

$$\lambda_j(H_\varepsilon) - \left(\frac{\pi}{2\varepsilon}\right)^2 \geq [1 + \mathcal{O}(\varepsilon)] \lambda_j(H_0) + \mathcal{O}(1) = \lambda_j(H_0) + \mathcal{O}(1),$$



quando  $\varepsilon \rightarrow 0$ . Portanto,

$$\lambda_j(H_\varepsilon) - \left(\frac{\pi}{2\varepsilon}\right)^2 \geq \lambda_j\left(-\Delta_D^I + \frac{\kappa}{\varepsilon}\right) + \mathcal{O}(1), \quad (3.9)$$

quando  $\varepsilon \rightarrow 0$ .

Das estimativas (3.5) e (3.9) para os valores da sequência  $\{\lambda_j(H_\varepsilon)\}_{j=1}^\infty$ , e do fato que os operadores  $-\Delta_{DN}^{\Omega_\varepsilon}$  e  $H_\varepsilon$  são unitariamente equivalentes, tem-se o seguinte resultado:

**Teorema 3.1.** *Para todo  $j \geq 1$ ,*

$$\lambda_j(-\Delta_{DN}^{\Omega_\varepsilon}) = \left(\frac{\pi}{2\varepsilon}\right)^2 + \lambda_j\left(-\Delta_D^I + \frac{\kappa}{\varepsilon}\right) + \mathcal{O}(1), \quad \text{quando } \varepsilon \rightarrow 0.$$

**Observação 7.** O Teorema .6 do Apêndice C garante que, para todo  $j \geq 1$ ,

$$\lambda_j\left(-\Delta_D^I + \frac{\kappa}{\varepsilon}\right) = \frac{\inf \kappa}{\varepsilon} + o(\varepsilon^{-1}), \quad \text{quando } \varepsilon \rightarrow 0. \quad (3.10)$$

Como uma nova versão do Teorema 3.1, podemos afirmar que, para todo  $j \geq 1$ ,

$$\lambda_j(-\Delta_{DN}^{\Omega_\varepsilon}) = \left(\frac{\pi}{2\varepsilon}\right)^2 + \frac{\inf \kappa}{\varepsilon} + o(\varepsilon^{-1}), \quad \text{quando } \varepsilon \rightarrow 0.$$

Assim, obtemos o comportamento assintótico dado por (1) na introdução deste trabalho.

## Capítulo 4

# Convergência uniforme dos resolventes

Neste capítulo vamos estudar com detalhes o mecanismo por trás da convergência dos valores da sequência  $\{\lambda_j(-\Delta_{DN}^{\Omega_\varepsilon})\}_{j=1}^\infty$ . Encontraremos um comportamento assintótico para esses valores, semelhante ao encontrado no Capítulo 3, mas por outras estratégias. Mostraremos que a convergência da sequência  $\{\lambda_j(-\Delta_{DN}^{\Omega_\varepsilon})\}_{j=1}^\infty$  pode ser obtida como consequência de uma convergência em norma dos resolventes dos operadores  $\{-\Delta_{DN}^{\Omega_\varepsilon}\}_{\varepsilon>0}$ .

### 4.1 Apresentação do resultado principal

Na Seção 2.2 do Capítulo 2 identificamos o operador  $-\Delta_{DN}^{\Omega_\varepsilon}$  com o operador  $H_\varepsilon$  agindo no espaço de Hilbert  $\mathcal{H}_\varepsilon$ . No entanto, a partir de agora, será mais conveniente trabalharmos com operadores agindo sobre um espaço de Hilbert "fixado", ou seja, que não depende do parâmetro  $\varepsilon$ . Relembremos que  $\mathcal{H}_\varepsilon = L^2(\Omega, h_\varepsilon(s, t) ds dt)$ . Definimos o espaço de Hilbert

$$\mathcal{H}_0 := L^2(\Omega),$$

com a métrica usual de  $\mathbb{R}^2$ . Seja  $\hat{U}_\varepsilon : \mathcal{H}_\varepsilon \rightarrow \mathcal{H}_0$  o operador linear limitado dado por

$$\hat{U}_\varepsilon \psi = \sqrt{h_\varepsilon} \psi.$$

Observemos que  $\hat{U}_\varepsilon$  é unitário. Assim, para cada  $\varepsilon > 0$  suficientemente pequeno, definimos o operador

$$\hat{H}_\varepsilon := \hat{U}_\varepsilon H_\varepsilon \hat{U}_\varepsilon^* = \hat{U}_\varepsilon H_\varepsilon \hat{U}_\varepsilon^{-1}.$$

Ao longo deste capítulo vamos supor que

$$\kappa' \in L^\infty(I).$$

Consideremos também o operador desacoplado

$$\hat{H}_0 := \left( -\Delta_D^I + \frac{\kappa}{\varepsilon} \right) \otimes \mathbf{1} + \mathbf{1} \otimes \left( -\frac{1}{\varepsilon^2} \Delta_{DN}^{(0,1)} \right), \quad \text{em } L^2(I) \otimes L^2(0, 1).$$

A notação com o índice 0 é somente uma convenção de notação pois  $\hat{H}_0$  ainda depende de  $\varepsilon$ .

Recordemos que o mapa

$$(\psi \otimes \varphi)(s, t) \mapsto \psi(s)\varphi(t), \quad \psi \in L^2(I), \varphi \in L^2(0, 1), \quad (4.1)$$

pode ser estendido a um isomorfismo isométrico, em que

$$\|\psi \otimes \varphi\|_{L^2(I) \otimes L^2(0,1)} = \|\psi\|_{L^2(I)} \|\varphi\|_{L^2(0,1)}, \quad \forall \psi \in L^2(I), \forall \varphi \in L^2(0, 1).$$

Logo, podemos identificar  $\hat{H}_0$  como um operador em  $\mathcal{H}_0$ .

Observemos que

$$\hat{H}_0 \geq \left(\frac{\pi}{2\varepsilon}\right)^2 + \frac{\inf \kappa}{\varepsilon}. \quad (4.2)$$

Relembrando as considerações da Seção 3.2 do Capítulo 3, também temos

$$\hat{H}_\varepsilon \geq \frac{\nu(\varepsilon\kappa)}{\varepsilon^2} \geq \frac{\nu(\varepsilon \inf \kappa)}{\varepsilon^2} \stackrel{(3.8)}{=} \left(\frac{\pi}{2\varepsilon}\right)^2 + \frac{\inf \kappa}{\varepsilon} + \mathcal{O}(1). \quad (4.3)$$

A primeira desigualdade foi estabelecida pelo operador  $H_\varepsilon$  e a desigualdade em (3.7). A segunda desigualdade é devido à monotonicidade da aplicação  $\varepsilon \mapsto \nu(\varepsilon)$ ; veja [11].

Fixando um número qualquer

$$\kappa > -\inf \kappa, \quad (4.4)$$

temos

$$\mathcal{O}(1) \leq \hat{H}_\varepsilon - \left(\frac{\pi}{2\varepsilon}\right)^2 - \frac{\inf \kappa}{\varepsilon} \stackrel{(4.4)}{<} \hat{H}_\varepsilon - \left(\frac{\pi}{2\varepsilon}\right)^2 + \frac{\kappa}{\varepsilon}. \quad (4.5)$$

Assim,  $\hat{H}_0 - (\pi/2\varepsilon)^2 + \kappa/\varepsilon$  e  $\hat{H}_\varepsilon - (\pi/2\varepsilon)^2 + \kappa/\varepsilon$  são operadores positivos, para todo  $\varepsilon > 0$  suficientemente pequeno. Agora estamos prontos para enunciar um dos resultados principais deste capítulo.

**Teorema 4.1.** *Em adição à injectividade de  $\mathcal{L}_\varepsilon$  e a limitação de  $\kappa$ , suponhamos  $\kappa' \in L^\infty(I)$ . Então, existem constantes positivas  $\varepsilon_0$  e  $C_0$ , dependendo somente de  $\kappa$  e do supremo das normas de  $\kappa$  e  $\kappa'$ , tais que*

$$\left\| \left[ \hat{H}_\varepsilon - \left(\frac{\pi}{2\varepsilon}\right)^2 + \frac{\kappa}{\varepsilon} \right]^{-1} - \left[ \hat{H}_0 - \left(\frac{\pi}{2\varepsilon}\right)^2 + \frac{\kappa}{\varepsilon} \right]^{-1} \right\| \leq C_0 \varepsilon^{3/2},$$

para todo  $\varepsilon \in (0, \varepsilon_0)$ .

A demonstração deste teorema requer vários passos que serão apresentados nas próximas seções.

## 4.2 Formas quadráticas

Nesta seção vamos explicitar a forma quadrática associada ao operador  $\hat{H}_\varepsilon$ . Para isso, definimos

$$\hat{\mathcal{Q}}_\varepsilon[\psi] := \mathcal{Q}_\varepsilon[\hat{U}_\varepsilon^{-1}\psi], \quad \psi \in \text{dom}(\hat{\mathcal{Q}}_\varepsilon) := \hat{U}_\varepsilon \text{dom}(\mathcal{Q}_\varepsilon).$$

Desde que os domínios  $\text{dom}(\hat{\mathcal{Q}}_\varepsilon)$  coincidem e não dependem de  $\varepsilon$ , denotamos  $\text{dom}(\hat{\mathcal{Q}}_\varepsilon) = \hat{U}_\varepsilon \text{dom}(\mathcal{Q}_\varepsilon) := \mathcal{D}$ . Além disso, desde que  $\hat{U}_\varepsilon^{-1}\psi = h_\varepsilon^{-1/2}\psi$ , alguns cálculos (veja apêndice

B) mostram que, para cada  $\psi \in \mathcal{D}$ ,

$$\begin{aligned}\hat{\mathcal{Q}}_\varepsilon[\psi] &= \mathcal{Q}_\varepsilon[\hat{U}_\varepsilon^{-1}\psi] = \mathcal{Q}_\varepsilon[h_\varepsilon^{-1/2}\psi] \\ &= \int_\Omega \frac{|\partial_s(h_\varepsilon^{-1/2}(s,t)\psi(s,t))|^2}{h_\varepsilon(s,t)} dsdt + \int_\Omega \frac{|\partial_t(h_\varepsilon^{-1/2}(s,t)\psi(s,t))|^2}{\varepsilon^2} h_\varepsilon(s,t) dsdt \\ &= \int_\Omega \left[ \frac{|\partial_s\psi(s,t)|^2}{h_\varepsilon^2(s,t)} + \frac{|\partial_t\psi(s,t)|^2}{\varepsilon^2} + (V_\varepsilon^1(s,t) - V_\varepsilon^3(s,t))|\psi(s,t)|^2 + V_\varepsilon^2(s,t)\Re(\overline{\psi(s,t)}\partial_s\psi(s,t)) \right] dsdt \\ &+ \int_{I \times \{1\}} v_\varepsilon(s,t)|\psi(s,t)|^2 dsdt,\end{aligned}$$

em que

$$\begin{aligned}V_\varepsilon^1(s,t) &:= \frac{1}{4} \frac{\varepsilon^2 t^2 (\kappa'(s))^2}{h_\varepsilon^4(s,t)}, & V_\varepsilon^2(s,t) &:= \frac{\varepsilon t \kappa'(s)}{h_\varepsilon^3(s,t)}, \\ V_\varepsilon^3(s,t) &:= \frac{1}{4} \frac{(\kappa(s))^2}{h_\varepsilon^2(s,t)}, & v_\varepsilon(s,t) &:= \frac{1}{2\varepsilon} \frac{\kappa(s)}{(1 - \varepsilon \kappa(s))}.\end{aligned}$$

Observemos que a expressão da forma quadrática  $\hat{\mathcal{Q}}_\varepsilon$  depende fortemente de  $\varepsilon > 0$  e da geometria de  $\gamma$ , no entanto, seu domínio não depende nem de  $\varepsilon > 0$  e nem de  $\kappa$ ;  $\mathcal{D}$  é um subespaço do espaço de Hilbert  $L^2(\Omega)$  com a métrica usual.

### 4.3 Operadores renormalizados

Nesta seção faremos as renormalizações necessárias com os operadores  $\hat{H}_\varepsilon$  e  $\hat{H}_0$  para dar continuidade ao estudo.

Por simplicidade de notação, definimos

$$L_\varepsilon := \hat{H}_\varepsilon - \left(\frac{\pi}{2\varepsilon}\right)^2 + \frac{\kappa}{\varepsilon} \quad \text{e} \quad L_0 := \hat{H}_0 - \left(\frac{\pi}{2\varepsilon}\right)^2 + \frac{\kappa}{\varepsilon}.$$

Denotamos por  $l_\varepsilon$  e  $l_0$  as formas quadráticas associadas a  $L_\varepsilon$  e  $L_0$ , respectivamente. Observemos que  $\text{dom}(l_\varepsilon) = \mathcal{D}$ , para  $\varepsilon > 0$  suficientemente pequeno. Além disso,  $\hat{H}_0$  foi inicialmente definido como uma soma direta, usando o isomorfismo natural (4.1), assim, podemos identificar o seu domínio  $\text{dom}(l_0)$  com  $\mathcal{D}$ . Ainda mais, é possível mostrar que

$$l_0[\psi] = \int_\Omega \left\{ |\partial_s\psi(s,t)|^2 + \frac{1}{\varepsilon^2} \left[ |\partial_t\psi(s,t)|^2 - \left(\frac{\pi}{2}\right)^2 |\psi(s,t)|^2 \right] + \frac{\kappa + \kappa(s)}{\varepsilon} |\psi(s,t)|^2 \right\} dsdt,$$

$\psi \in \mathcal{D}$ , é a forma quadrática associada à  $L_0$ . De acordo com os cálculos da Seção 4.2, também temos

$$\begin{aligned}l_\varepsilon[\psi] &= \int_\Omega \left\{ \frac{|\partial_s\psi(s,t)|^2}{h_\varepsilon^2(s,t)} + \frac{1}{\varepsilon^2} \left[ |\partial_t\psi(s,t)|^2 - \left(\frac{\pi}{2}\right)^2 |\psi(s,t)|^2 \right] + \left( V_\varepsilon^1(s,t) - V_\varepsilon^3(s,t) + \frac{\kappa}{\varepsilon} \right) |\psi(s,t)|^2 \right. \\ &\quad \left. + V_\varepsilon^2(s,t)\Re(\overline{\psi(s,t)}\partial_s\psi(s,t)) \right\} dsdt + \int_\partial v_\varepsilon(s,t)|\psi(s,t)|^2 dsdt,\end{aligned}$$

$\psi \in \mathcal{D}$ , em que  $\partial := I \times \{1\}$ .

Além disso, será útil definir um operador intermediário, obtido a partir de  $L_\varepsilon$  ao se omitir alguns termos não singulares que dependem de  $\varepsilon$ . Para isso, observemos que existe uma constante positiva  $C$ , a qual depende de  $\kappa$  e do supremo das normas de  $\kappa$  e  $\kappa'$ , e de forma que

$$\begin{aligned}|V_\varepsilon^1(s,t)| &\leq C\varepsilon^2, & |V_\varepsilon^2(s,t)| &\leq C\varepsilon, & |V_\varepsilon^3(s,t)| &\leq C, \\ |v_\varepsilon(s,t)| &\leq C\varepsilon^{-1}, & |h_\varepsilon(s,t) - 1| &\leq C\varepsilon, & |V_\varepsilon^1(s,t) - V_\varepsilon^3(s,t)| &\leq C,\end{aligned} \quad (4.6)$$

para todo  $(s, t) \in \Omega$ . Levando em conta estas estimativas, introduzimos o operador  $L$  como sendo o operador associado à forma quadrática  $l$  definida por

$$l[\psi] := \int_{\Omega} \left\{ |\partial_s \psi(s, t)|^2 + \frac{1}{\varepsilon^2} \left[ |\partial_t \psi(s, t)|^2 - \left( \frac{\pi}{2} \right)^2 |\psi(s, t)|^2 \right] + \frac{\kappa}{\varepsilon} |\psi(s, t)|^2 \right\} ds dt + \int_{\partial} v_{\varepsilon}(s, t) |\psi(s, t)|^2,$$

$\text{dom } l = \mathcal{D}$ .

Inicialmente, nosso objetivo será mostrar que  $L_{\varepsilon}$  e  $L$  estão suficientemente próximos, no sentido uniforme dos resolventes, para todo  $\varepsilon > 0$  suficientemente pequeno.

Faremos agora algumas estimativas que serão úteis nas próximas seções. Dadas as estimativas em (4.6), para  $\psi \in \mathcal{D}$

$$\begin{aligned} |l_{\varepsilon}[\psi] - l[\psi]| &= \left| \int_{\Omega} \left\{ (h_{\varepsilon}^{-2}(s, t) - 1) |\partial_s \psi(s, t)|^2 + (V_{\varepsilon}^1(s, t) - V_{\varepsilon}^3(s, t)) |\psi(s, t)|^2 \right. \right. \\ &\quad \left. \left. + V_{\varepsilon}^2(s, t) \Re(\bar{\psi}(s, t) \partial_s \psi(s, t)) \right\} ds dt \right| \\ &\leq \int_{\Omega} \left\{ |h_{\varepsilon}^{-2}(s, t) - 1| |\partial_s \psi(s, t)|^2 + |V_{\varepsilon}^1(s, t) - V_{\varepsilon}^3(s, t)| |\psi(s, t)|^2 \right. \\ &\quad \left. + |V_{\varepsilon}^2(s, t)| |\psi(s, t)| |\partial_s \psi(s, t)| \right\} ds dt \\ &\leq \int_{\Omega} \left\{ C\varepsilon |\partial_s \psi(s, t)|^2 + C |\psi(s, t)|^2 + C\varepsilon |\psi(s, t)| |\partial_s \psi| \right\} ds dt \\ &\leq C\varepsilon \|\partial_s \psi\|^2 + C \|\psi\|^2 + C\varepsilon \|\psi\| \|\partial_s \psi\|. \end{aligned}$$

Agora, observemos que

$$\begin{aligned} \varepsilon \|\psi\| \|\partial_s \psi\| &= \left( \int_{\Omega} |\psi(s, t)|^2 ds dt \right)^{1/2} \left( \varepsilon^2 \int_{\Omega} |\partial_s \psi(s, t)|^2 ds dt \right)^{1/2} \\ &\leq \left( \int_{\Omega} |\psi(s, t)|^2 ds dt + \varepsilon^2 \int_{\Omega} |\partial_s \psi(s, t)|^2 ds dt \right)^{1/2} \\ &\quad \left( \varepsilon^2 \int_{\Omega} |\partial_s \psi(s, t)|^2 ds dt + \int_{\Omega} |\psi(s, t)|^2 ds dt \right)^{1/2} \\ &= \varepsilon^2 \|\partial_s \psi\|^2 + \|\psi\|^2 \\ &\leq \varepsilon \|\partial_s \psi\|^2 + \|\psi\|^2. \end{aligned} \tag{4.7}$$

Portanto, existe uma constante  $C_1 > 0$  tal que

$$|l_{\varepsilon}[\psi] - l[\psi]| \leq C_1 (\varepsilon \|\partial_s \psi\|^2 + \|\psi\|^2), \quad \forall \psi \in \mathcal{D}.$$

Ainda mais, existe uma constante  $\hat{C} > 0$  tal que para todo  $\varepsilon > 0$  suficientemente pequeno, tem-se

$$\min\{l_{\varepsilon}[\psi], l_0[\psi], l[\psi]\} \geq \hat{C} (\|\partial_s \psi\|^2 + \varepsilon^{-1} \|\psi\|^2) \geq \frac{\hat{C}}{\varepsilon} \|\psi\|^2, \quad \forall \psi \in \mathcal{D}. \tag{4.8}$$

Portanto,

$$\|L_{\varepsilon}^{-1}\| \leq \hat{C}^{-1} \varepsilon, \quad \|L_0^{-1}\| \leq \hat{C}^{-1} \varepsilon, \quad \|L^{-1}\| \leq \hat{C}^{-1} \varepsilon, \tag{4.9}$$

para todo  $\varepsilon > 0$  suficientemente pequeno.

## 4.4 Um resultado intermediário de convergência

Nesta seção vamos estudar o comportamento da sequência de operadores  $L_{\varepsilon}$ . Temos o seguinte resultado.

**Lema 4.2.** *Sob as suposições do Teorema 4.1, existem constantes positivas  $\varepsilon_0$  e  $\hat{C}_0$ , dependendo somente*

de  $\kappa$  e do supremo das normas de  $\kappa$  e  $\kappa'$ , tais que

$$\|L_\varepsilon^{-1} - L^{-1}\| \leq \hat{C}_0 \varepsilon^2,$$

para todo  $\varepsilon \in (0, \varepsilon_0)$ .

*Prova:* Pela identidade de polarização para as formas sesquilineares geradas por  $l_\varepsilon$  e  $l$ , tem-se

$$\begin{aligned} |l_\varepsilon(\phi, \psi) - l(\phi, \psi)| &= \left| \int_\Omega \left\{ (h_\varepsilon^{-2}(s, t) - 1)(\overline{\partial_s \phi}(s, t) \partial_s \psi(s, t)) + (V_\varepsilon^1(s, t) - V_\varepsilon^3(s, t))(\overline{\phi}(s, t) \psi(s, t)) \right. \right. \\ &\quad \left. \left. + \frac{V_\varepsilon^2(s, t)}{2}(\overline{\phi}(s, t) \partial_s \psi(s, t) + \overline{\psi}(s, t) \partial_s \phi(s, t)) \right\} ds dt \right| \\ &\leq \int_\Omega \left\{ |h_\varepsilon^{-2}(s, t) - 1| |\partial_s \phi(s, t) \partial_s \psi(s, t)| + |V_\varepsilon^1(s, t) - V_\varepsilon^3(s, t)| |\phi(s, t) \psi(s, t)| \right. \\ &\quad \left. + \left| \frac{V_\varepsilon^2(s, t)}{2} \right| (|\phi(s, t) \partial_s \psi(s, t)| + |\psi(s, t) \partial_s \phi(s, t)|) \right\} ds dt \\ &\stackrel{(4.6)}{\leq} \int_\Omega \left\{ C\varepsilon |\partial_s \phi(s, t) \partial_s \psi(s, t)| + C |\phi(s, t) \psi(s, t)| \right. \\ &\quad \left. + C\varepsilon (|\phi(s, t) \partial_s \psi(s, t)| + |\psi(s, t) \partial_s \phi(s, t)|) \right\} ds dt \\ &\leq C\varepsilon \|\partial_s \phi\| \|\partial_s \psi\| + C \|\phi\| \|\psi\| + C\varepsilon (\|\phi\| \|\partial_s \psi\| + \|\psi\| \|\partial_s \phi\|). \end{aligned}$$

Observemos que

$$\begin{aligned} \varepsilon \|\partial_s \phi\| \|\partial_s \psi\| &= \left( \varepsilon \int_\Omega |\partial_s \phi(s, t)|^2 ds dt \right)^{1/2} \left( \varepsilon \int_\Omega |\partial_s \psi(s, t)|^2 ds dt \right)^{1/2} \\ &\leq \left( \varepsilon \int_\Omega |\partial_s \phi(s, t)|^2 ds dt + \int_\Omega |\phi(s, t)|^2 ds dt \right)^{1/2} \\ &\quad \left( \varepsilon \int_\Omega |\partial_s \psi(s, t)|^2 ds dt + \int_\Omega |\psi(s, t)|^2 ds dt \right)^{1/2} \\ &= \sqrt{\varepsilon \|\partial_s \phi\|^2 + \|\phi\|^2} \sqrt{\varepsilon \|\partial_s \psi\|^2 + \|\psi\|^2}. \end{aligned}$$

A mesma estimativa pode ser encontrada para os termos  $\|\phi\| \|\psi\|$ ,  $\varepsilon \|\phi\| \|\partial_s \psi\|$  e  $\varepsilon \|\psi\| \|\partial_s \phi\|$ . Portanto, existe  $\varepsilon_0 > 0$ , que depende de  $\kappa$  e do supremo das normas de  $\kappa$  e  $\kappa'$ , tal que

$$\begin{aligned} |l_\varepsilon(\phi, \psi) - l(\phi, \psi)| &\leq C \sqrt{\varepsilon \|\partial_s \phi\|^2 + \|\phi\|^2} \sqrt{\varepsilon \|\partial_s \psi\|^2 + \|\psi\|^2} \\ &\stackrel{(4.8)}{\leq} C \sqrt{\frac{\varepsilon}{\hat{C}}} l[\phi] \sqrt{\frac{\varepsilon}{\hat{C}}} l_\varepsilon[\psi] \\ &= \left( \frac{C}{\hat{C}} \right) \varepsilon \sqrt{l[\phi] l_\varepsilon[\psi]}, \end{aligned}$$

para todo  $\phi, \psi \in \mathcal{D}$  e para todo  $\varepsilon \in (0, \varepsilon_0)$ .

Tomando  $\phi := L^{-1}f$  e  $\psi := L_\varepsilon^{-1}g$ , em que  $f, g \in \mathcal{H}_0$  são arbitrárias, tem-se

$$|\langle (L_\varepsilon^{-1} - L^{-1})f, g \rangle| = |l_\varepsilon(\phi, \psi) - l(\phi, \psi)|.$$

Desde que

$$\langle L^{-1}f, f \rangle = l[\phi], \quad \langle L_\varepsilon^{-1}g, g \rangle = l_\varepsilon[\psi], \tag{4.10}$$

temos

$$\begin{aligned}
|\langle (L_\varepsilon^{-1} - L^{-1})f, g \rangle| &\leq \left(\frac{C}{\hat{C}}\right) \varepsilon \sqrt{l[\phi]l_\varepsilon[\psi]} \stackrel{(4.10)}{=} \left(\frac{C}{\hat{C}}\right) \varepsilon \sqrt{\langle L^{-1}f, f \rangle \langle L_\varepsilon^{-1}g, g \rangle} \\
&\stackrel{\text{C.S.}}{\leq} \left(\frac{C}{\hat{C}}\right) \varepsilon \sqrt{\|L^{-1}\| \|f\|^2 \|L_\varepsilon^{-1}\| \|g\|^2} \\
&\stackrel{(4.9)}{\leq} \left(\frac{C}{\hat{C}^2}\right) \varepsilon^2 \|f\| \|g\|.
\end{aligned}$$

Assim, tomando  $\hat{C}_0 = C/\hat{C}^2$ , temos

$$|\langle (L_\varepsilon^{-1} - L^{-1})f, g \rangle| \leq \hat{C}_0 \varepsilon^2 \|f\| \|g\|.$$

Portanto,

$$\begin{aligned}
\|L_\varepsilon^{-1} - L^{-1}\| &= \sup_{\|f\|=1} |\langle (L_\varepsilon^{-1} - L^{-1})f, f \rangle| \\
&\leq \hat{C}_0 \varepsilon^2,
\end{aligned}$$

para todo  $\varepsilon \in (0, \varepsilon_0)$ . □

## 4.5 Uma decomposição ortogonal do espaço de Hilbert

Relembremos que denotamos por  $\chi_1(t)$  a autofunção normalizada associada ao primeiro autovalor de  $-\Delta_{DN}^{(0,1)}$ . Definimos o subespaço fechado  $\mathfrak{H}_1 := \{\varphi_1(s)\chi_1(t) : \varphi_1(s) \in L^2(I)\}$  de  $\mathcal{H}_0$  e consideramos a decomposição ortogonal.

$$\mathcal{H}_0 = \mathfrak{H}_1 \oplus \mathfrak{H}_1^\perp.$$

Desde que  $\chi_1$  é uma autofunção normalizada, vale  $\|\varphi_1\chi_1\| = \|\varphi_1\|_{L^2(I)}$ . Assim, dado  $\psi \in \mathcal{H}_0$ , tem-se a decomposição

$$\psi = \psi_1 + \psi_\perp, \quad \psi_1 \in \mathfrak{H}_1, \quad \psi_\perp \in \mathfrak{H}_1^\perp, \quad (4.11)$$

em que  $\psi_1(s, t) = \varphi_1(s)\chi_1(t)$  com  $\varphi_1(s) = \int_0^1 \psi(s, t)\chi_1(t)dt$ . Observe que  $\psi_1 \in \mathcal{D}$  se  $\psi \in \mathcal{D}$ . A inclusão  $\psi_\perp \in \mathfrak{H}_1^\perp$  significa que

$$\int_0^1 \psi_\perp(s, t)\chi_1(t)dt = 0, \quad \text{q.t.p } s \in I. \quad (4.12)$$

Se  $\psi_\perp \in \mathcal{D}$ , então podemos derivar a última identidade para obter

$$\int_0^1 \partial_s \psi_\perp(s, t)\chi_1(t)dt = 0, \quad \text{q.t.p } s \in I. \quad (4.13)$$

Nosso objetivo nesta seção é demonstrar o seguinte resultado.

**Lema 4.3.** *Sob as suposições de Teorema 4.1 existem constantes positivas  $\varepsilon_0$  e  $\tilde{C}_0$ , dependendo somente de  $\kappa$  e do supremo das normas de  $\kappa$  e  $\kappa'$ , tais que*

$$\|L^{-1} - L_0^{-1}\| \leq \tilde{C}_0 \varepsilon^{3/2},$$

para todo  $\varepsilon \in (0, \varepsilon_0)$ .

*Prova:* A princípio, vamos mostrar que

$$l_0[\psi] = l_0[\psi_1] + l_0[\psi_\perp], \quad \psi \in \mathcal{D}. \quad (4.14)$$

Por simplicidade, vamos supor que a forma sesquilinear gerada por  $l_0$  é real. Para cada  $\psi \in \mathcal{D}$  escrevemos  $\psi = \psi_1 + \psi_\perp$ , com  $\psi_1 \in \mathfrak{H}_1$ ,  $\psi_\perp \in \mathfrak{H}_1^\perp$ . Logo,

$$\begin{aligned} l_0[\psi] &= l_0[\psi_1 + \psi_\perp] \\ &= l_0[\psi_1] + l_0[\psi_\perp] + 2l_0(\psi_1, \psi_\perp). \end{aligned}$$

Observemos que

$$\begin{aligned} l_0(\psi_1, \psi_\perp) &= \int_{\Omega} \left\{ \overline{\partial_s \psi_1}(s, t) \partial_s \psi_\perp(s, t) + \frac{1}{\varepsilon^2} \left[ \overline{\partial_t \psi_1}(s, t) \partial_t \psi_\perp(s, t) - \left( \frac{\pi}{2} \right)^2 (\overline{\psi_1}(s, t) \psi_\perp(s, t)) \right] \right. \\ &\quad \left. + \frac{\kappa + \kappa(s)}{\varepsilon} (\overline{\psi_1}(s, t) \psi_\perp(s, t)) \right\} ds dt. \end{aligned}$$

Para  $\psi_1 \in \mathfrak{H}_1$ ,  $\psi_\perp \in \mathfrak{H}_1^\perp$ , tem-se

$$\begin{aligned} \int_{\Omega} \overline{\partial_s \psi_1}(s, t) \partial_s \psi_\perp(s, t) ds dt &= \int_{\Omega} \overline{\varphi_1'}(s) \chi_1(t) \partial_s \psi_\perp(s, t) ds dt \\ &= \int_I \overline{\varphi_1'}(s) \left( \int_0^1 \chi_1(t) \partial_s \psi_\perp(s, t) dt \right) ds \\ &\stackrel{(4.13)}{=} 0, \end{aligned}$$

$$\begin{aligned} \frac{1}{\varepsilon^2} \int_{\Omega} \overline{\partial_t \psi_1}(s, t) \partial_t \psi_\perp(s, t) ds dt &= \frac{1}{\varepsilon^2} \int_{\Omega} \overline{\varphi_1}(s) \chi_1'(t) \partial_t \psi_\perp(s, t) ds dt \\ &= \frac{1}{\varepsilon^2} \int_I \overline{\varphi_1}(s) \left( \int_0^1 \chi_1'(t) \partial_t \psi_\perp(s, t) dt \right) ds \\ &= \left( \frac{\pi}{2\varepsilon} \right)^2 \int_I \overline{\varphi_1}(s) \left( \int_0^1 \chi_1(t) \psi_\perp(s, t) dt \right) ds \\ &\stackrel{(4.12)}{=} 0 \end{aligned}$$

e

$$\begin{aligned} \int_{\Omega} \omega \overline{\psi_1}(s, t) \psi_\perp(s, t) ds dt &= \int_I \omega \left( \int_0^1 \overline{\varphi_1}(s) \chi_1(t) \psi_\perp(s, t) dt \right) ds \\ &= \int_I \omega \overline{\varphi_1}(s) \left( \int_0^1 \chi_1(t) \psi_\perp(s, t) dt \right) ds \\ &\stackrel{(4.12)}{=} 0, \end{aligned}$$

em que  $\omega = -(\pi/2\varepsilon)^2 + (\kappa + \kappa(s))/\varepsilon$ . Portanto,  $l_0(\psi_1, \psi_\perp) = 0$ , para toda  $\psi \in \mathcal{D}$ . Consequentemente, obtemos (4.14).

Por sua vez, para todo  $\varepsilon > 0$  suficientemente pequeno, de (4.8) segue

$$\begin{aligned} l_0[\psi_1] &\geq \hat{C} (\|\partial_s \psi_1\|^2 + \varepsilon^{-1} \|\psi_1\|^2) \\ &= \hat{C} (\|\varphi_1'\|_{L^2(I)}^2 + \varepsilon^{-1} \|\varphi_1\|_{L^2(I)}^2) \end{aligned} \tag{4.15}$$



e

$$\begin{aligned}
l_0[\psi_\perp] &= \int_\Omega \left\{ |\partial_s \psi_\perp(s, t)|^2 + \frac{1}{\varepsilon^2} \left[ |\partial_t \psi_\perp(s, t)|^2 - \left(\frac{\pi}{2}\right)^2 |\psi_\perp(s, t)|^2 \right] + \frac{\kappa + \kappa(s)}{\varepsilon} |\psi_\perp(s, t)|^2 \right\} ds dt \\
&\geq \|\partial_s \psi_\perp\|^2 + \frac{1}{\varepsilon^2} \left[ \|\partial_t \psi_\perp\|^2 - \left(\frac{\pi}{2}\right)^2 \|\psi_\perp\|^2 \right] + \frac{\kappa - \|\kappa\|_\infty}{\varepsilon} \|\psi_\perp\|^2 \\
&\geq \|\partial_s \psi_\perp\|^2 + \frac{1}{\varepsilon^2} \left[ \delta \|\partial_t \psi_\perp\|^2 + (1 - \delta) \|\partial_t \psi_\perp\|^2 - \left(\frac{\pi}{2}\right)^2 \|\psi_\perp\|^2 \right] \\
&\geq \|\partial_s \psi_\perp\|^2 + \frac{1}{\varepsilon^2} \left\{ \delta \|\partial_t \psi_\perp\|^2 + \left[ (1 - \delta) \left(\frac{3\pi}{2}\right)^2 - \left(\frac{\pi}{2}\right)^2 \right] \|\psi_\perp\|^2 \right\} \\
&\geq \hat{C}_1 (\|\partial_s \psi_\perp\|^2 + \varepsilon^{-2} \|\partial_t \psi_\perp\|^2 + \varepsilon^{-2} \|\psi_\perp\|^2),
\end{aligned} \tag{4.16}$$

em que  $\hat{C}_1 = \min\{1, \delta, (1 - \delta)(3\pi/2)^2 - (\pi/2)^2\}$ , para um  $\delta > 0$  suficientemente pequeno. Na terceira desigualdade usamos que

$$\|\partial_t \psi_\perp\|^2 = \int_\Omega |\partial_t \psi_\perp(s, t)|^2 ds dt \geq \lambda_2(-\Delta_{DN}^{(0,1)}) \int_\Omega |\psi_\perp(s, t)|^2 ds dt = \left(\frac{3\pi}{2}\right)^2 \|\psi_\perp\|^2, \tag{4.17}$$

uma consequência do Princípio Max-Min.

Agora, vamos comparar  $l_0$  com  $l$ . Definimos

$$m[\psi] := l[\psi] - l_0[\psi] = \int_\partial v_\varepsilon(s, t) |\psi(s, t)|^2 ds dt - \int_\Omega \frac{\kappa(s)}{\varepsilon} |\psi(s, t)|^2 ds dt, \quad \psi \in \mathcal{D}.$$

Novamente, para  $\psi \in \mathcal{D}$  escrevemos  $\psi = \psi_1 + \psi_\perp$ , com  $\psi_1 \in \mathfrak{H}_1$ ,  $\psi_\perp \in \mathfrak{H}_1^\perp$ . Temos

$$\begin{aligned}
m[\psi_1] &= \int_{I \times \{1\}} \frac{1}{2} \frac{\kappa(s)}{\varepsilon(1 - \varepsilon\kappa(s))} |\varphi_1(s)\chi_1(t)|^2 ds dt - \int_\Omega \frac{\kappa(s)}{\varepsilon} |\varphi_1(s)\chi_1(t)|^2 ds dt \\
&= \int_I \frac{\kappa(s)^2}{1 - \varepsilon\kappa(s)} |\varphi_1(s)|^2 ds \leq C_2 \int_I |\varphi_1(s)|^2 ds \\
&= C_2 \|\varphi_1\|_{L^2(I)}^2 \stackrel{(4.15)}{\leq} \left(\frac{C_2}{\hat{C}}\right) \varepsilon l_0[\psi_1],
\end{aligned}$$

para alguma constante  $C_2 > 0$ , a qual depende do supremo de  $\kappa$ ; e

$$\begin{aligned}
|m[\psi_\perp]| &\leq \int_{I \times \{1\}} |v_\varepsilon(s, t)| |\psi_\perp(s, t)|^2 ds dt + \int_\Omega \left| \frac{\kappa(s)}{\varepsilon} \right| |\psi_\perp(s, t)|^2 ds dt \\
&\leq C\varepsilon^{-1} \left( \int_{I \times \{1\}} |\psi_\perp(s, t)|^2 ds dt + \int_\Omega |\psi_\perp(s, t)|^2 ds dt \right) \\
&= C\varepsilon^{-1} \left( \int_{I \times (0,1)} 2\Re(\overline{\psi_\perp(s, t)} \partial_t \psi_\perp(s, t)) ds dt + \|\psi_\perp\|^2 \right) \\
&\leq C\varepsilon^{-1} \left[ 2 \left( \int_{I \times (0,1)} |\psi_\perp(s, t)|^2 ds dt \right)^{1/2} \left( \int_{I \times (0,1)} |\partial_t \psi_\perp(s, t)|^2 ds dt \right)^{1/2} + \|\psi_\perp\|^2 \right] \\
&= C\varepsilon^{-1} (2\|\psi_\perp\| \|\partial_t \psi_\perp\| + \|\psi_\perp\|^2) \stackrel{(4.17)}{\leq} 2C\varepsilon^{-1} ((2/3\pi)\|\partial_t \psi_\perp\|^2 + \|\psi_\perp\|^2) \\
&\stackrel{(4.16)}{\leq} 2C\varepsilon^{-1} \left( \frac{\varepsilon^2}{\hat{C}_1} l_0[\psi_\perp] \right) \leq 2 \left( \frac{C}{\hat{C}_1} \right) \varepsilon l_0[\psi_\perp].
\end{aligned}$$

Além disso,

$$\begin{aligned}
|m(\psi_1, \psi_\perp)| &= \left| \int_{\partial} v_\varepsilon(s, t) \overline{\psi_1}(s, t) \psi_\perp(s, t) ds dt - \int_{\Omega} \frac{\kappa(s)}{\varepsilon} \overline{\psi_1}(s, t) \psi_\perp(s, t) ds dt \right| \\
&\leq \int_{I \times \{1\}} |v_\varepsilon(s, t)| |\psi_1(s, t) \psi_\perp(s, t)| ds dt \\
&\leq C\varepsilon^{-1} \left( \int_{I \times \{1\}} |\psi_1(s, t)|^2 ds dt \right)^{1/2} \left( \int_{I \times \{1\}} |\psi_\perp(s, t)|^2 ds dt \right)^{1/2} \\
&= C\varepsilon^{-1} \left( \int_{\Omega} 2\Re(\overline{\psi_1}(s, t) \partial_t \psi_1(s, t)) ds dt \right)^{1/2} \left( \int_{\Omega} 2\Re(\overline{\psi_\perp}(s, t) \partial_t \psi_\perp(s, t)) ds dt \right)^{1/2} \\
&\leq 2C\varepsilon^{-1} (\|\psi_1\| \|\partial_t \psi_1\|)^{1/2} (\|\psi_\perp\| \|\partial_t \psi_\perp\|)^{1/2} \\
&= 2C\varepsilon^{-1} (\|\psi_1\| \|\varphi_1\|_{L^2(I)} \|\chi'_1\|_{L^2(0,1)})^{1/2} (\|\psi_\perp\| \|\partial_t \psi_\perp\|)^{1/2} \\
&= 2C\varepsilon^{-1} \|\varphi_1\|_{L^2(I)} (\|\psi_\perp\| \|\partial_t \psi_\perp\|)^{1/2} \leq 2(2/3\pi)^{1/2} C\varepsilon^{-1} \|\varphi_1\|_{L^2(I)} \|\partial_t \psi_\perp\| \\
&\leq C\varepsilon^{-1} \sqrt{\left(\frac{\varepsilon}{\hat{C}}\right) l_0[\psi_1]} \sqrt{\left(\frac{\varepsilon^2}{\hat{C}_1}\right) l_0[\psi_\perp]} = \left(\frac{C}{\sqrt{\hat{C}} \sqrt{\hat{C}_1}}\right) \varepsilon^{1/2} \sqrt{l_0[\psi_1] l_0[\psi_\perp]}.
\end{aligned}$$

Logo,

$$\begin{aligned}
|m[\psi]| &\leq |m[\psi_1]| + |m[\psi_\perp]| + 2|m(\psi_1, \psi_\perp)| \\
&\leq \left(\frac{C_2}{\hat{C}}\right) \varepsilon l_0[\psi_1] + 2\left(\frac{C}{\hat{C}_1}\right) \varepsilon l_0[\psi_\perp] + 2\left(\frac{C}{\sqrt{\hat{C}} \sqrt{\hat{C}_1}}\right) \varepsilon^{1/2} \sqrt{l_0[\psi_1] l_0[\psi_\perp]} \\
&\leq 2\tilde{C}\varepsilon(l_0[\psi_1] + l_0[\psi_\perp]) + 2\tilde{C}\varepsilon^{1/2}(l_0[\psi_1] + l_0[\psi_\perp]) \\
&\leq 2\tilde{C}\varepsilon l_0[\psi] + 2\tilde{C}\varepsilon^{1/2} l_0[\psi] \\
&\leq \tilde{C}_1 \varepsilon^{1/2} l_0[\psi],
\end{aligned} \tag{4.18}$$

para todo  $\varepsilon > 0$  suficientemente pequeno, em que  $\tilde{C} = \max\{C_2/\hat{C}, C/\hat{C}_1, C/(\sqrt{\hat{C}}\sqrt{\hat{C}_1})\}$  e  $\tilde{C}_1 = 4\tilde{C}$ .

A desigualdade acima nos dizem que existem  $\tilde{C}_2, \tilde{C}_3 > 0$  tais que

$$\begin{aligned}
-\tilde{C}_1 \varepsilon^{1/2} l_0[\psi] &\leq m[\psi] \leq \tilde{C}_1 \varepsilon^{1/2} l_0[\psi] \\
-\tilde{C}_1 \varepsilon^{1/2} l_0[\psi] &\leq l[\psi] - l_0[\psi] \leq \tilde{C}_1 \varepsilon^{1/2} l_0[\psi] \\
(1 - \tilde{C}_1 \varepsilon^{1/2}) l_0[\psi] &\leq l[\psi] \leq (1 + \tilde{C}_1 \varepsilon^{1/2}) l_0[\psi] \\
\tilde{C}_2 l_0[\psi] &\leq (1 - \tilde{C}_1 \varepsilon^{1/2}) l_0[\psi] \leq l[\psi] \leq (1 + \tilde{C}_1 \varepsilon^{1/2}) l_0[\psi] \leq \tilde{C}_3 l_0[\psi],
\end{aligned} \tag{4.19}$$

para todo  $\psi \in \mathcal{D}$  e para todo  $\varepsilon > 0$  suficientemente pequeno.

Pela identidade de polarização para as formas sesquilineares geradas por  $l$  e  $l_0$ , tem-se

$$\begin{aligned}
|l(\phi, \psi) - l_0(\phi, \psi)| &= \frac{1}{4} |l[\phi + \psi] - l[\phi - \psi] - il[\phi + i\psi] + il[\phi - i\psi] \\
&\quad - l_0[\phi + \psi] + l_0[\phi - \psi] + il_0[\phi + i\psi] - il_0[\phi - i\psi]| \\
&= \frac{1}{4} |m[\phi + \psi] - m[\phi - \psi] - im[\phi + i\psi] + im[\phi - i\psi]| \\
&\leq \frac{1}{4} (|m[\phi + \psi]| + |m[\phi - \psi]| + |m[\phi + i\psi]| + |m[\phi - i\psi]|) \\
&\stackrel{(4.18)}{\leq} \frac{\tilde{C}_1}{4} \varepsilon^{1/2} (l_0[\phi + \psi] + l_0[\phi - \psi] + l_0[\phi + i\psi] + l_0[\phi - i\psi]) \\
&= \tilde{C}_1 \varepsilon^{1/2} (l_0[\phi] + l_0[\psi]) \\
&\stackrel{(4.19)}{\leq} \tilde{C}_4 \varepsilon^{1/2} (l_0[\phi] + l[\psi]).
\end{aligned}$$

Resumindo, tem-se a limitação

$$|l(\phi, \psi) - l_0(\phi, \psi)| \leq \tilde{C}_4 \varepsilon^{1/2} [l_0[\phi] + l[\psi]],$$

para toda  $\phi, \psi \in \mathcal{D}$ , em que  $\tilde{C}_4 = \max\{\tilde{C}_1, \tilde{C}_1/\tilde{C}_2\}$ .

Tomando  $\phi := L_0^{-1}f$  e  $\psi := L^{-1}g$ , em que  $f, g \in \mathcal{H}_0$  são arbitrárias, tem-se

$$|\langle (L^{-1} - L_0^{-1})f, g \rangle| = |l_0(\phi, \psi) - l(\phi, \psi)|.$$

Desde que

$$\langle L_0^{-1}f, f \rangle = l_0[\phi], \quad \langle L^{-1}g, g \rangle = l[\psi], \quad (4.20)$$

temos

$$\begin{aligned} |\langle (L^{-1} - L_0^{-1})f, g \rangle| &\leq \tilde{C}_4 \varepsilon^{1/2} [l_0[\phi] + l[\psi]] \stackrel{(4.20)}{=} \tilde{C}_4 \varepsilon^{1/2} [\langle L_0^{-1}f, f \rangle + \langle L^{-1}g, g \rangle] \\ &\stackrel{\text{C.S.}}{\leq} \tilde{C}_4 \varepsilon^{1/2} [\|L_0^{-1}\| \|f\|^2 + \|L^{-1}\| \|g\|^2] \\ &\stackrel{(4.9)}{\leq} \frac{\tilde{C}_4}{\hat{C}} \varepsilon^{3/2} [\|f\|^2 + \|g\|^2]. \end{aligned}$$

Portanto, tomando  $\tilde{C}_0 = 2\tilde{C}_4/\hat{C}$

$$\begin{aligned} \|L^{-1} - L_0^{-1}\| &= \sup_{\|f\|=1} |\langle (L^{-1} - L_0^{-1})f, f \rangle| \\ &\leq \tilde{C}_0 \varepsilon^{3/2}, \end{aligned}$$

para todo  $\varepsilon > 0$  suficientemente pequeno. □

Observemos que a prova do Teorema 4.1 segue como consequência do Lema 4.2 e do Lema 4.3.

## 4.6 Convergência dos autovalores

Como uma aplicação do Teorema 4.1, estudaremos o comportamento assintótico da sequência  $\{\lambda_j(-\Delta_{DN}^{\Omega_\varepsilon})\}_{j=1}^\infty$  gerada pelo Princípio Max-Min.

Iniciamos com um análise do espectro do operador desacoplado  $\hat{H}_0$ .

**Lema 4.4.** *Suponha  $\kappa \in L^\infty(I)$ . Tem-se*

$$\lambda_1(\hat{H}_0) = \lambda_1\left(-\Delta_D^I + \frac{\kappa}{\varepsilon}\right) + \left(\frac{\pi}{2\varepsilon}\right)^2.$$

*Além disso, para qualquer inteiro  $N \geq 2$ , existe uma constante positiva  $\varepsilon_0$  que depende de  $N$ ,  $\kappa$  e  $I$  tal que, para todo  $\varepsilon \in (0, \varepsilon_0)$ ,*

$$\lambda_j(\hat{H}_0) = \lambda_j\left(-\Delta_D^I + \frac{\kappa}{\varepsilon}\right) + \left(\frac{\pi}{2\varepsilon}\right)^2, \quad \forall j \in \{1, \dots, N\}.$$

*Prova:* Devido à definição de  $\hat{H}_0$ , tem-se

$$\left\{ \lambda_j(\hat{H}_0) \right\}_{j=1}^\infty = \left\{ \lambda_j\left(-\Delta_D^I + \frac{\kappa}{\varepsilon}\right) \right\}_{j=1}^\infty + \left\{ \left(\frac{2j-1}{2\varepsilon}\pi\right)^2 \right\}_{j=1}^\infty.$$

Agora, resta organizar a soma dos números do lado direito da expressão acima em uma sequência crescente. Observe que para  $N = 1$  o resultado é trivial.

Para  $N = 2$ , organizando os valores  $\lambda_j(\hat{H}_0)$  em ordem crescente, temos

$$\begin{aligned}\lambda_1(\hat{H}_0) &= \lambda_1\left(-\Delta_D^I + \frac{\kappa}{\varepsilon}\right) + \left(\frac{\pi}{2\varepsilon}\right)^2 \\ \lambda_2(\hat{H}_0) &= \min\left\{\lambda_2\left(-\Delta_D^I + \frac{\kappa}{\varepsilon}\right) + \left(\frac{\pi}{2\varepsilon}\right)^2, \lambda_1\left(-\Delta_D^I + \frac{\kappa}{\varepsilon}\right) + \left(\frac{3\pi}{2\varepsilon}\right)^2\right\} \\ &= \lambda_2\left(-\Delta_D^I + \frac{\kappa}{\varepsilon}\right) + \left(\frac{\pi}{2\varepsilon}\right)^2,\end{aligned}$$

em que a última igualdade segue do comportamento assintótico (3.10). De fato,

$$\begin{aligned}\lambda_2(\hat{H}_0) - \left(\frac{\pi}{2\varepsilon}\right)^2 &= \min\left\{\lambda_2\left(-\Delta_D^I + \frac{\kappa}{\varepsilon}\right), \lambda_1\left(-\Delta_D^I + \frac{\kappa}{\varepsilon}\right) - \left(\frac{\pi}{2\varepsilon}\right)^2 + \left(\frac{3\pi}{2\varepsilon}\right)^2\right\} \\ &= \min\left\{\lambda_2\left(-\Delta_D^I + \frac{\kappa}{\varepsilon}\right), \lambda_1\left(-\Delta_D^I + \frac{\kappa}{\varepsilon}\right) + 8\left(\frac{\pi}{2\varepsilon}\right)^2\right\},\end{aligned}$$

e então basta utilizar (3.10).

Agora, seja  $N \geq 3$  e suponha por indução que

$$\lambda_{j-1}(\hat{H}_0) - \left(\frac{\pi}{2\varepsilon}\right)^2 = \lambda_{j-1}\left(-\Delta_D^I + \frac{\kappa}{\varepsilon}\right).$$

Então,

$$\lambda_j(\hat{H}_0) - \left(\frac{\pi}{2\varepsilon}\right)^2 = \min\left\{\lambda_j\left(-\Delta_D^I + \frac{\kappa}{\varepsilon}\right), \lambda_1\left(-\Delta_D^I + \frac{\kappa}{\varepsilon}\right) + 8\left(\frac{\pi}{2\varepsilon}\right)^2\right\}.$$

Novamente, aplicamos (3.10) e a afirmação do lema está provada.  $\square$

Agora, dado  $j \geq 1$  fixo, suponha  $\varepsilon > 0$  é suficientemente pequeno de forma que as conclusões do Teorema 4.1 e do Lema 4.4 sejam validas. Do Teorema 4.1 tem-se

$$\left|\left[\lambda_j(\hat{H}_\varepsilon) - \left(\frac{\pi}{2\varepsilon}\right)^2 + \frac{\kappa}{\varepsilon}\right]^{-1} - \left[\lambda_j(\hat{H}_0) - \left(\frac{\pi}{2\varepsilon}\right)^2 + \frac{\kappa}{\varepsilon}\right]^{-1}\right| \leq C_0\varepsilon^{3/2};$$

o lado esquerdo é estimado pela diferença da norma dos resolventes (veja [13], Corolário 2.3).

Usando agora o Lema 4.4, a estimativa acima é equivalente à

$$\left|\frac{1}{\varepsilon[\lambda_j(\hat{H}_\varepsilon) - (\pi/2\varepsilon)^2] + \kappa} - \frac{1}{\varepsilon\lambda_j(-\Delta_D^I + \kappa/\varepsilon) + \kappa}\right| \leq C_0\varepsilon^{1/2}. \quad (4.21)$$

Assim, lembrando (3.10), conclui-se

$$\lim_{\varepsilon \rightarrow 0} \varepsilon \left[\lambda_j(\hat{H}_\varepsilon) - \left(\frac{\pi}{2\varepsilon}\right)^2\right] = \lim_{\varepsilon \rightarrow 0} \varepsilon \lambda_j\left(-\Delta_D^I + \frac{\kappa}{\varepsilon}\right) = \inf \kappa.$$

Podemos observar que o comportamento assintótico encontrado aqui para a sequência  $\{\lambda_j(-\Delta_{DN}^{\Omega_\varepsilon})\}_{j=1}^\infty$  é semelhante àquele encontrado no Capítulo 3.

## Capítulo 5

# O espectro essencial e discreto do Laplaciano de Dirichlet-Neumann

Neste capítulo vamos estudar o espectro do operador Laplaciano de Dirichlet-Neumann restrito a uma faixa infinita de largura fixada. Embora a geometria da faixa e o operador já tenham sido definidos no Capítulo 2, repetimos alguns passos da definição para fixar a notação usada neste capítulo (já que aqui a faixa possuirá largura fixa). Isto será feito na Seção 5.1. Nas Seções 5.2 e 5.3, estudaremos o espectro essencial e a existência de autovalores discretos do operador Laplaciano de Dirichlet-Neumann. Veremos que tais resultados são influenciados pela geometria da faixa. Os resultados deste capítulo são provenientes de [18] e [5].

### 5.1 Configuração do espaço

Seja  $\gamma : \mathbb{R} \rightarrow \mathbb{R}^2$  uma curva plana, de classe  $C^2$  e com velocidade unitária. Seja  $d > 0$  e  $\Omega_0 := \mathbb{R} \times (0, d)$  uma faixa reta de largura  $d$ . Estudaremos o espectro essencial e discreto do operador Laplaciano de Dirichlet-Neumann na faixa estreita  $\hat{\Omega} := \mathcal{L}(\Omega_0)$ , em que  $\mathcal{L} : \mathbb{R} \times [0, d] \rightarrow \mathbb{R}^2$  é definida como

$$\mathcal{L}(s, t) := \gamma(s) + t n(s), \quad \forall s \in \mathbb{R}, \forall t \in [0, d];$$

$n(s)$  denota o vetor normal de  $\gamma$  na posição  $s$ .

Ao longo do capítulo, assumimos que  $\mathcal{L}$  é injetora e  $\kappa \in L^\infty(\mathbb{R})$  com  $d\|\kappa\|_\infty < 1$ ;  $\kappa(s)$  denota a curvatura de  $\gamma$  na posição  $s$ . Observemos que baixo as condições mencionadas anteriormente, tem-se que aplicação  $\mathcal{L}$  é um difeomorfismo de classe  $C^1$  em  $\Omega_0$  com  $\det J\mathcal{L}(s, t) = 1 - t\kappa(s)$ , em que  $J\mathcal{L}$  denota a matriz Jacobiana de  $\mathcal{L}$ .

A imagem  $\hat{\Omega}$  num sentido geométrico descreve uma faixa aberta, que não apresenta interseção consigo mesma, contida entre as curvas paralelas

$$\gamma(\mathbb{R}) := \mathcal{L}(\mathbb{R} \times \{0\}) \quad \text{e} \quad \hat{\gamma}(\mathbb{R}) := \mathcal{L}(\mathbb{R} \times \{d\}).$$

Observe a figura abaixo. Consideremos a forma quadrática  $\mathcal{Q}_{DN}^{\hat{\Omega}}$  definida por

$$\mathcal{Q}_{DN}^{\hat{\Omega}}[\Psi] := \int_{\hat{\Omega}} |\nabla \Psi(x)|^2 dx, \tag{5.1}$$

$$\text{dom}(\mathcal{Q}_{DN}^{\hat{\Omega}}) := \{\Psi \in \mathcal{H}^1(\hat{\Omega}) : \Psi = 0 \text{ em } \gamma(\mathbb{R})\}.$$

Denotamos por  $-\Delta_{DN}^{\hat{\Omega}}$  seu operador autoadjunto associado o qual age no espaço de Hilbert  $L^2(\hat{\Omega})$  com condições de contorno de Dirichlet e de Neumann sobre  $\gamma$  e  $\hat{\gamma}$ , respectivamente.

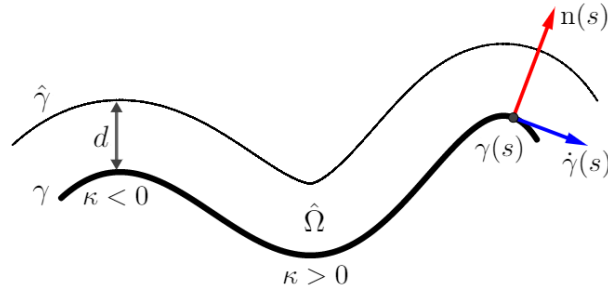


Figura 5.1: Geometria da faixa  $\hat{\Omega}$ .

Definimos a função  $h(s, t) := 1 - t\kappa(s)$ ,  $(s, t) \in \Omega_0$ . Assim, podemos escrever

$$\det J\mathcal{L}(s, t) = h(s, t), \quad (s, t) \in \Omega_0. \quad (5.2)$$

Desde que  $\kappa \in L^\infty(\mathbb{R})$  com  $d\|\kappa\|_\infty < 1$ , tem-se a seguinte estimativa uniforme

$$0 < 1 - d \sup_{s \in \mathbb{R}} |\kappa(s)| \leq h(s, t) \leq 1 - d \inf_{s \in \mathbb{R}} |\kappa(s)| < \infty, \quad (5.3)$$

para todo  $(s, t) \in \Omega_0$ .

Considere o espaço de Hilbert  $\mathcal{H} := L^2(\Omega_0, h(s, t) ds dt)$  e denote por  $\|\cdot\|_{\mathcal{H}}$  a norma neste espaço. Vamos realizar uma mudança para coordenadas através da transformação unitária

$$U : L^2(\hat{\Omega}) \longrightarrow \mathcal{H} \quad (5.4)$$

definida por

$$U\Psi = \Psi \circ \mathcal{L}, \quad \Psi \in L^2(\hat{\Omega}).$$

Aplicando tal mudança à forma quadrática  $\mathcal{Q}_{DN}^{\hat{\Omega}}$ , tem-se

$$\begin{aligned} \mathcal{Q}[\Psi] &:= \mathcal{Q}_{DN}^{\hat{\Omega}}(U^{-1}\psi) \\ &= \int_{\Omega_0} \frac{|\partial_s \psi(s, t)|^2}{h(s, t)} ds dt + \int_{\Omega_0} |\partial_t \psi(s, t)|^2 h(s, t) ds dt, \end{aligned}$$

$$\text{dom}(\mathcal{Q}) = \{\psi \in \mathcal{H}^1(\Omega_0) : \psi = 0 \text{ em } \mathbb{R} \times \{0\}\}.$$

Denotamos por  $H$  o operador autoadjunto associado à  $\mathcal{Q}$ . Assim, desde que  $U$  é unitário, os operadores  $-\Delta_{DN}^{\hat{\Omega}}$  e  $H$  são unitariamente equivalentes. Mas precisamente, vale a relação

$$H := U(-\Delta_{DN}^{\hat{\Omega}})U^{-1}.$$

**Observação 8.** No caso em que  $\hat{\Omega}$  é uma faixa reta, ou seja,  $\kappa(s) = 0$ ,  $\forall s \in \mathbb{R}$ , o Laplaciano  $-\Delta_{DN}^{\hat{\Omega}}$  é identificado com o operador desacoplado

$$H_0 := \overline{-\Delta_D^{\mathbb{R}} \otimes \mathbf{1} + \mathbf{1} \otimes -\Delta_{DN}^{(0,d)}}, \quad \text{em } L^2(\mathbb{R}) \otimes L^2(0, d); \quad (5.5)$$

em que  $-\Delta_D^{\mathbb{R}}$  denota o operador Laplaciano de Dirichlet em  $L^2(\mathbb{R})$  e  $-\Delta_{DN}^{(0,d)}$  denota o operador Laplaciano transversal em  $L^2(0, d)$  sujeito às condições de contorno de Dirichlet e de Neumann em 0 e  $d$ , respectivamente.

Os autovalores de  $-\Delta_{DN}^{(0,d)}$  são dados por

$$E_n := \left(\frac{\pi}{d}\right)^2 \left(n - \frac{1}{2}\right)^2, \quad n \in \mathbb{N}, \quad (5.6)$$

e a correspondente família de autofunções normalizadas  $\{\chi_n\}_{n=1}^\infty$  é dada por

$$\chi_n(t) := \sqrt{\frac{2}{d}} \sin(\sqrt{E_n}t), \quad n \in \mathbb{N}. \quad (5.7)$$

De (5.5) e o Teorema VIII.33 em [22], o operador  $H_0$  tem espectro puramente essencial começando pelo primeiro autovalor do Laplaciano transversal  $-\Delta_{DN}^{(0,d)}$ , isto é,

$$\sigma(H_0) = \sigma_{ess}(H_0) = [E_1, \infty). \quad (5.8)$$

## 5.2 O espectro essencial

Conforme vimos na seção anterior, se  $\hat{\Omega}$  é uma faixa reta, o espectro essencial do operador  $-\Delta_{DN}^{\hat{\Omega}}$  é o intervalo  $[E_1, \infty)$ , em que  $E_1 = \pi^2/(2d)^2$ . Nesta seção vamos mostrar que o mesmo resultado espectral mantém-se para qualquer faixa curvada que satisfaz

$$\kappa(s) \rightarrow 0, \quad \text{quando } |s| \rightarrow \infty. \quad (5.9)$$

Lembremos que neste capítulo estamos sempre supondo  $\kappa \in L^\infty(\mathbb{R})$  e  $d\|\kappa\|_\infty < 1$

**Teorema 5.1** (Espectro essencial). *Suponha (5.9). Então,*

$$\sigma_{ess}(H) = [E_1, \infty). \quad (5.10)$$

A demonstração deste teorema é obtida em dois passos que serão apresentados por dois lemas. Começamos por uma estimativa do limite inferior do espectro essencial.

**Lema 5.2.** *Suponha (5.9). Então,*

$$\inf \sigma_{ess}(H) \geq E_1.$$

*Prova:* Desde que (5.9) vale. Para qualquer  $\delta > 0$  fixo, existe  $s_\delta$  tal que

$$(1 - \delta d) \leq h(s, t) \leq (1 + \delta d), \quad \forall (s, t) \in \Omega_{0, \text{ext}}, \quad (5.11)$$

em que  $\Omega_{0, \text{ext}} := \Omega_0 \setminus \bar{\Omega}_{0, \text{int}}$  com  $\Omega_{0, \text{int}} := (-s_\delta, s_\delta) \times (0, d)$ .

Consideremos a forma quadrática  $\mathcal{Q}^N := \mathcal{Q}_{\text{int}}^N \oplus \mathcal{Q}_{\text{ext}}^N$ , em que

$$\begin{aligned} \mathcal{Q}_\omega^N[\psi] &:= \int_{\Omega_{0, \omega}} \frac{|\partial_s \psi(s, t)|^2}{h(s, t)} ds dt + \int_{\Omega_{0, \omega}} |\partial_t \psi(s, t)|^2 h(s, t) ds dt, \\ \text{dom}(\mathcal{Q}_\omega^N) &:= \{\psi \in \mathcal{H}^1(\Omega_{0, \omega}) : \psi(s, 0) = 0 \text{ q.t.p. } s \in \mathbb{R} \cap \bar{\Omega}_{0, \omega}\}, \end{aligned}$$

com  $\omega \in \{\text{int}, \text{ext}\}$ . Denote por  $H^N$ ,  $H_{\text{int}}^N$  e  $H_{\text{ext}}^N$  os operadores autoadjuntos associados à  $\mathcal{Q}^N$ ,  $\mathcal{Q}_{\text{int}}^N$  e  $\mathcal{Q}_{\text{ext}}^N$ , respectivamente. Observemos que vale a desigualdade

$$H \geq H^N := H_{\text{int}}^N \oplus H_{\text{ext}}^N \quad (5.12)$$

no sentido das formas quadráticas (veja [23], Capítulo XIII.15). O espectro do operador  $H_{\text{int}}^N$  é puramente discreto, veja Capítulo 7 em [3]. Sendo assim, o Princípio Max-Min garante a estimativa

$$\inf \sigma_{ess}(H) \geq \inf \sigma_{ess}(H^N) = \inf \sigma_{ess}(H_{\text{ext}}^N) \geq \inf \sigma(H_{\text{ext}}^N).$$

O próximo passo é encontrar um limite inferior apropriado para o espectro de  $H_{\text{ext}}^N$ .

Para todo  $\psi \in \text{dom}(\mathcal{Q}_{\text{ext}}^N)$ , de (5.11) tem-se a seguinte estimativa:

$$\begin{aligned} \mathcal{Q}_{\text{ext}}^N[\psi] &= \int_{\Omega_{0,\text{ext}}} \frac{|\partial_s \psi(s,t)|^2}{h(s,t)} dsdt + \int_{\Omega_{0,\text{ext}}} |\partial_t \psi(s,t)|^2 h(s,t) dsdt \\ &\geq (1 - \delta d) \int_{\Omega_{0,\text{ext}}} |\partial_t \psi(s,t)|^2 dsdt \\ &\geq E_1(1 - \delta d) \int_{\Omega_{0,\text{ext}}} |\psi(s,t)|^2 dsdt \\ &\geq E_1 \frac{(1 - \delta d)}{(1 + \delta d)} \int_{\Omega_{0,\text{ext}}} |\psi(s,t)|^2 h(s,t) dsdt \\ &= E_1 \frac{(1 - \delta d)}{(1 + \delta d)} \|\psi\|_{\mathcal{H}_{\text{ext}}}^2, \end{aligned}$$

em que  $\|\cdot\|_{\mathcal{H}_{\text{ext}}}$  denota a norma no espaço de Hilbert  $\mathcal{H}_{\text{ext}} := L^2(\Omega_{0,\text{ext}}, h(s,t) dsdt)$ . Logo,

$$H_{\text{ext}}^N \geq E_1 \frac{(1 - \delta d)}{(1 + \delta d)} \mathbf{1}, \quad \text{em } \mathcal{H}_{\text{ext}}.$$

Consequentemente,

$$\inf \sigma_{\text{ess}}(H) \geq E_1 \frac{(1 - \delta d)}{(1 + \delta d)}.$$

A conclusão do lema segue do fato que  $\delta > 0$  é arbitrariamente pequeno.  $\square$

**Lema 5.3.** *Suponha (5.9). Então,*

$$\sigma_{\text{ess}}(H) \supseteq [E_1, \infty).$$

*Prova:* A estratégia é mostrar que para cada  $\lambda \in \mathbb{R}$  o valor  $\eta := E_1 + \lambda^2$  pertence ao espectro essencial de  $H$ . Sendo assim, para cada  $\lambda \in \mathbb{R}$  construiremos uma sequência  $\{\psi_n\}_{n=1}^\infty \subset \text{dom}(\mathcal{Q})$  satisfazendo

- (i)  $\|\psi_n\|_{\mathcal{H}} = 1, \forall n \in \mathbb{N}$ ;
- (ii)  $\psi_n \xrightarrow{w} 0$ , quando  $n \rightarrow \infty$ , em  $\mathcal{H}$ ;
- (iii)  $(H - \eta \mathbf{1})\psi_n \rightarrow 0$ , quando  $n \rightarrow \infty$ , em  $(\text{dom}(\mathcal{Q}))^*$ ,

em que  $(\text{dom}(\mathcal{Q}))^*$  denota o espaço dual do espaço  $\text{dom}(\mathcal{Q})$ . Lembremos que a condição (iii) significa que

$$\|(H - \eta \mathbf{1})\psi_n\|_{-1} := \|(H - \eta \mathbf{1})\psi_n\|_{(\text{dom}(\mathcal{Q}))^*} = \sup_{\phi \in \text{dom}(\mathcal{Q}) \setminus \{0\}} \frac{|\langle \phi, (H - \eta \mathbf{1})\psi_n \rangle|}{\|\phi\|_1} \rightarrow 0, \quad n \rightarrow \infty, \quad (5.13)$$

em que

$$\|\phi\|_1 := \sqrt{\mathcal{Q}[\phi] + \|\phi\|_{\mathcal{H}}^2}.$$

Iniciamos com a seguinte família de funções

$$\hat{\psi}_n(s,t) := \varphi_n(s)\chi_1(t)e^{i\lambda s}, \quad n \in \mathbb{N},$$

em que  $\chi_1$  denota a autofunção normalizada do operador Laplaciano de Dirichlet-Neumann em  $(0, d)$  correspondente ao primeiro autovalor; veja (5.7). Definimos também

$$\varphi_n(s) := \frac{1}{\sqrt{n}} \varphi\left(\frac{s}{n} - n\right), \quad n \in \mathbb{N},$$



com  $\varphi$  uma função qualquer em  $C_0^\infty(\mathbb{R})$  tal que  $\text{supp } \varphi \subset (-1, 1)$  e  $\|\varphi\|_{L^2(\mathbb{R})} = 1$ . Observemos que

$$\|\varphi_n\|_{L^2(\mathbb{R})} = \|\varphi\|_{L^2(\mathbb{R})} = 1, \quad \|\varphi'_n\|_{L^2(\mathbb{R})} = n^{-1}\|\varphi'\|_{L^2(\mathbb{R})}, \quad \|\varphi''_n\|_{L^2(\mathbb{R})} = n^{-2}\|\varphi''\|_{L^2(\mathbb{R})}. \quad (5.14)$$

Também tem-se que  $\text{supp } \varphi_n \subset (n^2 - n, n^2 + n)$ . Assim, podemos observar que  $\hat{\psi}_n \in \text{dom } H$ , para todo  $n \in \mathbb{N}$ .

Desde que a sequência  $\{\hat{\psi}_n\}_{n=1}^\infty$  não está normalizada, finalmente, definimos

$$\psi_n := \frac{\hat{\psi}_n}{\|\hat{\psi}_n\|_{\mathcal{H}}}, \quad n \in \mathbb{N}.$$

Devido à (5.3) e a normalização de  $\varphi$  e  $\chi_1$ , tem-se

$$0 < 1 - d \sup_{s \in \mathbb{R}} |\kappa(s)| \leq \|\hat{\psi}_n\|_{\mathcal{H}}^2 \leq 1 - d \inf_{s \in \mathbb{R}} |\kappa(s)|. \quad (5.15)$$

Por definição, segue que  $\{\psi_n\}_{n=1}^\infty$  satisfaz a condição (i). Agora, nosso objetivo é mostrar que  $\{\psi_n\}_{n=1}^\infty$  satisfaz as condições (ii) e (iii) enunciadas acima.

A condição (ii) exige que  $\langle \phi, \psi_n \rangle \rightarrow 0$ , quando  $n \rightarrow \infty$ , para toda  $\phi \in \mathcal{H}$ . Desde que  $C_0^\infty(\Omega_0)$  é um subconjunto denso em  $\mathcal{H}$ , é suficiente mostrar que  $\langle \phi, \psi_n \rangle \rightarrow 0$ , quando  $n \rightarrow \infty$ , para toda  $\phi \in C_0^\infty(\Omega_0)$ . Porém, o último limite segue do fato de que, dado  $\varphi \in C_0^\infty(\Omega_0)$ ,  $\phi$  e  $\psi_n$  terão suportes disjuntos para todo  $n$  suficientemente grande.

Agora, para toda  $\phi \in \text{dom } H$ , tem-se

$$\begin{aligned} |\langle \phi, (H - \eta \mathbf{1})\psi_n \rangle| &= |\mathcal{Q}(\phi, \psi_n) - \eta \langle \phi, \psi_n \rangle_{\mathcal{H}}| \\ &\leq |\mathcal{Q}_1(\phi, \psi_n) - \lambda^2 \langle \phi, \psi_n \rangle_{\mathcal{H}}| + |\mathcal{Q}_2(\phi, \psi_n) - E_1 \langle \phi, \psi_n \rangle_{\mathcal{H}}|, \end{aligned}$$

em que

$$\begin{aligned} \mathcal{Q}_1[\psi] &:= \int_{\Omega_0} \frac{|\partial_s \psi(s, t)|^2}{h(s, t)} ds dt, \quad \mathcal{Q}_2[\psi] := \int_{\Omega_0} |\partial_t \psi(s, t)|^2 h(s, t) ds dt, \\ \text{dom}(\mathcal{Q}_1) &:= \text{dom}(\mathcal{Q}) =: \text{dom}(\mathcal{Q}_2). \end{aligned}$$

Integrando por partes e usando o fato de que  $-\chi_1'' = E_1 \chi_1$ , junto com a normalização de  $\varphi$  e  $\chi_1$ , segue que

$$\begin{aligned} |\mathcal{Q}_2(\phi, \hat{\psi}_n) - E_1 \langle \phi, \hat{\psi}_n \rangle_{\mathcal{H}}| &= \left| \int_{\Omega_0} \bar{\phi}(s, t) (E_1 \hat{\psi}_n(s, t) h(s, t) - \partial_t \hat{\psi}_n(s, t) \partial_t h(s, t)) ds dt - E_1 \langle \phi, \hat{\psi}_n \rangle_{\mathcal{H}} \right| \\ &= \left| \int_{\Omega_0} \bar{\phi}(s, t) \partial_t \hat{\psi}_n(s, t) \partial_t h(s, t) ds dt \right| \\ &\leq \|\phi\|_{\mathcal{H}} \|\partial_t \hat{\psi}_n\| \left\| \frac{\partial_t h}{\sqrt{h}} \right\|_{\infty, n} \\ &\leq \|\phi\|_1 \sqrt{E_1} \left\| \frac{\partial_t h}{\sqrt{h}} \right\|_{\infty, n}, \end{aligned}$$

para toda  $\phi \in \text{dom}(\mathcal{Q})$ , em que  $\|\cdot\|_{\infty, n} := \|\cdot\|_{L^\infty(\text{supp } \varphi_n \times (0, d))}$ . Ao mesmo tempo, tem-se

$$\mathcal{Q}_1(\phi, \hat{\psi}_n) = \int_{\Omega_0} \partial_s \bar{\phi}(s, t) \partial_s \hat{\psi}_n(s, t) \left[ \frac{1}{h(s, t)} - 1 \right] ds dt - \int_{\Omega_0} \bar{\phi}(s, t) \partial_{ss} \hat{\psi}_n(s, t) ds dt$$

e

$$\langle \phi, \hat{\psi}_n \rangle_{\mathcal{H}} = \int_{\Omega_0} \bar{\phi}(s, t) \hat{\psi}_n(s, t) [h(s, t) - 1] ds dt + \int_{\Omega_0} \bar{\phi}(s, t) \hat{\psi}_n(s, t) ds dt.$$

Assim, usando o fato de que

$$-\partial_{ss} \hat{\psi}_n(s, t) - \lambda^2 \hat{\psi}_n(s, t) = (-\varphi_n''(s) - 2i\lambda \varphi_n'(s)) e^{i\lambda s} \chi_1(t),$$

e a normalização de  $\varphi$  e  $\chi_1$  mais uma vez, tem-se

$$\begin{aligned}
|\mathcal{Q}_1(\phi, \hat{\psi}_n) - \lambda^2 \langle \phi, \hat{\psi}_n \rangle_{\mathcal{H}}| &= \left| \int_{\Omega_0} \partial_s \bar{\phi}(s, t) \partial_s \hat{\psi}_n(s, t) \left[ \frac{1}{h(s, t)} - 1 \right] ds dt \right. \\
&\quad - \lambda^2 \int_{\Omega_0} \bar{\phi}(s, t) \hat{\psi}_n(s, t) [h(s, t) - 1] ds dt \\
&\quad \left. + \int_{\Omega_0} \bar{\phi}(s, t) (-\varphi_n''(s) - 2i\lambda\varphi_n'(s)) e^{i\lambda s} \chi_1(t) ds dt \right| \\
&\leq \sqrt{\mathcal{Q}_1[\phi]} \|\partial_s \hat{\psi}_n\| \left\| \frac{1}{\sqrt{h}} - \sqrt{h} \right\|_{\infty, n} + \lambda^2 \|\phi\|_{\mathcal{H}} \|\hat{\psi}_n\| \left\| \sqrt{h} - \frac{1}{\sqrt{h}} \right\|_{\infty, n} \\
&\quad + \|\phi\|_{\mathcal{H}} \|\varphi_n'' - 2\lambda\varphi_n'\|_{L^2(\mathbb{R})} \left\| \frac{1}{\sqrt{h}} \right\|_{\infty, n} \\
&\leq \|\phi\|_1 \|\varphi_n' + i\lambda\varphi_n\|_{L^2(\mathbb{R})} \left\| \frac{1}{\sqrt{h}} - \sqrt{h} \right\|_{\infty, n} + \lambda^2 \|\phi\|_1 \left\| \sqrt{h} - \frac{1}{\sqrt{h}} \right\|_{\infty, n} \\
&\quad + \|\phi\|_1 \|\varphi_n'' - 2\lambda\varphi_n'\|_{L^2(\mathbb{R})} \left\| \frac{1}{\sqrt{h}} \right\|_{\infty, n}.
\end{aligned}$$

Logo,

$$\begin{aligned}
\|(H - \eta\mathbf{1})\hat{\psi}_n\|_{-1} &\leq \sqrt{E_1} \left\| \frac{\partial_t h}{\sqrt{h}} \right\|_{\infty, n} + (\|\varphi_n' + i\lambda\varphi_n\|_{L^2(\mathbb{R})} + \lambda^2) \left\| \frac{1}{\sqrt{h}} - \sqrt{h} \right\|_{\infty, n} \\
&\quad + \|\varphi_n'' - 2\lambda\varphi_n'\|_{L^2(\mathbb{R})} \left\| \frac{1}{\sqrt{h}} \right\|_{\infty, n}.
\end{aligned}$$

Portanto, de (5.9) e (5.14) segue que

$$(H - \eta\mathbf{1})\psi_n \rightarrow 0, \quad \text{quando } n \rightarrow \infty,$$

em  $(\text{dom}(\mathcal{Q}))^*$ . Logo, pelo Teorema 1.40, segue o resultado.  $\square$

O Teorema 5.1 segue dos Lemas 5.2 e 5.3.

### 5.3 Existência de espectro discreto

O objetivo desta seção é garantir a existência de espectro discreto para  $-\Delta_{DN}^{\hat{\Omega}}$ . Nosso principal argumento será o Princípio Max-Min. Em particular, ele nos diz que

$$\inf \sigma(H) = \inf_{\Phi \in \text{dom } \mathcal{Q}} \frac{\mathcal{Q}[\Phi]}{\|\Phi\|_{\mathcal{H}}^2}. \quad (5.16)$$

Começamos com o seguinte resultado.

**Teorema 5.4.** *Suponha que existe um número real positivo  $s_0$  tal que  $\kappa(s) \leq 0$  para todo  $s$  satisfazendo  $|s| \geq s_0$  e  $\int_{-s_0}^{s_0} \kappa(s) ds < 0$ . Então,  $\inf \sigma(H) < E_1$ .*

*Prova:* Para  $\Phi \in \text{dom}(\mathcal{Q})$ , definimos

$$\hat{\mathcal{Q}}[\Phi] = \mathcal{Q}[\Phi] - E_1 \|\Phi\|_{\mathcal{H}}^2. \quad (5.17)$$

De acordo com (5.16), é suficiente encontrar uma função teste  $\Phi \in \text{dom } \mathcal{Q}$  tal que  $\hat{\mathcal{Q}}[\Phi] < 0$ . Construiremos tal função nos parágrafos abaixo.

Seja  $\varphi$  uma função qualquer no espaço de Schwartz,  $\mathcal{S}(\mathbb{R})$ , tal que  $\varphi(s) = 1$  para  $|s| \leq s_0$ . Definimos

a família de funções  $\{\varphi_\lambda : \lambda > 0\}$ :

$$\varphi_\lambda(s) = \begin{cases} \varphi(s) & \text{para } |s| \leq s_0 \\ \varphi(\pm s_0 + \lambda(s \mp s_0)) & \text{para } |s| \geq s_0 \end{cases},$$

com o sinal superior para  $s \geq s_0$  e o inferior para  $s \leq -s_0$ .

Agora, tomamos a função teste  $\Phi_\lambda(s, t) = \varphi_\lambda(s)\chi_1(t)$ , com  $\chi_1$  definida em (5.7). De modo análogo à Seção 3.1, tem-se

$$\begin{aligned} \hat{\mathcal{Q}}[\Phi_\lambda] &= \mathcal{Q}[\Phi_\lambda] - E_1 \|\Phi_\lambda\|_{\mathcal{H}}^2 \\ &= \int_{\Omega_0} \frac{|\varphi'_\lambda(s)\chi_1(t)|^2}{h(s, t)} ds dt + \int_{\Omega_0} |\varphi_\lambda(s)\chi'_1(t)|^2 h(s, t) ds dt - E_1 \int_{\Omega_0} |\varphi_\lambda(s)\chi_1(t)|^2 h(s, t) ds dt \\ &= \int_{\mathbb{R}} \left( \int_0^d \frac{|\chi_1(t)|^2}{h(s, t)} dt \right) |\varphi'_\lambda(s)|^2 ds + E_1 \int_{\mathbb{R}} \left( \int_0^d |\chi_1(t)|^2 dt \right) |\varphi_\lambda(s)|^2 ds \\ &\quad - \int_{\mathbb{R}} \left( \int_0^1 |\chi'_1(t)|^2 t dt \right) \kappa(s) |\varphi_\lambda(s)|^2 ds - E_1 \int_{\mathbb{R}} \left( \int_0^d |\chi_1(t)|^2 dt \right) |\varphi_\lambda(s)|^2 ds \\ &\quad + E_1 \int_{\mathbb{R}} \left( \int_0^d |\chi_1(t)|^2 t dt \right) \kappa(s) |\varphi_\lambda(s)|^2 ds \\ &= \int_{\mathbb{R}} \left( \int_0^d \frac{|\chi_1(t)|^2}{h(s, t)} dt \right) |\varphi'_\lambda(s)|^2 ds + \int_{\mathbb{R}} \left( \int_0^d [E_1 |\chi_1(t)|^2 t - |\chi'_1(t)|^2 t] dt \right) \kappa(s) |\varphi_\lambda(s)|^2 ds \\ &= \int_{\mathbb{R}} \left( \int_0^d \frac{|\chi_1(t)|^2}{h(s, t)} dt \right) |\varphi'_\lambda(s)|^2 ds + \frac{1}{d} \int_{\mathbb{R}} \kappa(s) |\varphi_\lambda(s)|^2 ds \\ &\leq \frac{1}{1 - d \sup_{s \in \mathbb{R}} \kappa(s)} \int_{\mathbb{R}} |\varphi'_\lambda(s)|^2 ds + \frac{1}{d} \int_{\mathbb{R}} \kappa(s) |\varphi_\lambda(s)|^2 ds \\ &\leq \frac{\lambda}{1 - d \sup_{s \in \mathbb{R}} \kappa(s)} \|\varphi'\|_{L^2(\mathbb{R})}^2 + \frac{1}{d} \int_{-s_0}^{s_0} \kappa(s) ds, \end{aligned}$$

em que a última desigualdade segue do fato que  $\kappa(s) \leq 0$ , para todo  $|s| \geq s_0$ .

Por hipótese, o segundo termo na última desigualdade é negativo e não depende de  $\lambda$ . Assim, escolhendo  $\lambda$  suficientemente pequeno, segue que a soma dos termos na última desigualdade é negativa, o qual finaliza a prova.  $\square$

Em adição as hipóteses do Teorema 5.4, suponha

$$\lim_{|s| \rightarrow \infty} \kappa(s) = 0.$$

Então,  $\sigma_{ess}(H) = [E_1, \infty)$  (veja Teorema 5.1) e  $\inf \sigma(H) < E_1$ , ou seja,  $\sigma_d(H) \neq \emptyset$ .

**Teorema 5.5.** *Suponha que existe um número real positivo  $s_0$  tal que  $\kappa(s) = 0$  para  $|s| \geq s_0$ . Suponha também  $\int_{-s_0}^{s_0} \kappa(s) ds = 0$  e  $\|\kappa\|_{L^2(\mathbb{R})} > 0$ . Então,  $\inf \sigma(H) < E_1$ , isto é, existe pelo menos um autovalor discreto positivo de  $H$ .*

*Prova:* Usaremos aqui a mesma técnica da prova do Teorema 5.4. Seja  $\varphi$  uma função qualquer no espaço de Schwartz,  $\mathcal{S}(\mathbb{R})$ , tal que  $\varphi(s) = 1$  para  $|s| \leq s_0$ . Definimos para  $\varepsilon, \delta > 0$  a família de funções

$$\varphi_{\lambda, \varepsilon}(s) = \begin{cases} \varphi(s)(1 - \varepsilon\kappa(s)) & \text{para } |s| \leq s_0 \\ \varphi(\pm s_0 + \lambda(s \mp s_0)) & \text{para } |s| \geq s_0 \end{cases},$$

com o sinal superior para  $s \geq s_0$  e o inferior para  $s \leq -s_0$ .

Assim, tomando a função teste  $\Phi_{\lambda,\varepsilon}(s,t) = \varphi_{\lambda,\varepsilon}(s)\chi_1(t)$ , tem-se

$$\begin{aligned}\hat{Q}[\Phi_{\lambda,\varepsilon}] &= Q[\Phi_{\lambda,\varepsilon}] - E_1\|\Phi_{\lambda,\varepsilon}\|_{\mathcal{H}}^2 \\ &\leq \frac{1}{1 - d \sup_{s \in \mathbb{R}} \kappa(s)} \int_{\mathbb{R}} |\varphi'_{\lambda,\varepsilon}(s)|^2 ds + \frac{1}{d} \int_{\mathbb{R}} \kappa(s) |\varphi_{\lambda,\varepsilon}(s)|^2 ds \\ &\leq \frac{\lambda}{1 - d \sup_{s \in \mathbb{R}} \kappa(s)} \|\varphi'\|_{L^2(\mathbb{R})}^2 + \varepsilon^2 \frac{\|\kappa'\|_{L^2(\mathbb{R})}^2}{1 - d \sup_{s \in \mathbb{R}} \kappa(s)} + \varepsilon^2 \frac{\|\kappa\|_{L^3(\mathbb{R})}^3}{d} - \varepsilon \frac{2\|\kappa\|_{L^2(\mathbb{R})}^2}{d}.\end{aligned}$$

Note que o termo linear em  $\varepsilon$  é negativo e escolhendo  $\varepsilon > 0$  suficientemente pequeno, podemos tornar negativa a operação dos três últimos termos. Finalmente, fixamos este  $\varepsilon > 0$  e escolhemos  $\lambda$  suficientemente pequeno de tal modo que o lado direito da desigualdade seja negativa.  $\square$

Para finalizar nosso capítulo, relembremos a estimativa dada por (1) na Introdução: *Para todo  $j \geq 1$ ,*

$$\lambda_j(-\Delta_{DN}^{\Omega_\varepsilon}) = \left(\frac{\pi}{2\varepsilon}\right)^2 + \frac{\inf \kappa}{\varepsilon} + o(\varepsilon^{-1}), \quad \text{quando } \varepsilon \rightarrow 0.$$

Suponha que  $I = \mathbb{R}$  e que a curvatura  $\kappa$  se anula no infinito. Observemos que do Teorema 5.1, o termo  $\pi^2/(2\varepsilon)^2$  na igualdade acima coincide com o ínfimo do espectro essencial do operador  $-\Delta_{DN}^{\Omega_\varepsilon}$ . Além disso, se  $\kappa$  assume um valor negativo e  $\varepsilon > 0$  é suficientemente pequeno, do Teorema 5.5, segue que  $\sigma_d(-\Delta_{DN}^{\Omega_\varepsilon}) \neq \emptyset$ .

# Apêndice

## A Mudança de variáveis em formas quadráticas

Neste apêndice vamos apresentar as mudanças de variáveis correspondente às formas quadráticas.

Relembre o difeomorfismo  $\mathcal{L}_\varepsilon$  definido na Seção 2.1. Pelo Teorema de Mudança de Variáveis, tem-se

$$\begin{aligned} \int_{\Omega_\varepsilon} |\nabla \Psi(x)|^2 dx &= \int_{\Omega} |((\nabla \Psi) \circ \mathcal{L}_\varepsilon)(s, t)|^2 \cdot |\det J\mathcal{L}_\varepsilon(s, t)| ds dt \\ &= \int_{\Omega} |((\nabla \Psi) \circ \mathcal{L}_\varepsilon)(s, t)|^2 \cdot \varepsilon h_\varepsilon(s, t) ds dt. \end{aligned}$$

Escrevendo  $\Psi(\mathcal{L}_\varepsilon(s, t)) = \Psi(\mathcal{L}_\varepsilon^1(s, t), \mathcal{L}_\varepsilon^2(s, t))$ ,  $(s, t) \in \Omega$  e  $z = \Psi(\mathcal{L}_\varepsilon^1, \mathcal{L}_\varepsilon^2)$ , em que  $\mathcal{L}_\varepsilon^1 = \mathcal{L}_\varepsilon^1(s, t)$  e  $\mathcal{L}_\varepsilon^2 = \mathcal{L}_\varepsilon^2(s, t)$ , tem-se

$$\begin{aligned} \nabla z &= \begin{pmatrix} \frac{\partial z}{\partial s} & \frac{\partial z}{\partial t} \end{pmatrix} \\ &= \begin{pmatrix} \frac{\partial z}{\partial \mathcal{L}_\varepsilon^1} \frac{\partial \mathcal{L}_\varepsilon^1}{\partial s} + \frac{\partial z}{\partial \mathcal{L}_\varepsilon^2} \frac{\partial \mathcal{L}_\varepsilon^2}{\partial s} & \frac{\partial z}{\partial \mathcal{L}_\varepsilon^1} \frac{\partial \mathcal{L}_\varepsilon^1}{\partial t} + \frac{\partial z}{\partial \mathcal{L}_\varepsilon^2} \frac{\partial \mathcal{L}_\varepsilon^2}{\partial t} \end{pmatrix} \\ &= \begin{pmatrix} \frac{\partial z}{\partial \mathcal{L}_\varepsilon^1} & \frac{\partial z}{\partial \mathcal{L}_\varepsilon^2} \end{pmatrix} \cdot \begin{pmatrix} \frac{\partial \mathcal{L}_\varepsilon^1}{\partial s} & \frac{\partial \mathcal{L}_\varepsilon^1}{\partial t} \\ \frac{\partial \mathcal{L}_\varepsilon^2}{\partial s} & \frac{\partial \mathcal{L}_\varepsilon^2}{\partial t} \end{pmatrix}. \end{aligned}$$

Portanto,

$$\nabla(\Psi \circ \mathcal{L}_\varepsilon) = ((\nabla \Psi) \circ \mathcal{L}_\varepsilon) \cdot J\mathcal{L}_\varepsilon$$

e, conseqüentemente,

$$(\nabla \Psi) \circ \mathcal{L}_\varepsilon = \nabla(\Psi \circ \mathcal{L}_\varepsilon) \cdot J^{-1}\mathcal{L}_\varepsilon. \quad (18)$$

Tomando  $\frac{1}{\sqrt{\varepsilon}}\psi = \Psi \circ \mathcal{L}_\varepsilon$ , segue que

$$\begin{aligned} \left| \nabla \left( \frac{1}{\sqrt{\varepsilon}} \psi \right) \cdot J^{-1}\mathcal{L}_\varepsilon \right|^2 &= \left| \frac{1}{\sqrt{\varepsilon}} \begin{pmatrix} \frac{\partial \psi}{\partial s} & \frac{\partial \psi}{\partial t} \end{pmatrix} \cdot \frac{1}{\varepsilon h_\varepsilon} \begin{pmatrix} \varepsilon \dot{\gamma}^1 & \varepsilon \dot{\gamma}^2 \\ -(\dot{\gamma}^2 + \varepsilon t \ddot{\gamma}^1) & \dot{\gamma}^1 - \varepsilon t \ddot{\gamma}^2 \end{pmatrix} \right|^2 \\ &= \left| \frac{1}{\varepsilon^{\frac{3}{2}} h_\varepsilon} \begin{pmatrix} \varepsilon \dot{\gamma}^1 \frac{\partial \psi}{\partial s} - (\dot{\gamma}^2 + \varepsilon t \ddot{\gamma}^1) \frac{\partial \psi}{\partial t} \\ \varepsilon \dot{\gamma}^2 \frac{\partial \psi}{\partial s} + (\dot{\gamma}^1 - \varepsilon t \ddot{\gamma}^2) \frac{\partial \psi}{\partial t} \end{pmatrix}^T \right|^2 \\ &= \frac{1}{\varepsilon^3 h_\varepsilon^2} \left[ \left( \varepsilon \dot{\gamma}^1 \frac{\partial \psi}{\partial s} - (\dot{\gamma}^2 + \varepsilon t \ddot{\gamma}^1) \frac{\partial \psi}{\partial t} \right)^2 + \left( \varepsilon \dot{\gamma}^2 \frac{\partial \psi}{\partial s} + (\dot{\gamma}^1 - \varepsilon t \ddot{\gamma}^2) \frac{\partial \psi}{\partial t} \right)^2 \right] \\ &= \frac{1}{\varepsilon^3 h_\varepsilon^2} \left[ \varepsilon^2 ((\dot{\gamma}^1)^2 + (\dot{\gamma}^2)^2) \left( \frac{\partial \psi}{\partial s} \right)^2 - 2\varepsilon^2 t (\dot{\gamma}^1 \ddot{\gamma}^1 + \dot{\gamma}^2 \ddot{\gamma}^2) \frac{\partial \psi}{\partial s} \frac{\partial \psi}{\partial t} \right. \\ &\quad \left. + ((\dot{\gamma}^2 + \varepsilon t \ddot{\gamma}^1)^2 + (\dot{\gamma}^1 - \varepsilon t \ddot{\gamma}^2)^2) \left( \frac{\partial \psi}{\partial t} \right)^2 \right]. \end{aligned}$$

Desde que  $\gamma$  é uma curva unitária,  $\dot{\gamma}^1 \dot{\gamma}^1 + \dot{\gamma}^2 \dot{\gamma}^2 = \langle \dot{\gamma}, \dot{\gamma} \rangle = 0$  e, para cada  $s \in I$ , se verifica que

$\|\tilde{\gamma}\| = |\kappa(s)|$ . Logo,

$$\begin{aligned}
\left| \nabla \left( \frac{1}{\sqrt{\varepsilon}} \psi(s, t) \right) \cdot J^{-1} \mathcal{L}_\varepsilon(s, t) \right|^2 &= \frac{1}{\varepsilon^3 h_\varepsilon^2(s, t)} \left[ \varepsilon^2 \left( \frac{\partial \psi}{\partial s}(s, t) \right)^2 + (1 - \varepsilon t \kappa(s))^2 \left( \frac{\partial \psi}{\partial t}(s, t) \right)^2 \right] \\
&= \frac{1}{\varepsilon^3 h_\varepsilon^2(s, t)} \left[ \varepsilon^2 \left( \frac{\partial \psi}{\partial s}(s, t) \right)^2 + h_\varepsilon^2(s, t) \left( \frac{\partial \psi}{\partial t}(s, t) \right)^2 \right] \\
&= \frac{1}{\varepsilon h_\varepsilon^2(s, t)} \left( \frac{\partial \psi}{\partial s}(s, t) \right)^2 + \frac{1}{\varepsilon^3} \left( \frac{\partial \psi}{\partial t}(s, t) \right)^2.
\end{aligned} \tag{19}$$

Portanto, de (18), (19) e do fato de que  $\psi(s, t) = (\sqrt{\varepsilon} \Psi \circ \mathcal{L}_\varepsilon)(s, t)$ , segue que

$$\begin{aligned}
\int_{\Omega_\varepsilon} |\nabla \Psi(x)|^2 dx &= \int_{\Omega} |((\nabla \Psi) \circ \mathcal{L}_\varepsilon)(s, t)|^2 \cdot |\det J \mathcal{L}_\varepsilon(s, t)| ds dt \\
&= \int_{\Omega} \left[ \frac{1}{h_\varepsilon(s, t)} \left( \frac{\partial(\sqrt{\varepsilon} \Psi \circ \mathcal{L}_\varepsilon)}{\partial s}(s, t) \right)^2 + \frac{1}{\varepsilon^2} \left( \frac{\partial(\sqrt{\varepsilon} \Psi \circ \mathcal{L}_\varepsilon)}{\partial t}(s, t) \right)^2 h_\varepsilon(s, t) \right] ds dt \\
&= \int_{\Omega} \frac{|\partial_s \psi(s, t)|^2}{h_\varepsilon(s, t)} ds dt + \int_{\Omega} \frac{|\partial_t \psi(s, t)|^2}{\varepsilon^2} h_\varepsilon(s, t) ds dt.
\end{aligned}$$

## B Forma quadrática associada a um operador

Neste apêndice vamos apresentar os detalhes da forma quadrática  $\hat{Q}_\varepsilon$  associada ao operador  $\hat{H}_\varepsilon$  definida na Seção 4.2.

Desde que  $\hat{U}_\varepsilon^{-1} \psi = h_\varepsilon^{-1/2} \psi$ , tem-se que, para cada  $\psi \in \mathcal{Q}$ ,

$$\begin{aligned}
\hat{Q}_\varepsilon[\psi] &= \mathcal{Q}_\varepsilon[\hat{U}_\varepsilon^{-1} \psi] \\
&= \int_{\Omega} \frac{|\partial_s(h_\varepsilon^{-1/2}(s, t)\psi(s, t))|^2}{h_\varepsilon(s, t)} ds dt + \int_{\Omega} \frac{|\partial_t(h_\varepsilon^{-1/2}(s, t)\psi(s, t))|^2}{\varepsilon^2} h_\varepsilon(s, t) ds dt.
\end{aligned}$$

Observemos que

$$\begin{aligned}
|\partial_s(h_\varepsilon^{-1/2}(s, t)\psi(s, t))|^2 &= \left| \frac{1}{2} \frac{\varepsilon t \kappa'(s)}{h_\varepsilon^{3/2}(s, t)} \psi(s, t) + \frac{1}{h_\varepsilon^{1/2}(s, t)} \partial_s \psi(s, t) \right|^2 \\
&= \frac{1}{4} \frac{\varepsilon^2 t^2 (\kappa'(s))^2}{h_\varepsilon^3(s, t)} |\psi(s, t)|^2 + \frac{1}{h_\varepsilon(s, t)} |\partial_s \psi(s, t)|^2 \\
&\quad + \frac{1}{2} \frac{\varepsilon t \kappa'(s)}{h_\varepsilon^2(s, t)} \psi(s, t) \overline{\partial_s \psi(s, t)} + \frac{1}{2} \frac{\varepsilon t \kappa'(s)}{h_\varepsilon^2(s, t)} \overline{\psi(s, t)} \partial_s \psi(s, t) \\
&= \frac{|\partial_s \psi(s, t)|^2}{h_\varepsilon(s, t)} + \frac{1}{4} \frac{\varepsilon^2 t^2 (\kappa'(s))^2}{h_\varepsilon^3(s, t)} |\psi(s, t)|^2 + \frac{\varepsilon t \kappa'(s)}{h_\varepsilon^2(s, t)} \Re(\overline{\psi(s, t)} \partial_s \psi(s, t))
\end{aligned}$$

e

$$\begin{aligned}
|\partial_t(h_\varepsilon^{-1/2}(s, t)\psi(s, t))|^2 &= \left| \frac{1}{2} \frac{\varepsilon \kappa(s)}{h_\varepsilon^{3/2}(s, t)} \psi(s, t) + \frac{1}{h_\varepsilon^{1/2}(s, t)} \partial_t \psi(s, t) \right|^2 \\
&= \frac{1}{4} \frac{\varepsilon^2 (\kappa(s))^2}{h_\varepsilon^3(s, t)} |\psi(s, t)|^2 + \frac{1}{h_\varepsilon(s, t)} |\partial_t \psi(s, t)|^2 \\
&\quad + \frac{1}{2} \frac{\varepsilon \kappa(s)}{h_\varepsilon^2(s, t)} \psi(s, t) \overline{\partial_t \psi(s, t)} + \frac{1}{2} \frac{\varepsilon \kappa(s)}{h_\varepsilon^2(s, t)} \overline{\psi(s, t)} \partial_t \psi(s, t) \\
&= \frac{|\partial_t \psi(s, t)|^2}{h_\varepsilon(s, t)} + \frac{1}{4} \frac{\varepsilon^2 (\kappa(s))^2}{h_\varepsilon^3(s, t)} |\psi(s, t)|^2 + \frac{\varepsilon \kappa(s)}{h_\varepsilon^2(s, t)} \Re(\overline{\psi(s, t)} \partial_t \psi(s, t)).
\end{aligned}$$

Logo,

$$\begin{aligned}\hat{Q}_\varepsilon[\psi] &= \int_\Omega \left[ \frac{|\partial_s \psi(s, t)|^2}{h_\varepsilon^2(s, t)} + \frac{1}{4} \frac{\varepsilon^2 t^2 (\kappa'(s))^2}{h_\varepsilon^4(s, t)} |\psi(s, t)|^2 + \frac{\varepsilon t \kappa'(s)}{h_\varepsilon^3(s, t)} \Re(\overline{\psi(s, t)} \partial_s \psi(s, t)) \right] ds dt \\ &+ \int_\Omega \left[ \frac{|\partial_t \psi(s, t)|^2}{\varepsilon^2} + \frac{1}{4} \frac{(\kappa(s))^2}{h_\varepsilon^2(s, t)} |\psi(s, t)|^2 + \frac{\kappa(s)}{\varepsilon h_\varepsilon(s, t)} \Re(\overline{\psi(s, t)} \partial_t \psi(s, t)) \right] ds dt.\end{aligned}$$

Por sua vez, note que

$$\int_\Omega \frac{\kappa(s)}{\varepsilon h_\varepsilon(s, t)} \Re(\overline{\psi(s, t)} \partial_t \psi(s, t)) ds dt = \int_I \frac{\kappa(s)}{\varepsilon} \left( \int_0^1 \frac{1}{h_\varepsilon(s, t)} \Re(\overline{\psi(s, t)} \partial_t \psi(s, t)) dt \right) ds,$$

em que

$$\int_0^1 \frac{1}{h_\varepsilon(s, t)} \Re(\overline{\psi(s, t)} \partial_t \psi(s, t)) dt \stackrel{\text{I.P.P}}{=} \frac{1}{2} \frac{1}{1 - \varepsilon \kappa(s)} \int_{\{1\}} |\psi(s, t)|^2 dt - \frac{1}{2} \int_0^1 \frac{\varepsilon \kappa(s)}{h_\varepsilon^2(s, t)} |\psi(s, t)|^2 dt.$$

Portanto,

$$\begin{aligned}\hat{Q}_\varepsilon[\psi] &= \int_\Omega \left[ \frac{|\partial_s \psi(s, t)|^2}{h_\varepsilon^2(s, t)} + \frac{1}{4} \frac{\varepsilon^2 t^2 (\kappa'(s))^2}{h_\varepsilon^4(s, t)} |\psi(s, t)|^2 + \frac{\varepsilon t \kappa'(s)}{h_\varepsilon^3(s, t)} \Re(\overline{\psi(s, t)} \partial_s \psi(s, t)) \right] ds dt \\ &+ \int_\Omega \left[ \frac{|\partial_t \psi(s, t)|^2}{\varepsilon^2} - \frac{1}{4} \frac{(\kappa(s))^2}{h_\varepsilon^2(s, t)} |\psi(s, t)|^2 \right] ds dt + \int_{I \times \{1\}} \frac{1}{2} \frac{\kappa(s)}{\varepsilon(1 - \varepsilon \kappa(s))} |\psi(s, t)|^2 ds dt \\ &= \int_\Omega \left[ \frac{|\partial_s \psi(s, t)|^2}{h_\varepsilon^2(s, t)} + \frac{|\partial_t \psi(s, t)|^2}{\varepsilon^2} + \left( \frac{1}{4} \frac{\varepsilon^2 t^2 (\kappa'(s))^2}{h_\varepsilon^4(s, t)} - \frac{1}{4} \frac{(\kappa(s))^2}{h_\varepsilon(s, t)^2} \right) |\psi(s, t)|^2 \right. \\ &\left. + \frac{\varepsilon t \kappa'(s)}{h_\varepsilon^3(s, t)} \Re(\overline{\psi(s, t)} \partial_s \psi(s, t)) \right] ds dt + \int_{I \times \{1\}} \frac{1}{2} \frac{\kappa(s)}{\varepsilon(1 - \varepsilon \kappa(s))} |\psi(s, t)|^2 ds dt.\end{aligned}$$

## C Comportamento assintótico de autovalores

Sejam  $I \subset \mathbb{R}$  um intervalo aberto (limitado ou ilimitado),  $W : I \rightarrow \mathbb{R}$  uma função limitada e  $\mu \in \mathbb{R} \setminus \{0\}$ . Definimos  $W_{min} := \inf_{x \in I} \{W(x)\}$ . Considere a forma quadrática

$$n_\mu(\phi) = \int_I |\phi'|^2 dx + \mu \int_I W(x) |\phi|^2 dx, \quad \text{dom } n_\mu = H_0^1(I).$$

Denote por  $n_\mu(\psi, \varphi)$  e  $N_\mu$  sua forma sesquilinear e seu operador autoadjunto associado, respectivamente. Considere a sequência  $\{\lambda_j(N_\mu)\}_{j \in \mathbb{N}}$  dada pelo Princípio Max-Min. O resultado abaixo é uma versão mais simples do Teorema 4 de [10].

**Teorema .6.** *Para cada  $j \in \mathbb{N}$ ,*

$$\lim_{\mu \rightarrow +\infty} \frac{\lambda_j(N_\mu)}{\mu} = W_{min}.$$

*Prova:* Desde que  $N_\mu \geq \mu W_{min} \mathbf{1}$ , pelo Princípio Max-Min,

$$\lim_{\mu \rightarrow +\infty} \frac{\lambda_j(N_\mu)}{\mu} \geq W_{min}.$$

Agora, precisamos mostrar a desigualdade oposta. Considere o operador multiplicação

$$\mathcal{M}_W \phi = W \phi, \quad \text{dom } \mathcal{M}_W = \{\phi \in L^2(I) : W \phi \in L^2(I)\}.$$

O espectro de  $\mathcal{M}_W$  é puramente essencial e igual a imagem essencial de  $W$ . Em particular,  $W_{min} \in \sigma(\mathcal{M}_W)$ . Pelo Teorema 1.25, existe uma sequência  $\{\psi_i\}_{i \in \mathbb{N}}$  ortonormalizada em  $L^2(I)$  tal que  $\|(\mathcal{M}_W - W_{min} \mathbf{1})\psi_i\| \rightarrow 0$ , quando  $i \rightarrow \infty$ . Desde que  $C_0^\infty(I)$  é denso em  $\text{dom } \mathcal{M}_W$ , segue que existe uma sequência

$\{\varphi_i\}_{i \in \mathbb{N}}$  satisfazendo

$$\langle \varphi_i, \varphi_j \rangle - \delta_{ij} \rightarrow 0, \quad \langle \varphi_i, (\mathcal{M}_W - W_{min})\varphi_j \rangle \rightarrow 0,$$

quando  $i, j \rightarrow \infty$ . Agora, dado  $N \in \mathbb{N}$ , tome  $k = k(N)$  suficientemente grande tal que

$$A(N) - W_{min}\mathbf{1} \leq N^{-1}\mathbf{1},$$

em que  $A(N)$  é uma matriz simétrica com entradas  $\langle \varphi_{i+k}, W\varphi_{j+k} \rangle$ , para  $i, j \in \{1, \dots, N\}$ . Desde que o subespaço gerado por  $\{\varphi_{1+k}, \dots, \varphi_{N+k}\}$  é um subespaço  $N$ -dimensional de  $\text{dom } N_\mu$ , tem-se  $\lambda_j(N_\mu) \leq c_j(N_\mu)$ , para todo  $j \in \{1, \dots, N\}$ , em que  $\{c_j(N_\mu)\}_{j=1}^N$  é a sequência crescente de autovalores, repetidos de acordo com a multiplicidade, da matriz  $C(N_\mu) := C_{ij}(N_\mu)$  definida por  $C_{ij}(N_\mu) = n_\mu(\varphi_{i+k}, \varphi_{i+j})$ . Podemos observar que

$$C(N_\mu) \leq \mu(W_{min} + N^{-1})\mathbf{1} + d(N)\mathbf{1},$$

em que  $d(N)$  denota o maior autovalor da matriz com entradas  $(\langle \nabla \varphi_{i+k}, \nabla \varphi_{j+k} \rangle)$ . Sendo assim,

$$\lim_{\mu \rightarrow +\infty} \frac{\lambda_j(N_\mu)}{\mu} \leq W_{min} + N^{-1},$$

para  $j \in \{1, 2, \dots, N\}$ , em que  $N$  pode ser tomado arbitrariamente grande. □



# Referências Bibliográficas

- [1] Borisov, D.; Exner, P.; Gadyl'shin, R. *Geometric coupling thresholds in a two-dimensional strip*. J. Math. Phys. **43**, 6265-6278 (2002).
- [2] Chenaud, B.; Duclos, P.; Freitas, P.; Krejčířík, D. *Geometrically Induced Discrete Spectrum in Curved Tubes*. Differential Geom. Appl. **23**, 95-105 (2005).
- [3] Davies, E.B. *Spectral theory and differential operators*. Cambridge University Press, Cambridge, 1995.
- [4] de Oliveira, C. R. *Intermediate Spectral Theory and Quantum Dynamics*. Birkhäuser Basel, 2008.
- [5] Dittrich, J.; Kríž, J. *Curved planar quantum wires with Dirichlet and Neumann boundary conditions*. J. Phys. A: Math. Gen. **35**, L269-L275 (2002).
- [6] Duclos, P.; Exner, P. *Curvature-Induced Bound States in Quantum Waveguides in Two and Three Dimensions*. Rev. Math. Phys. **7**, 73-102 (1995).
- [7] Duclos, P.; Exner, P.; Krejčířík, D. *Bound states in curved quantum layers*. Commun. Math. Phys. **223**, 13–28 (2001).
- [8] Edmunds, D. E.; Evans, W. D. *Spectral Theory and Differential Operators*. Oxford University Press, Oxford, 1987.
- [9] Exner, P.; Šeba, P. *Bound states in curved quantum waveguides*. J. Math. Phys. **30**, 2574–2580 (1989).
- [10] Freitas, P.; Krejčířík, D. *Instability results for the damped wave equation in unbounded domains*. J. Diff. Eqns. **211**, 168-186 (2005).
- [11] Freitas, P.; Krejčířík, D. *Waveguides with Combined Dirichlet and Robin Boundary Conditions*. Mathematical Physics Analysis and Geometry. **9**, 335-352 (2006).
- [12] Friedlander, L.; and Solomyak, M. *On the spectrum of the Dirichlet Laplacian in a narrow infinite strip*. Amer. Math. Soc. Transl. **225**, 103-116 (2008).
- [13] Gohberg, I.C.; Krein, M.G. *Introduction to the theory of linear nonselfadjoint operators*. AMS, Providence, Rhode Island, 1969.
- [14] Goldstone, J.; Jaffe, R. L. *Bound states in twisting tubes*. Phys. Rev. B **45**, 14100–14107 (1992).
- [15] Karp, L.; Pinsky, M. *First-order asymptotics of the principal eigenvalue of tubular neighborhoods*. Geometry of random motion (Ithaca, N.Y., 1987), Contemp. Math. **73**, Amer. Math. Soc., Providence, RI, 105–119 (1988).
- [16] Kato, T. *On the Convergence of the perturbation method*. J. Fac. Sci. Univ. Tokyo Sect. I, **6**, 145–226 (1951).
- [17] Krejčířík, D. *Spectrum of the Laplacian in a narrow curved strip with combined Dirichlet and Neumann boundary conditions*. ESAIM: Control, Optimisation and Calculus of Variations **15**, 555-568 (2009).
- [18] Krejčířík, D.; Kríž, J. *On the spectrum of curved planar waveguides*. Publ. Res. Inst. Math. Sci. **41**, 757–791 (2005).
- [19] Kuchment, P.; Zeng, H. *Convergence of spectra of mesoscopic systems collapsing onto a graph*. J. Math. Anal. Appl. **258**, 671–700 (2001).

- [20] Kuchment, P.; Zeng, H. *Asymptotics of spectra of Neumann Laplacians in thin domains*. Advances in differential equations and mathematical physics, Birmingham, AL, 2002. Contemporary Mathematics, vol. 327, pp. 199–213. American Mathematical Society, Providence, RI (2003).
- [21] Olendski, O.; Mikhailovska, L. *Localized-mode evolution in a curved planar waveguide with combined Dirichlet and Neumann boundary conditions*. Physical review. E, Statistical, nonlinear, and soft matter physics. **67**, art. 056625 (2003).
- [22] Reed, M.; Simon, B. *Methods of Modern Mathematical Physics, I: Functional Analysis*. Academic Press, New York, 1972.
- [23] Reed, M.; Simon, B. *Methods of Modern Mathematical Physics, IV: Analysis of operators*. Academic Press, New York, 1978.
- [24] Renger, W.; Bulla, W. *Existence of bound states in quantum waveguides under weak conditions*. Lett. Math. Phys. **35**, 1–12 (1995).
- [25] Sobolev, A. V.; Walthoe, J. *Absolute continuity in periodic waveguides*. Proc. London Math. Soc. **85**, 717-741 (2002).